

АКТУАЛЬНЫЕ ИССЛЕДОВАНИЯ



МЕЖДУНАРОДНЫЙ НАУЧНЫЙ ЖУРНАЛ

ISSN 2713-1513

#52 (234), 2024

ЧАСТЬ I

Актуальные исследования

Международный научный журнал

2024 • № 52 (234)

Часть I

Издаётся с ноября 2019 года

Выходит еженедельно

ISSN 2713-1513

Главный редактор: Ткачев Александр Анатольевич, канд. социол. наук

Ответственный редактор: Ткачева Екатерина Петровна

Статьи, поступающие в редакцию, рецензируются.

За достоверность сведений, изложенных в статьях, ответственность несут авторы.

Мнение редакции может не совпадать с мнением авторов статей.

При использовании и заимствовании материалов ссылка на издание обязательна.

Материалы публикуются в авторской редакции.

РЕДАКЦИОННАЯ КОЛЛЕГИЯ

Абидова Гулмира Шухратовна, доктор технических наук, доцент (Ташкентский государственный транспортный университет)

Альборад Ахмед Абуди Хусейн, преподаватель, PhD, Член Иракской Ассоциации спортивных наук (Университет Куфы, Ирак)

Аль-бутбахак Башшар Абуд ФадхиЛЬ, преподаватель, PhD, Член Иракской Ассоциации спортивных наук (Университет Куфы, Ирак)

Альхаким Ахмед Кадим Абдуалкарем Мухаммед, PhD, доцент, Член Иракской Ассоциации спортивных наук (Университет Куфы, Ирак)

Асаналиев Мелис Казыкеевич, доктор педагогических наук, профессор, академик МАНПО РФ (Кыргызский государственный технический университет)

Атаев Загир Вагитович, кандидат географических наук, проректор по научной работе, профессор, директор НИИ биогеографии и ландшафтной экологии (Дагестанский государственный педагогический университет)

Бафоев Феруз Муртазоевич, кандидат политических наук, доцент (Бухарский инженерно-технологический институт)

Гаврилин Александр Васильевич, доктор педагогических наук, профессор, Почетный работник образования (Владимирский институт развития образования имени Л.И. Новиковой)

Галузо Василий Николаевич, кандидат юридических наук, старший научный сотрудник (Научно-исследовательский институт образования и науки)

Григорьев Михаил Федосеевич, кандидат сельскохозяйственных наук, доцент (Арктический государственный агротехнологический университет)

Губайдуллина Гаян Нурахметовна, кандидат педагогических наук, доцент, член-корреспондент Международной Академии педагогического образования (Восточно-Казахстанский государственный университет им. С. Аманжолова)

Ежкова Нина Сергеевна, доктор педагогических наук, профессор кафедры психологии и педагогики (Тульский государственный педагогический университет им. Л.Н. Толстого)

Жилина Наталья Юрьевна, кандидат юридических наук, доцент (Белгородский государственный национальный исследовательский университет)

Ильина Екатерина Александровна, кандидат архитектуры, доцент (Государственный университет по землеустройству)

Каландаров Азиз Абдурахманович, PhD по физико-математическим наукам, доцент, проректор по учебным делам (Гулистанский государственный педагогический институт)

Карпович Виктор Францевич, кандидат экономических наук, доцент (Белорусский национальный технический университет)

Кожевников Олег Альбертович, кандидат юридических наук, доцент, Почетный адвокат России (Уральский государственный юридический университет)

Колесников Александр Сергеевич, кандидат технических наук, доцент (Южно-Казахстанский университет им. М. Ауэзова)

Копалкина Евгения Геннадьевна, кандидат философских наук, доцент (Иркутский национальный исследовательский технический университет)

Красовский Андрей Николаевич, доктор физико-математических наук, профессор, член-корреспондент РАН и АИН (Уральский технический институт связи и информатики)

Кузнецов Игорь Анатольевич, кандидат медицинских наук, доцент, академик международной академии фундаментального образования (МАФО), доктор медицинских наук РАГПН,

профессор, почетный доктор наук РАЕ, член-корр. Российской академии медико-технических наук (РАМТН) (Астраханский государственный технический университет)

Литвинова Жанна Борисовна, кандидат педагогических наук (Кубанский государственный университет)

Мамедова Наталья Александровна, кандидат экономических наук, доцент (Российский экономический университет им. Г.В. Плеханова)

Мукий Юлия Викторовна, кандидат биологических наук, доцент (Санкт-Петербургская академия ветеринарной медицины)

Никова Марина Александровна, кандидат социологических наук, доцент (Московский государственный областной университет (МГОУ))

Насакаева Бакыт Ермекбайкызы, кандидат экономических наук, доцент, член экспертного Совета МОН РК (Карагандинский государственный технический университет)

Олешкевич Кирилл Игоревич, кандидат педагогических наук, доцент (Московский государственный институт культуры)

Попов Дмитрий Владимирович, доктор филологических наук (DSc), доцент (Андижанский государственный институт иностранных языков)

Пятаева Ольга Алексеевна, кандидат экономических наук, доцент (Российская государственная академия интеллектуальной собственности)

Редкоус Владимир Михайлович, доктор юридических наук, профессор (Институт государства и права РАН)

Самович Александр Леонидович, доктор исторических наук, доцент (ОО «Белорусское общество архивистов»)

Сидикова Тахира Далиевна, PhD, доцент (Ташкентский государственный транспортный университет)

Таджибоев Шарифджон Гайбуллоевич, кандидат филологических наук, доцент (Худжандский государственный университет им. академика Бободжона Гафурова)

Тихомирова Евгения Ивановна, доктор педагогических наук, профессор, Почётный работник ВПО РФ, академик МААН, академик РАЕ (Самарский государственный социально-педагогический университет)

Хаитова Олмахон Сайдовна, кандидат исторических наук, доцент, Почетный академик Академии наук «Турон» (Навоийский государственный горный институт)

Цуриков Александр Николаевич, кандидат технических наук, доцент (Ростовский государственный университет путей сообщения (РГУПС))

Чернышев Виктор Петрович, кандидат педагогических наук, профессор, Заслуженный тренер РФ (Тихоокеанский государственный университет)

Шаповал Жанна Александровна, кандидат социологических наук, доцент (Белгородский государственный национальный исследовательский университет)

Шошин Сергей Владимирович, кандидат юридических наук, доцент (Саратовский национальный исследовательский государственный университет имени Н.Г. Чернышевского)

Эшонкулова Нуржакон Абдулжабборовна, PhD по философским наукам, доцент (Навоийский государственный горный институт)

Яхшиева Зухра Зиятовна, доктор химических наук, доцент (Джиззакский государственный педагогический институт)

СОДЕРЖАНИЕ

МАТЕМАТИКА

Сергеев В.А.

К РАЗВИТИЮ ТЕОРИИ ШКАЛ ИЗМЕРЕНИЙ 6

ФИЗИКА

Рысин А.В., Никифоров И.К., Бойкачёв В.Н., Селютин А.В.

РАЗВИТИЕ ЭЛЕКТРОДИНАМИКИ И ФИЗИКИ НА ОСНОВЕ ТЕОРИИ МИРОЗДАНИЯ.

ЧАСТЬ 5. ПОДГОНКИ ПОД РЕЗУЛЬТАТ В КВАНТОВОЙ МЕХАНИКЕ И ФИЗИКЕ.

ЧАСТЬ 10 11

ТЕХНИЧЕСКИЕ НАУКИ

Аль-Зарафа Ахмед Мухаммед Ахмед, Аль-Амоди Абдулмаджид Саид Мохсен

ОЦЕНКА ОТМЫВАЮЩИХ СПОСОБНОСТЕЙ БУФЕРНЫХ ЖИДКОСТЕЙ

ДЛЯ ПОВЫШЕНИЯ КАЧЕСТВА ЦЕМЕНТИРОВАНИЯ И КРЕПЛЕНИЕ СКВАЖИН 42

Купцов Г.А.

ЭЛЕКТРОПЕЧИ И ИХ ПРЕИМУЩЕСТВО 48

Рогаль И.О.

ЗАВИСИМОСТЬ ЭФФЕКТИВНОСТИ СИСТЕМЫ ПРОТИВОДЫМНОЙ ВЕНТИЛЯЦИИ

В КОРИДОРАХ ОТ РАССТОЯНИЯ МЕЖДУ ДЫМОПРИЕМНЫМ УСТРОЙСТВОМ

И ПРИТОЧНЫМ ОТВЕРСТИЕМ 51

ВОЕННОЕ ДЕЛО

Селезнев А.А., Селиук Д.В.

СОВРЕМЕННЫЕ БЕСПИЛОТНЫЕ ЛЕТАТЕЛЬНЫЕ АППАРАТЫ (БПЛА):

ОБЗОР ТЕХНОЛОГИЙ И ПРИМЕНЕНИЯ 57

ИНФОРМАЦИОННЫЕ ТЕХНОЛОГИИ

Mahmudova N.N., Mahmudova A.M.

KEY AREAS OF ELECTRONIC DEVELOPMENT DRIVING IT ADVANCEMENT 60

Safonov V.A.

STUDY OF THE OF TRANSITION WAYS TO DOMESTIC SOFTWARE DATA

PROTECTION IN CLOUD STORAGES 63

Балахонова Е.А., Коротун С.О.

ТЕСТИРОВАНИЕ БАЗОВОГО ФУНКЦИОНАЛА ISC-DHCP-SERVER И DNSMASQ 66

Вертепов С.А.

СОЗДАНИЕ ИНТЕЛЛЕКТУАЛЬНОГО СЛОЯ-ПОСРЕДНИКА (AI MIDDLEWARE)

ДЛЯ ПЕРСОНАЛИЗАЦИИ ПОЛЬЗОВАТЕЛЬСКОГО ОПЫТА И УПРОЩЕНИЯ

ВЗАИМОДЕЙСТВИЯ С ДЕЦЕНТРАЛИЗОВАННЫМИ ПРИЛОЖЕНИЯМИ (DAPPS).... 73

Иващенцев А.С.

СРАВНИТЕЛЬНЫЙ АНАЛИЗ ОСНОВНЫХ АЛГОРИТМОВ ПОИСКА ПУТИ
В ИГРАХ 83

Сергеев В.А.

КЕЙСЫ КЛАССОВ НОВОЙ СИСТЕМАТИКИ ШКАЛ 89

Финкер М.К.

ОБЕСПЕЧЕНИЕ ЭФФЕКТИВНОЙ РАБОТЫ СОВРЕМЕННЫХ ДАТА-ЦЕНТРОВ
ПОСРЕДСТВОМ МЕТОДОВ УПРАВЛЕНИЯ КАЧЕСТВОМ ОБСЛУЖИВАНИЯ 94

Щербаков И.Г.

ИНТЕЛЛЕКТУАЛЬНАЯ MQTT-СИСТЕМА МОНИТОРИНГА КАЧЕСТВА ВОДЫ
В БАССЕЙНАХ ДЛЯ ГРУДНИЧКОВОГО ПЛАВАНИЯ 103

МАТЕМАТИКА

СЕРГЕЕВ Владимир Анатольевич

младший научный сотрудник, Институт вычислительной математики и математической геофизики Сибирского отделения Российской Академии Наук, Россия, г. Новосибирск

К РАЗВИТИЮ ТЕОРИИ ШКАЛ ИЗМЕРЕНИЙ

Аннотация. В статье приводятся существующие и даются авторские определения основным терминам, связанным со «шкалами»; в частности, вводятся понятия «имманентных» и «назначенных» свойств; даётся совместная табличная характеристика шкал; знания о шкалах распространены (помимо свойств) и на отношения.

Ключевые слова: шкалы, свойства, отношения.

Целью данной статьи было уточнение и развитие методологического аппарата получения и обработки данных в научных и практических исследованиях. Более узко – для методического обеспечения сбора данных для оценки цунамиопасности прибрежных зон. Более широко – для содействия информационным технологиям, постановке и решению задач геофизики и искусственного интеллекта.

В разных научных работах по теории измерений, анализу данных, исследованию операций, искусственноому интеллекту, технической кибернетике выделяются и рассматриваются различные виды «шкал» [1; 2, с. 9–110; 3, с. 131–134; 4; 5, с. 104–115; 6; 7, с. 641–646; 8 и др.].

Наиболее распространённым и общепринятым формальным определением термина «шкала» является следующее, содержащееся в работах [1; 2, с. 9–110]: «Шкала (= «шкала измерений») – это однозначное отображение (гомоморфизм) «эмпирической системы с отношениями» $\langle \Psi_1 \rangle$ в «числовую систему с отношениями» $\langle \Psi_2 \rangle$. При этом образы элементов Ψ_1 и Ψ_2 называются «школьными значениями», и на основе свойства гомоморфизма отображения из свойств числовых отношений между школьными значениями следуют выводы об «эмпирических отношениях» между объектами.

Из этого определения не ясно:

1. Что есть «шкала» – процедура отображения или её результат?
2. На основе каких параметров строится определение «шкалы» и какими параметрами шкала характеризуется?

3. Всегда ли шкала является числовой системой?

4. Что есть «эмпирическая система с отношениями»?

5. На ЧТО распространяется определение шкалы: только на свойства объектов? На точки в пространстве свойств? А также на координаты и время? На отношения между объектами?

6. Может ли всё это относиться не только к объектам, но и к точкам наблюдений, а также к виртуальному ментальному пространству особей?

Важно отметить, что эмпирическая система с отношениями (или без них) может не существовать **до** и **без** эмпирических исследований (например, слои геологических отложений, выделяемые геологом, **до** такого выделения могут не существовать).

Мною предлагается следующее альтернативное определение «школы», лишённое, как представляется, отмеченных неясностей. Это определение построено по принципу «матрёшки»: к первоначальному наиболее краткому определению поэтапно добавляются блоки и слои, усложняющие и детализирующие определение – вплоть до уровня понятия.

Наиболее краткое определение «школы»: ШКАЛА = это тип данных.

Что же понимается под «данными», какими они могут быть, как их можно преобразовывать и использовать? Как соотносятся «данные» и «информация»? Ответам на эти вопросы были посвящены, в частности, мои работы [4; 5, с. 104–115; 7, с. 641–645; 10, с. 137–145].

В моей статье о шкалах [11, с. 125-131] приводятся существующие и даются авторские определения основным терминам, связанным со «шкалами». Там, в частности, введены понятия «имманентных» и «назначенных» свойств. Данная совместная табличная характеристика шкал. Знания о шкалах распространены (помимо свойств) и на отношения. Элементами научной новизны в той статье обладает каждый из перечисленных пунктов.

В данной статье задаются некоторые принципиальные вопросы о шкалах, находятся на них ответы, методологическая и теоретическая необходимость которых вытекает из работ [2, с. 9-110; 3, с. 131-134; 4; 5, с. 104-115; 6; 7, с. 641-646].

Примем далее в тексте следующие обозначения.

A_{v1}, A_{v2} – **объекты**; A – полное множество рассматриваемых объектов; ΔA_k – k -е подмножество объектов; $\Delta A_k \in A$.

X – множество **свойств**, значения которых приписаны всему A_v , частям от A_v или точкам в A_v ; x_p – p -ое свойство; $X = \{x_1, x_2, \dots, x_p, \dots, x_p\}$; P – число различных свойств; x_p^v – v -ое значение p -ого свойства; $Z(x_p)$ – область (односвязная или многосвязная) допустимых значений (= область определения) свойства x_p .

Ω – множество различных **отношений**, каждое из которых задано на некотором ΔA_k ; ω_m – m -ое из этих отношений; $m = 1, 2, \dots, M$; M – число различных отношений.

S – множество **шкал**; S_q – q -я шкала; $S_q(x_p)$ – шкала, в которой определены значения свойства x_p .

Определения и уточнения важных для данной статьи вспомогательных терминов, таких как «данные», «информация», «прямые и косвенные свойства», «объект», «выделение» объекта, «задание объекта по представлению», «классификации исходных заданий объекта», «знания», «онтологии» и ряда других, содержатся в работах [4; 5, с. 104-115; 6; 7, с. 641-646; 11, с. 125-131 и других].

Мною предлагается следующее альтернативное **определение «шкалы»** – более детализирующее – **второго уровня**.

Под «**шкалой**» (или «шкалой измерений») мы будем понимать тип данных, относящихся к множеству $\{X\}$ допустимых значений (данных) $\{x_p^v\}$, которые (значения) может принимать определяемое на некотором объекте свойство (или отношение на множестве объектов) X , при условии, что фиксировано множество $\{\Phi\}$ допустимых преобразований Φ над каждым из всех

данных одновременно, т. е. над значениями $\{x_p^v\}$.

В разработанной нами и приводимой ниже **характеристической таблице шкал** (табл.) допустимые значения данных (т. е. допустимые элементы шкалы) указаны в столбце «ЭЛ», а допустимые преобразования – в столбце «ДП». Эти столбцы (а также столбцы ФН и ФМ) формируют определение каждой шкалы, а столбцы ИВ и МО характеризуют свойства шкал.

В разных научных работах по теории измерений, анализу данных, исследованию операций, искусственному интеллекту, технической кибернетике выделяются и рассматриваются различные виды шкал [1; 2, с. 9-110; 3, с. 131-134; 4; 5, с. 104-115; 6; 7, с. 641-646; 8 и др.]. Все эти шкалы делятся на сильные и слабые. Каждую из сильных шкал называют также арифметической (синонимы – количественной или метрической).

Среди **сильных** шкал выделяют абсолютную (A), интервалов (И) (синоним – предпочтений), отношений (O) и разностей (P).

Среди **слабых** шкал выделяют шкалу наименований (Н) (синонимы – имён, номинальную, классификационную, логическую 2-го рода) и шкалу порядка (П) (синонимы – порядковую, ранговую, логическую 1-го рода). Мною введена также слабая шкала дискурсивная (Д).

Множество возможных значений **данных сильной шкалы** принадлежит континуальному (бесконечному и непрерывному либо дискретному – конечному или бесконечному – множеству) некоторой области определения $Z(x_p)$, а **данных слабой шкалы** – некоторому конечному множеству $Z = \{x_p^v\} (v=1, \dots, V)$, где V – общее число различных значений x_p^v – не упорядоченных для шкал Н и Д, но упорядоченных для шкалы П.

Введение мною шкалы Д обусловлено необходимостью выделять и использовать смысловые данные. Их можно интерпретировать [4] как подпространства (области – односвязные либо многосвязные) в «пространстве понятийных свойств». Такие грубые и чёткие подпространства задают определения, грубые и нечёткие – представления, а тонкие и чёткие – понятия. Такие данные могут получаться как в ходе эмпирических исследований, так и порождаться интеллектами (естественными или искусственными).

Далее мы охарактеризуем шкалы Н, П, И, Р, О, А, Д по следующим **параметрам**.

ЭЛ – элемент: что является элементом шкалы (её элементарным данным x_p^v): ЛЗ –

любой знак (в том числе буква, слово, фраза, иероглиф, рисунок, цифра, число (целое или вещественное) – для слабых шкал; в этом случае множество допустимых (возможных) различных значений x_p^v в данной шкале конечно либо бесконечно, априори фиксировано или нет; **ВЧ** – вещественное число (в частности, натуральное) – для сильных шкал; в этом случае множество допустимых (возможных) различных значений x_p^v в данной шкале бесконечно либо конечно, априори фиксировано либо нет, и является либо нет континуумом в области определения $Z(x_p)$.

ДП – допустимое математическое преобразование $\Phi = \Phi(x_p)$ над каждым значением x_p . Это **Ф** трактуется [1; 2, с. 9-110; 8] как связь между данными «идеальной» и данной шкалы. **Значения ДП:** <1> ПО = $\Phi(x_p)$ – произвольное однозначное преобразование; <2> ПМ = $\Phi(x_p)$ – произвольное монотонное преобразование, сохраняющее порядок на значениях; линейные преобразования (ЛП): ЛПП = $\Phi(x_p) = ax_p + b$ – ЛП полное, ЛПА = $\Phi(x_p) = x_p + b$ – ЛП аддитивное, ЛПМ = $\Phi(x_p) = ax_p$ – ЛП мультипликативное; <3> ТП = $\Phi(x_p) = x_p$ – тождественное преобразование (т. е. никакие преобразования не допустимы).

ДП – допустимое математическое преобразование $\Phi = \Phi(x_p)$ над каждым значением x_p при условии, что одно и то же это **Ф** производится сразу над всеми $x_p \in Z(x_p)$. Понятно, что говорить о математическом преобразовании $\Phi = \Phi(x_p)$ не имеет смысла, если в качестве ЭЛ выступает не **ВЧ**, а **ЛЗ**. Это **Ф** трактуется [1; 2, с. 9-110; 8] как связь между данными «идеальной» и данной шкалы. **Какими могут быть значения ДП:** <1> $\Phi(x_p)$ есть произвольное однозначное (ПО) преобразование; $\Phi(x_p)$ – произвольное монотонное (ПМ) преобразование, сохраняющее порядок на значениях x_p ; <2> линейное преобразование $\Phi(x_p) = ax_p + b$; <3> преобразование сдвига $\Phi(x_p) = x_p + b$; <4> преобразование растяжения $\Phi(x_p) = a x_p$; <5>

тождественное преобразование (т. е. никакие преобразования не допустимы) $\Phi(x_p) = x_p$.

ФН – фиксация нуля: зафиксирован ли жестко нуль x_p^0 шкалы (в частности, является ли он «естественным», и если «да», то $b = 0$), «да» или «нет».

ФМ – фиксация масштаба: зафиксирован ли жестко масштаб (единица измерения) шкалы? Если «да», то $a=0$.

ИВ – инвариантность выражений: какие из следующих арифметических выражений (равенств или неравенств) будут инвариантны относительно допустимого преобразования данных соответствующей шкалы? Выражения:

1. $x_p^{v1} = x_p^{v2}$ или $x_p^{v1} \neq x_p^{v2}$;
2. $x_p^{v1} < x_p^{v2}$ или $x_p^{v1} > x_p^{v2}$;
3. $(x_p^0 - x_p^{v1}) / (x_p^0 - x_p^{v2}) = C$;
4. $x_p^{v1} - x_p^{v2} = C$; (5) $x_p^{v1} / x_p^{v2} = C$; здесь C – некоторая константа.

МО – математические операции: какие математические операции (арифметические либо статистические) допустимы (имеют смысл) над значениями (данными) из эмпирической выборки рассматриваемой шкалы? Список МО:

1. Определение перечня и частот встречаемости каждого из значений в выборке,
2. Определение \min , \max и средних величин их частот встречаемости;
3. Построение функции распределения статистических значений (частот), определение квантиля, медианы, моды;
4. Определение статистических моментов распределения значений (обычных, центрированных и нормированных) и функций от них – стандарта, асимметрии, эксцесса;
5. Сложение и вычитание;
6. Умножение и деление.

На основе параметров ЭЛ, ДП, ФН, ФМ, ИВ и МО построена расположенная ниже характеристическая таблица для шкал разных типов. Напомним, что тип шкалы определяется параметрами ЭЛ, ДП, ФН, ФМ, а параметры ИВ и МО характеризуют свойства шкал.

Таблица

Характеристическая таблица шкал

№	Шкала	ЭЛ	ДП $\Phi(x)$	ФН	ФМ	ИВ	МО
1	Н – наименований	ЛЗ	ПО	нет	нет	1	1, 2
2	П – порядка	ЛЗ	ПМ	да	нет	1, 2	1, 2, 3
3	И – интервалов	ВЧ	$ax + b$	нет	нет	1, 2, 3	1, 2
4	Р – разностей	ВЧ	$x + b$	нет	да	1, 2, 4	1, 2, 5
5	О – отношений	ВЧ	ax	да	нет	1, 2, 5	1, 2, 6
6	А – абсолютная	ВЧ	x	да	да	1, 2, 3, 4, 5	1, 2, 3, 4, 5, 6
7	Д – дискурсивная	ПК	нет	нет	нет	а, б, в, г	1

В последующих статьях мы приведём примеры для свойств и отношений каждой из этих шкал (в частности – для свойств, используемых для объектов геологии, цунами и геокатастрофики в целом), а также рассмотрим особенности некоторых шкал нелинейных типов и некоторые теоретические утверждения о шкалах.

Литература

1. Пфанцагль И. Теория измерений. – М., 1976. – 225 с.
2. Суппес П., Зиннес Дж. Основы теории измерений // Психологические измерения. – М., Мир, 1967. – С. 9-110.
3. Сергеев В.А. Обобщение и формализация понятий о геологическом опробовании // Геология и геофизика. – 1982. – № 6. – С. 131-134.
4. Сергеев В.А. Разработка теоретических вопросов и алгоритмов формального описания геологических объектов для решения задач прогнозирования и оценки с помощью ЭВМ. – Отчёт о НИР / ВЦ СО АН СССР. – № гос. рег-ции ГР8312514, Инв. № Б986534. – Новосибирск, 1987. – 113 с.
5. Сергеев В.А. О геометрических и вещественных преобразованиях над геологическими телами в связи с их описанием // Математические вопросы анализа данных. – Новосибирск, 1980. – С. 104-115.
6. Налимов В.В. Теория эксперимента. – М.: Наука, 1971. 208 с.
7. Воронин Ю.А., Сергеев В.А. К методологии и теории формального задания и использования структур в геоинформатике // Тр. междун. конф. «Математические методы в геофизике» / ИВМиМГ СО РАН - Новосибирск, 2003. – С. 641-646.
8. Загоруйко Н.Г. Прикладные методы анализа данных и знаний. – Новосибирск: Изд-во ИМ СО РАН, 1999. – 270 с.
9. Уёмов А.И. Вещи, свойства и отношения. – М.: Изд-во АН СССР, 1963. – 184 с.
10. Сергеев В.А. Верификация и кастинг данных, информации, знаний и их носителей в социуме // Коммуникативные стратегии информационного общества: Труды 4-й Междунар. науч.-теор. конф., 16-18.11.2011, Спб. – С. 137-145.
11. Сергеев В.А. Шкалы свойств и отношений: новая систематика // Актуальные вопросы образования и науки: сборник научных трудов по материалам Международной научно-практической конференции 30.11.2015. Часть 1. М-во обр. и науки РФ. Тамбов: ООО «Консалтинговая компания Юком», 2015. – С. 125-131.
12. Воронин Ю.А., Алабин Б.К. и др. Геология и математика. – Новосибирск: Наука, 1967. – 254 с.
13. Воронин Ю.А., Еганов Э.А. Методологические вопросы применения математических методов в геологии. - Новосибирск: Наука, 1974. – 86 с.
14. Сергеев В.А. Обобщение и формализация понятий о геологическом опробовании // Геология и геофизика. – 1982. – № 6. – С. 131-134.
15. Сергеев В.А. Общее и особенное в методах преобразования геоинформации // Геоинформатика. – 2004. – № 4. – С. 54-58.
16. Sergeev V.A. To development of the computational exploration // Abstracts. The International conference “Advanced mathematics, computations and applications – 2014”. Institute of Computational Mathematics and Mathematical Geophysics of Siberian Branch of Russian Academy of Sciences / Novosibirsk, Russia, July 8–11, 2014. P. 107.
17. Мурти Т.С. Сейсмические морские волны цунами. – Л.: Гидрометеоиздат, 1981. – 448 с.
18. Робертс Э. Когда сотрясается Земля. М.: Мир, 1966. – 176 с.
19. Ильясов Ф.Н. Шкалы и специфика социологического измерения // Мониторинг общественного мнения: экономические и социальные перемены. 2014. № 1. С. 3-16.
20. Витяев Е.Е. Информационные технологии знаний, экспертные системы: учебное пособие. – Новосибирск: Изд-во НГУ, 2011. – 225 с.
21. Витяев Е.Е. Извлечение знаний из данных. Компьютерное познание. Модели когнитивных процессов. – Новосибирск, НГУ, 2006. – 293 с.
22. Саганенко Г.И. Социологическая информация: статистическая оценка надёжности исходных данных социологического исследования. – Л.: Наука, 1979. – 142 с.
23. Хованов Н.В. Математические основы теории шкал измерения качества. – Л.: Изд-во ЛГУ, 1982. – 185 с.
24. Сергеев В.А. Описание геологических тел: анализ традиционных подходов. – Отчёт о НИР / ВЦ СО АН СССР. – № гос. рег. 76051922, Инв. № Б705945. – Новосибирск, 1978. – 107 с.
25. Воронин Ю.А., Сергеев В.А. Описание геологических тел: итоги и перспективы. – Отчёт о НИР / ВЦ СО АН СССР. – № гос. рег.

7653432, И nv. № B705945. – Новосибирск, 1979
 (в 3-х томах). – 675 с.

26. Сергеев В.А. Основы теории и методологии описания геологических тел // Применение математических методов и ЭВМ при поиске полезных ископаемых: Сб. науч. тр. – Новосибирск, ВЦ СО АН ССР, 1980. – С. 64-73.

27. Сергеев В.А. О геометрических и вещественных преобразованиях над геологическими телами в связи с их описанием // Математические вопросы анализа данных: Сб. науч.

тр. – Новосибирск, ВЦ СО АН ССР, 1980. – С. 104-115.

28. Сергеев В.А. О поиске перспективных слоистых толщ на основе формального задания, описания и сопоставления колонок // Математические методы анализа цикличности в геологии: Сб. науч. тр. – Москва, Наука, 1984. – С. 53-57.

29. Сергеев В.А. Проблема описания в геологоразведке // Вычислительные методы в геологоразведке: Сб. науч. тр. – Новосибирск, ВЦ СО АН ССР, 1984. – С. 162-184.

SERGEYEV Vladimir Anatolyevich

Junior Researcher, Institute of Computational Mathematics and Mathematical Geophysics
 of the Siberian Branch of the Russian Academy of Sciences, Russia, Novosibirsk

TO DEVELOPMENT OF MEASURE SCALES

Abstract. In this article an available and the author's definition of the basic terms associated with "scales", in particular, the concepts of "immanent" and "assigned" properties, are presented; the joint tabular characteristic of the scales is given; the knowledges of scales are spread to relationships (besides properties).

Keywords: scales, properties, relationships.

ФИЗИКА

РЫСИН Андрей Владимирович
радиоинженер, АНО «НТИЦ «Техком», Россия, г. Москва

НИКИФОРОВ Игорь Кронидович
доцент, кандидат технических наук,
Чувашский государственный университет, Россия, г. Чебоксары

БОЙКАЧЁВ Владислав Наумович
директор, кандидат технических наук, АНО «НТИЦ «Техком», Россия, г. Москва

СЕЛЮТИН Александр Владимирович
генеральный директор, ГК «РУСТП», Россия, г. Москва

РАЗВИТИЕ ЭЛЕКТРОДИНАМИКИ И ФИЗИКИ НА ОСНОВЕ ТЕОРИИ МИРОЗДАНИЯ. ЧАСТЬ 5. ПОДГОНКИ ПОД РЕЗУЛЬТАТ В КВАНТОВОЙ МЕХАНИКЕ И ФИЗИКЕ. ЧАСТЬ 10

Аннотация. В данной статье показана логика необходимости однозначного формирования объектов Мироздания от простого варианта к сложному варианту, с учётом представления этих объектов в зависимости от системы наблюдения в двух глобальных противоположностях в схеме иерархии преобразования при обратно-пропорциональной связи и симметрии законов в противоположностях. Данная логика основана на известных формулах с исключением парадоксов от утверждений физиков, связанных с чудесами. Соответственно на основе нашей теории будут вычислены значения известные в практике.

Ключевые слова: СТО и ОТО Эйнштейна, усовершенствованные уравнения Максвелла, принцип Гюйгенса – Френеля, уравнение Даламбера, система уравнений Дирака, уравнение Шрёдингера, уравнение Гамильтона – Якоби.

В начале, следует отметить, что мы ничего не придумываем того, чтобы фактически не было бы использовано физиками в том или ином виде. Мы просто показываем логику связи явлений, что уже нашло как теоретическое, так и практическое применение в физике. Различие нашей теории Мироздания с обще-принятой теорией физиков в том, что они использовали чудодейственное возникновение и исчезновение придуманных ими частиц, таких как виртуальные фотоны, гравитоны, кварки и глюоны с отсутствием математического взаимодействия и возникновением их из вакуума. На этом основан принцип взаимодействия через телепортацию, что отрицает необходимость наличия самих законов физики и,

следовательно, развивать в физике стало нечего. Мы же опираемся на закон Ломоносова М. В., по которому объекты состоят из того, на что они распадаются.

Исходя из этого понятно, что первым основополагающим явлением, в объективной реальности, является взаимодействие противоположностей в любом существующем объекте Мироздания. Это явление получило название корпускулярно-волнового дуализма. В философии это было обозначено в виде закона единства и борьбы противоположностей [1, с. 5-37]. Логика такого явления объясняется довольно просто: исходя из противоречий, от обратного. Действительно, как можно выявить существование отдельного объекта, если отсутствие

противоположностей означает однородность? Да, никак! Однако определив необходимость наличия противоположностей в Мироздании, мы должны определить их взаимодействие. В противном случае скатываемся вновь к наличию не одной, а нескольких однородностей, которые имеют независимое существование в наших фантазиях. Отсюда следует требование обязательного взаимодействия противоположностей. Это взаимодействие может быть связано только с взаимным преобразованием объектов одной противоположности в объекты другой противоположности, и наоборот. В противном случае мы приходим к чудесам возникновения из ничего и исчезновения в ноль, и здесь, собственно, нет и самого взаимодействия, так как нет взаимного влияния через изменения. Отсюда сам принцип взаимодействия с преобразованием математически основан на увеличении объектов первой противоположности (сложение) за счёт уменьшения объектов второй противоположности (вычитание), и наоборот. Другого способа взаимодействия в принципе не существует, так как иное исключает влияние через изменения. Соответственно при наличии влияния через количественные изменения (это связано со скоростью обмена) стоит вопрос о необходимости равенства перехода объектов по количеству из одной противоположности в другую противоположность, так как иное приводит к исчезновению одной из противоположностей. Иными словами, различие противоположностей на основе неравенства количества приводит к чудесам возникновения из нуля, или исчезновение в ноль. Такое равное преобразование противоположностей означает их замкнутое взаимодействие. Понятно, что мы также должны дать характеристику различия противоположностей с точки зрения описания самих объектов этих противоположностей. Однако как это представить с точки зрения математики? Если исходить из количественной оценки, то здесь различий противоположностей быть не может, так как обмен между противоположностями равный. Отсюда остаётся единственный вариант отличия

противоположностей с точки зрения математики через влияние противоположностей друг на друга, что выражается в переходе объектов через операции сложения и вычитания, которые являются основополагающими для различия любых закономерностей. Соответственно, операция сложения объектов в одной противоположности выглядит вычитанием в другой противоположности, и наоборот. Иными словами, различие объектов по существованию в противоположностях основано на рассмотрении процессов взаимодействия от системы наблюдения в зависимости от противоположности. Однако, если рассматривать процессы взаимодействия противоположностей по математике только с точки зрения обычного количественного сложения и вычитания, то мы будем иметь превращение противоположностей в однородность одной противоположности. Это говорит о том, что для соблюдения вечного существования противоположностей в Мироздании необходимо наличие более сложных закономерностей, которые обеспечивали равенство операций сложения и вычитания. Необходимость замкнутости глобальных противоположностей друг на друга, для избегания чудес, требует равного количественного преобразования, а это означает, что действие равно противодействию. Отсюда воздействие первой противоположности на вторую связано с ответной реакцией, что выражается в исключении влияния первой противоположности через отрицание со знаком минус. Соответственно вычитание в одной глобальной противоположности рассматривается как сложение в другой глобальной противоположности, так как иначе нет отличий между противоположностями из-за различий по закономерностям. Отсюда единственным атрибутом отличия объектов в противоположностях с точки зрения математики и логики является мнимая единица $i=(-1)^{1/2}$, которая обеспечивает отрицание при возврате в начальную противоположность со знаком минус. Ничего другого без чудес придумать невозможно. Более подробно мы это рассмотрели в [1, с. 5-37], в результате чего была выведена общая формула Мироздания:

$$\begin{aligned} ch^2(w) - sh^2(w) &= \cos^2(\phi) + \sin^2(\phi); \\ \exp(w)\exp(-w) &= \exp(i\phi)\exp(-i\phi), \end{aligned} \tag{1}$$

Здесь $w = (-1)^{1/2}\phi = i\phi$, в этом случае аргументы имеют равенство по количеству. При

этом мы имеем различие противоположностей на основе атрибута в виде мнимой единицы,

что даёт смену закономерностей в зависимости от системы наблюдения. Понятно, что наша логика законов должна соответствовать практике замкнутых законов преобразования в физике. Поэтому посмотрим, какое соответствие имеет

$$\begin{aligned}
 x_1 &= (x - v_x t) / (1 - v_x^2/c^2)^{1/2}; \\
 x_1^2 (1 - v_x^2/c^2) &= (x - v_x t)^2; \\
 x_1^2 - v_x^2 x_1^2/c^2 &= (x - v_x t)^2; x_1/c = t_1; \\
 x_1^2 - v_x^2 t_1^2 &= (x - v_x t)^2; \\
 x &= (x_1 + v_x t_1) / (1 - v_x^2/c^2)^{1/2} \\
 x^2 (1 - v_x^2/c^2) &= (x_1 + v_x t_1)^2; x/c = t; \\
 x^2 - v_x^2 t^2 &= (x_1 + v_x t_1)^2; \\
 x_1^2 - v_x^2 t_1^2 + (x_1 + v_x t_1)^2 &= (x - v_x t)^2 + (x^2 - v_x^2 t^2); \\
 2x_1^2 + 2x_1 v_x t_1 &= 2x^2 - 2x v_x t; \\
 x_1^2 - x^2 &= -(x_1 v_x t_1 + x v_x t); \\
 x^2 - x_1^2 &= (x v_x t + x_1 v_x t_1). \\
 t^2 - t_1^2 &= (v_x/c)(t^2 + t_1^2),
 \end{aligned} \tag{2}$$

Последнее уравнение в (2) будет соответствовать уравнению (1), если $v_x=c$, и при этом для достижения равенства на основе нашей логики используются закономерности. Иными словами, общий закон Мироздания в СТО Эйнштейна обеспечивается при связи систем наблюдения через скорость света (скорость обмена). Собственно, в таком подходе мы не являемся первоходцами, так как впервые связь СТО и ОТО Эйнштейна с гиперболическими косинусами и синусами, а также и с

$$\begin{aligned}
 x'^0 &= ch(w)x^0 - sh(w)x^1, \\
 x'^1 &= -sh(w)x^0 + ch(w)x^1, \\
 x'^2 &= x^2, \quad x'^3 = x^3,
 \end{aligned} \tag{5}$$

выведенный нами закон (1) с теорией относительности Эйнштейна. Для показа этого мы сделаем следующие преобразования СТО Эйнштейна в замкнутом виде [2, с. 213]:

обычными косинусами и синусами показал ещё Минковский [3, с. 226]. Выясним теперь, что представляют собой в геометрии Минковского преобразования Лоренца. Здесь, соответственно вводятся обозначения:

$$x^0 = ct, \quad x^1 = x, \quad x^2 = y, \quad x^3 = z, \tag{3}$$

При этом полагается:

$$v/c \equiv \beta = th(w), \tag{4}$$

Запишем преобразования Лоренца, отвечающие движению системы отсчёта вдоль оси X^1 по рисунку 1 в следующем виде:

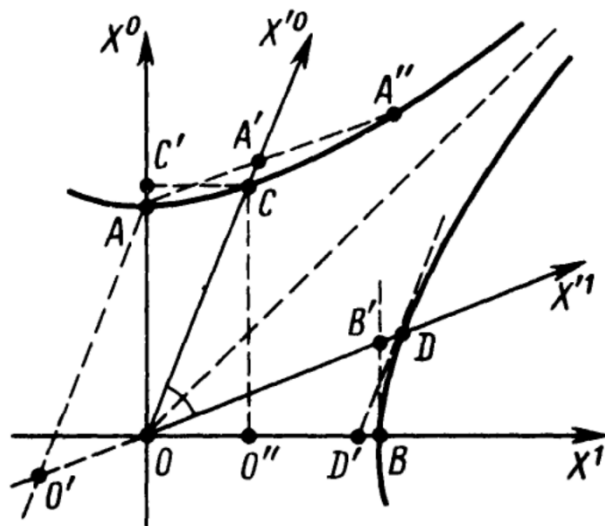


Рис. 1. Геометрия Минковского

Здесь учитывается, что:

$$ch(w) = \gamma = 1/(1 - \beta^2)^{1/2}, \quad sh(w) = \beta\gamma, \tag{6}$$

Очевидно, преобразования (5) представляют собой переход от прямоугольной системы

координат к косоугольной с дополнительным растяжением. При таком переходе каждая точка плоскости занимает некоторое

положение на соответствующей ей гиперболе с выполнением равенства:

$$\begin{aligned} ch(w) &= \cos(iw) = \cos(\phi), \\ sh(w) &= -i\sin(iw) = -i\sin(\phi), \end{aligned} \quad (8)$$

Отсюда гиперболический поворот можно представить в виде поворота на мнимый угол $\phi = iw$, где $x^4 = ix^0$:

$$\begin{aligned} x'^4 &= \cos(\phi)x^4 - \sin(\phi)x^1, \\ x'^1 &= \sin(\phi)x^4 + \cos(\phi)x^1, \end{aligned} \quad (9)$$

Таким образом, роль окружностей за счёт поворота на мнимый угол (действительный в другой противоположности) в псевдоевклидовой геометрии Минковского играют гиперболы. Иными словами, Минковский ещё до нас математически связал интуитивно сложение и

$$\begin{aligned} (x'^0)^2 &= [ch(w)x^0 - sh(w)x^1]^2 = [ch(w)x^0]^2 - 2ch(w)x^0sh(w)x^1 + [sh(w)x^1]^2, \\ (x'^1)^2 &= [ch(w)x^1 - sh(w)x^0]^2 = [ch(w)x^1]^2 - 2ch(w)x^1sh(w)x^0 + [sh(w)x^0]^2, \end{aligned} \quad (10)$$

Отсюда мы видим, что при вычитании имеем инвариантную форму:

$$(x'^0)^2 - (x'^1)^2 = [ch(w)x^0]^2 + [sh(w)x^1]^2 - [ch(w)x^1]^2 - [sh(w)x^0]^2 = (x^0)^2 - (x^1)^2 = const, \quad (11)$$

Учитывая, что данная форма на основе закона сохранения количества для каждого объекта остается инвариантной в полученной нами системе, следует вывод: *сумма данных форм от всех объектов также будет равна константе, а значит, может быть приведена к единичному уровню.*

Также учитывая, что для выполнения СТО Эйнштейна требуется необходимость соблюдения тождества последнего уравнения в (2) следует условие представления любого объекта Мироздания как закономерности, зависящей от количественного значения в аргументе функции с учётом атрибута принадлежности к системе наблюдения соответствующей противоположности. Собственно, получили выполнение философского закона перехода

$$\sum_i (x_i^0)^2 - \sum_i (x_i^1)^2 = [ch(w)]^2 - [sh(w)]^2 = 1 = const, \quad (12)$$

Если учесть соотношения (5) и (9) с наличием смены принадлежности аргумента за счёт наблюдения из противоположной системы со сменой вычитания на сложение при $\phi = iw$, то в противоположной системе наблюдения получим соотношение:

$$\cos^2(\phi) + \sin^2(\phi) = 1, \quad (13)$$

Таким образом, логику формулы (1) в соответствии с СТО и ОТО Эйнштейна фактически показал Минковский, только он так же, как и другие физики не учёл наличие представления объектов в зависимости от системы наблюдения, исходя из наличия противоположностей в каждом объекте. Минковский фактически представил переход от преобразований

$$(x^0)^2 - (x^1)^2 = const, \quad (7)$$

Далее учитываем, что:

вычитание, но не понял, что это означает связь глобальных противоположностей.

Чтобы обосновать представление последнего уравнения (2) через закономерности по геометрии Минковского, мы должны учесть:

количество в новое качество. Это происходит в силу изменения воздействий для выполнения закона сохранения количества между противоположностями, при сложении в одной противоположности и вычитании в другой противоположности. Иначе, в противном случае, не обеспечить закон сохранения количества между противоположностями, что означает исчезновение одной из них с переходом к однородности. Отсюда, можно прийти к следующему выводу: если сумма значений всех объектов по координате x^0 соответствует $ch(w)$, а по координате x^1 равна $sh(w)$, так как иначе не будет замкнутой системы Мироздания с учётом инвариантной формы, то в этом случае сразу приходим к инвариантной нормированной к единице форме:

$$[sh(w)]^2 = 1 = const, \quad (12)$$

Лоренца через гиперболический косинус и синус к уравнению окружности с заменой за счёт мнимой единицы закономерностей, что, собственно, и позволяет получить тождество по формуле Мироздания (1). Однако он не понял, что, заменив вещественное значение аргумента у функций на то же вещественное значение аргумента, но с атрибутом в виде мнимой единицы, он тем самым поменял систему наблюдения.

Отметим, что представление объектов в зависимости от системы отсчёта (наблюдения) ввёл ещё Эйнштейн, так как в зависимости от системы отсчёта один и тот же объект может рассматриваться с различной энергией.

Разница лишь в том, что мы основываемся на факте связи глобальных противоположностей через скорость света. Аналогичный вывод о зависимости от системы наблюдения следовал и из наличия помимо СТО Эйнштейна из ОТО Эйнштейна, так как в ОТО пространственно-временное искривление рассматривалось относительно скорости, которое реально не наблюдалось в системе отсчёта для скорости в СТО. При этом, как в СТО, так и в ОТО, рассматривалось наличие пространственно-временного искривления в зависимости от скорости. Замкнутость Мироздания на противоположности означает симметрию в выполнении законов физики, а это означает, что мы иначе, чем через скорость представить пространственно-временное искривление не можем. Но если это значение скорости по ОТО не наблюдается в пространстве через проекции по координатам длины, то остаётся единственный вариант, что эта скорость по ОТО выражается в проекции на время. Так как длина и время в противоположностях меняются местами из-за скорости обмена (скорости света), то длина переходит во время, а время переходит в длину, и это уже обозначает скорость от временной проекции в противоположности как реальную величину по координатам длины. Таким образом, единственным выходом из указанного парадокса между СТО и ОТО Эйнштейна является логическое умозаключение, что представление о скорости меняется в зависимости от системы наблюдения в противоположностях. Тогда с учётом перехода на практике корпускулярных свойств в волновые свойства, например, при аннигиляции позитрона и электрона, а также при переходе фотона при столкновении с электроном в дополнительную пару электрона и позитрона, мы сделали вывод, что в противоположностях корпускулярные свойства переходят в волновые свойства, и наоборот. А это означает переход потенциальной энергии в кинетическую энергию, и наоборот. Собственно иного способа взаимосвязи противоположностей попросту нет, так, как если бы при переходе от одной системы наблюдения к другой системе наблюдения не было бы изменений корпускулярных свойств на волновые свойства, и наоборот, то говорить о противоположностях и о корпускулярно-волновом дуализме было бы невозможно. Как говорится, если нет изменений, то, значит, нет и отличий, и мы имеем однородность.

Далее отметим, что вариант, представленный в последнем уравнении (2), соответствует частному случаю движения некоторого объекта со скоростью v_x . Однако при сохранении самого объекта этот вариант также должен подчиняться общему закону Мироздания, иначе распад объекта. Для исключения распада объекта должно быть его такое взаимодействие с окружающей средой (ничего другого для взаимодействия и нет) при котором существует равновесный обмен. Отсюда в (2) на основе величины v_x/c , мы имеем для сохранения движущегося объекта взаимодействие через окружающую среду. Как это будет показано несколько ниже, окружающая среда характеризуется константами электрической и магнитной проницаемости, которые определяются интегральным движением в противоположности с выполнением условия термодинамического равновесия по формуле Планка. Повторим, что иного способа взаимодействия объекта, минуя окружающую среду, не существует. Понятно, что физики тоже не смогли обойти взаимодействия с окружающей средой, но, как всегда, пошли по пути чудес, придумав электромагнитный и электронно-позитронный вакуум.

Далее мы замечаем, что наличие ограничения в скорость света в СТО Эйнштейна у многих физиков также вызывает сомнение, поэтому была выдвинута гипотеза существования тахионов [4, с. 291], частиц, которые движутся со скоростью выше скорости света. Однако физики явно забыли, что, например, бесконечная скорость света (обмена, изменения) означает с точки зрения замкнутой системы на две глобальные противоположности мгновенный ответ действия на противодействие, что исключает изменение объектов во времени. Иными словами, самой теории относительности, с выполнением аналогичных законов физики в разных системах отсчёта по СТО Эйнштейна, в этом случае в принципе быть не может. Понятно, что и нулевое значение скорости света означает отсутствие взаимодействия. Отсюда требование наличия скорости света как константы, так как в противном случае инвариантной формы в разных системах отсчёта не получить и будет вариант, когда объект в одной системе отсчёта должен сохраняться, а в другой системе отсчёта он будет иметь, например, распад, что на практике не наблюдается.

Замкнутость Мироздания на две глобальные противоположности определяет её равенство константе (в противном случае чудеса). И если

Мироздание является константой, то обмен между глобальными противоположностями может проходить только с одной постоянной скоростью с исключением значения бесконечности и нуля. Иначе мироздание автоматически становится закономерностью и, соответственно, не может быть замкнутой величиной. Понятно, что эта константа в скорость света не может меняться в зависимости от системы отсчёта и при переходе в противоположность, так как в этом случае возникает неравенство на величину отличия и это подразумевало бы иные законы взаимодействия, что противоречит симметрии противоположностей на основе закона сохранения количества. Наличие количества, связанного с дискретностью в виде элементарных объектов, определяется необходимостью взаимодействия через обмен между двумя глобальными противоположностями. Если нет реальных дискретных объектов (что определяется в виде количества в математике), то и обмениваться нечем, и нет взаимодействия, а значит, нет существования противоположностей. Поэтому в физике ограничение шага дискретизации константой постоянной Планка исключает полную однородность, которая была бы в случае значения постоянной Планка равной нулю и тогда противоположности в принципе бы не существовали. При этом, необходимость константы в виде постоянной Планка (\hbar) связывают с отсутствием «ультрафиолетовой катастрофы» и ростом энергии, а значит и ростом количества до бесконечности. При замкнутости Мироздания на две глобальные противоположности шаг дискретизации тоже автоматически следует из постоянства скорости обмена. То есть, определить скорость обмена для бесконечно малого объекта не представляется возможным. Отсюда следует известный парадокс математики, при котором быстроногий Ахиллес, при отображении движения через приращения дискретных величин практически до нуля, никогда не догонит неторопливую черепаху, если в начале движения черепаха находится перед Ахиллесом.

Так, задавшись величиной минимального объекта $N_{\text{ нач}}$, и определив его скорость передачи (обмена, изменения) как S , мы при наличии бесконечно малых объектов другой величины всегда можем представить этот объект как $N_{\text{ нач}}=kn$, где n – это еще меньший по величине объект. Соответственно, скорость передачи s для отдельного объекта n должна быть выше в k раз, чтобы обеспечить

взаимодействие со всеми объектами, так как в противном случае получаются объекты без взаимодействия, а значит, их и нет в мироздании. В этом случае при стремлении шага величины дискретизации к нулю нет и предела скорости обмена, которая вырастает до бесконечности. Это противоречит физике необходимости связи длины и времени по СТО и ОТО Эйнштейна с наличием пространственно-временного континуума и приводит к геометрии Эвклида с независимостью координат длины и времени, что исключает и наличие самих объектов. При этом мы напоминаем, что любые изменения у нас связаны с переходом в противоположность, поэтому вариант с движением в одной противоположности, например движение поезда, здесь не подходит, так как в этом случае рассматривается вариант без взаимодействия с противоположностью, то есть отрицается необходимость самих противоположностей. Понятно, что возникает также вопрос о возможности смены значений констант на другие величины, однако он также отпадает в силу того, что глобальные противоположности в мироздании также существуют вечно и их отличие определяется только закономерностями в зависимости от системы наблюдения при сохранении количества, что будет показано несколько ниже.

Отсюда вывод: замкнутость Мироздания на две глобальные противоположности определяет как константы, и значение максимальной скорости обмена (света) и значение минимального шага дискретизации для элементарных объектов, что требует наличие единичных объектов воздействия. При этом константа Мироздания определяется величиной произведения скорости обмена на шаг дискретизации с равенством единице.

В противном случае были бы единичные элементы, которые не участвуют в обмене, а значит, независимы от процессов в мироздании. Такая независимость означает отсутствие взаимодействия, а взаимодействие означает обмен. Поэтому, если единичный объект не принимает участие в обмене, то он и не взаимодействует, и значит, независим. Но участие в обмене определяется скоростью. Поэтому скорость обмена должна быть такова, чтобы изменению подверглись все единичные элементы мироздания. А иначе неохваченные элементы автоматически становятся независимыми.

Отсюда получаем: произведение скорости света (c) на величину постоянной Планка (h) определяет значение константы нашего мироздания по взаимодействию:

$$hc = 1 = \text{const}, \quad (14)$$

Данная формула для констант аналогична требованию инвариантности по формуле, полученной из преобразований Лоренца в СТО Эйнштейна с наличием обратно-пропорциональной связи в динамике взаимодействия, где в качестве противоположностей выступают длина и время:

$$lt = l_0 [1 - (v/c)^2]^{1/2} \tau_0 / [1 - (v/c)^2]^{1/2} = \text{const}, \quad (15)$$

Здесь мы имеем следующую логическую цепочку. Замкнутость мироздания определяет постоянство скорости обмена при взаимодействии, что приводит и к наличию минимального шага дискретизации. Так как взаимодействие возможно только в случае обмена, то исключить независимость отдельных элементов можно только тогда, когда общий количественный обмен, который и характеризует энергию взаимодействия, определяется по формуле произведения скорости света и постоянной Планка!

Понятно, что данные утверждения должны соответствовать формулам для физических явлений, поэтому отметим, что необходимость связи скорости света с постоянной Планка уже была введена до нас в физике как постоянная тонкой структуры [5, с. 341]:

$$\alpha_{\text{пст}} = 2\pi q^2/(hc) = 2\pi/137 = \text{const}, \quad (16)$$

Разница лишь в нормировке связанная с системой измерения. Её можно пересчитать, если учесть, что заряд q по теории Дирака [6, с. 349] можно считать равным плюс или минус единице, так как заряда нет в формуле энергии Эйнштейна, и его роль сводится к представлению операции излучения или поглощения, то есть не количества, а действия –

$$\begin{aligned} v_1^2 &= c^2(1 - v^2/c^2); \\ v_1^2/(1 - v^2/c^2) &= c^2; \\ 1/(1 - v^2/c^2) &= c^2/v_1^2; \\ 1/[c^2(1 - v^2/c^2)] &= 1/v_1^2, \end{aligned} \quad (20)$$

Последнее уравнение по виду аналогично уравнению преобразований Лоренца. И отсюда мы также можем получить соответствие с

$$\begin{aligned} m_0^2/(1 - v^2/c^2) &= m^2, \\ m &= m_0/(1 - v^2/c^2)^{1/2}, \end{aligned} \quad (21)$$

Если умножить оба члена указанного последнего уравнения на одинаковую величину $c^2=c/h=N_{\text{об}}$, то получим формулу энергии Эйнштейна в виде $E = mc^2$. Значение $N_{\text{об}}$

закономерности. Отсутствие значения заряда в формуле энергии Эйнштейна означает и отсутствие у заряда силового воздействия, так как нет энергии для этого. Ещё раз отметим, что придумать иной принцип взаимодействия помимо обмена – невозможно, а обмен обязательно характеризуется скоростью и величиной шага дискретизации. Собственно, и физики не смогли обойтись без взаимодействия, но придумали для этого виртуальные фотоны и гравитоны. Помимо этого, надо ещё раз отметить, что произведение скорости обмена (света) на шаг дискретизации (постоянная Планка) имеет значение, равное единице, в противном случае либо скорость обмена, либо шаг дискретизации имеют иную величину. Одновременно из формулы (14) следует необходимость и ограничение числа объектов в Мироздании по формуле:

$$N_{\text{об}} = c/h = \text{const}, \quad (17)$$

Фактически это означает, что ни один объект не может войти или выйти из замкнутой на две глобальные противоположности системы Мироздания.

Понятно, что замкнутая система Мироздания и определяет законы физики. Поэтому покажем, как на основе закона окружности получается известная формула энергии Эйнштейна. Отсюда при условии сохранения объекта (замкнутая система обмена) динамика взаимодействия противоположных частей объекта, с учётом наблюдения из одной выбранной противоположности, будет выглядеть с учётом максимальной скорости обмена в виде:

$$v^2 + v_1^2 = c^2 = \text{const}, \quad (18)$$

Перепишем полученное уравнение с учётом переноса:

$$v_1^2 = c^2 - v^2, \quad (19)$$

Далее произведем следующие преобразования:

уравнением энергии Эйнштейна, если сделать замену переменных и считать, что $m=1/v_1$, а $m_0=1/c$. В итоге имеем:

определяет общее количество элементарных объектов в мироздании при обмене и их взаимосвязи через скорость света. Соответственно мы видим, что энергия и масса выступают как

противоположности, связанные обратно-пропорциональной связью, и фактически они заменяют соотношение неопределённостей

$$\begin{aligned}
 m^2 &= m_0^2 c^2 / (c^2 - v^2), \\
 m^2 c^2 - m^2 v^2 &= m_0^2 c^2, \\
 m^2 c^4 &= m_0^2 c^4 + c^2 m^2 v^2, \\
 (m^2 c^4)^{1/2} &= (m_0^2 c^4 + c^2 m^2 v^2)^{1/2}, \\
 E &= \pm c(m_0^2 c^2 + P^2)^{1/2},
 \end{aligned} \tag{22}$$

Это означает, что из преобразований Лоренца, которые тоже связаны с формулой окружности, получается и уравнение энергии Эйнштейна. Учитывая, что в формулу Эйнштейна входят только две переменные величины, которые дают замкнутую систему по формуле окружности, то они и являются противоположностями друг для друга (аналогично длине и времени, которые связаны через скорость света, что было впервые сделано Минковским в [3, с. 226]), то есть могут преобразовываться только друг в друга. Отсюда следует, что указанные величины как противоположности не могут выражаться через один и тот же вид. Иначе такое преобразование ничем не зафиксируется в силу отсутствия различий между противоположностями. Однозначная связь скорости света и величины постоянной Планка, в виде $ch=1$, с учётом требования смены представления объектов в противоположных системах наблюдения, означает необходимость записи переменных в виде $m_0=h=1/c$. То есть минимальная масса определяется минимально возможной величиной постоянной Планка, и эта величина должна выражаться в виде значения одной из противоположностей. В противном случае была бы независимость от обмена. Повторим, что аналогичный вариант, из-за однозначной связи также следует из предложения физиков в системе измерения СИ в виде постоянной тонкой структуры $\alpha = e^2/(\hbar c) = 1/137$. Однако, в варианте физиков нарушается необходимость взаимодействия с охватом всех частиц Мироздания через значение скорости обмена (скорости света). Таким образом, мы элементарную минимальную массу объекта представляем в виде величины, связанной с величиной постоянной Планка, так как Мироздание оперирует в реальности количеством в виде объектов минимальной величины и закономерностями. То есть Мироздание ничего не знает о системах измерения массы (например, в килограммах), придуманных людьми. Отметим, что системы измерения, придуманные людьми, приводят к парадоксам в виде чёрных дыр (система измерения

Гейзенберга в детерминированном виде. Можно представить энергию Эйнштейна и в ином виде:

СИ) и обоснования вакуума как пустоты, подчинённой геометрии Эвклида (система измерения СГС, где в классических уравнениях Максвелла исключаются константы электрической и магнитной проницаемости для характеристики пространства и времени как объектов). Выбор дискретной величины для массы покоя равной постоянной Планка означает, что электрон и позитрон – это минимальные дискретные корпуккулярные объекты и их изменение связано только с переходом в противоположность в результате аннигиляции, а не распада на ещё более мелкие корпуккулярные объекты. Соответственно в системе Мироздания, если одна переменная величина выражает скорость v , то второй изменяемой переменной остаётся роль массы и при этом $v_1=1/m$. В противном случае определить наличие противоположностей невозможно, если вид объектов в противоположностях сохраняется. Так как операция сложения при инвариантной форме, за счёт переноса значения v^2 , из левой части уравнения (18) от знака равенства в правую часть от знака равенства в (19), приводит к смене суммы на разность, то для соблюдения инвариантной формы в виде тождества необходимо сменить и закономерности. В противном случае в математике возникают решения с делением на ноль и бесконечными значениями. *Именно этим логика физики отличается от логики математики.* Другими словами, мы переходим из рассмотрения процесса в волновом виде к корпуккулярному виду, и сложение в одной противоположности должно отображаться вычитанием в другой противоположности. Таким образом, замкнутые преобразования по СТО Эйнштейна требуют наличия разных систем наблюдения от длины и времени с переходом этих величин друг в друга в зависимости от системы наблюдения и сменой закономерностей.

Надо отметить, что использование при математических расчётах смены системы наблюдения применил интуитивно и Бор при вычислении радиуса движения электрона по орбите вокруг протона. При этом он использовал уравнение гармонического осциллятора, которое

(при нормировке на nhf) отражает уравнение окружности в виде [7, с. 58-59].

$$p^2/(2m_0) + m_0(r2\pi f)^2/2 = nhf, \quad (23)$$

Суть необходимости использования уравнения гармонического осциллятора для

$$\begin{aligned} m_0v^2 &= hf; \\ m_0(r_02\pi f)^2 &= hf; \\ m_0(2\pi fr_0)^2 &= m_02\pi f\omega r_0^2 = m_02\pi fvr_0 = 2\pi f\hbar; \\ m_0vr_0 &= \hbar, \\ vr_0 &= hc/(2\pi) = 1/(2\pi), \end{aligned}$$

При определении первой орбиты водорода Бор фактически использовал смену системы наблюдения за счёт формулы $m_0vr_0 = \hbar$ при замене импульса на радиус орбиты. Иными словами, он сделал пересчёт кинетической энергии в потенциальную энергию

$$\begin{aligned} m_0v^2/r_0 &= m_0^2v^2r_0^2/r_0^3 = \hbar^2/r_0^3 = m_0q^2/r_0^2; \\ r_0 &= \hbar^2/(m_0q^2), \end{aligned}$$

Однако парадокс, допущенный Бором в том, что своим постулатом по дискретным орбитам он исключил излучение при движении электрона на дискретных орбитах, в то время как уравнение гармонического осциллятора именно основано на излучении, в виде значения nhf .

Отметим, что с учётом нашей теории разница на 2π , не позволяет представить длину и скорость как противоположности с учётом условия охвата всех объектов Мироздания при взаимодействии. Величина радиуса характеризует систему наблюдение процесса, но не определяет взаимодействие в преобразовании величин. При этом использование радиуса при

$$\begin{aligned} m_0v2\pi r_0 &= 2\pi\hbar; \\ m_0vr &= pr = h; \\ m_0vr &= h = 1/c = m_0; \\ vr &= 1. \end{aligned}$$

В результате изменения по скорости и длине с учётом систем наблюдения и обратно-пропорциональной связи равны. Отсюда никаких нормировочных коэффициентов в этом случае не требуется. Следует отметить, что, так как в среде распространения значение длины окружности отражается через пространственно-временное искривление, так как в противном случае мы имеем геометрию Эвклида без возможности связи по координатам, то в противоположной системе наблюдения это значение играет роль массы, и мы можем записать $r=m=1/v$. Это означает, что скорость в одной системе наблюдения представляется значением массы (длины, отражающей пространственное искривление) в противоположной системе наблюдения. Действительно, если рассматривать массу как нечто отдельное от

объяснения взаимодействия противоположностей с наличием частоты излучения мы покажем несколько ниже. Из (23) Бор получил формулы вида:

(24)

пространственного искривления и тем самым фактически сменил систему наблюдения на противоположную систему с учётом связи через скорость света (при соответствующей нормировке на 2π). Отсюда Бор получил уравнение:

(25)

взаимодействии приводит к парадоксам, как, например, магнитная сила при движении заряда по окружности не может осуществлять работы [8, с. 118-119]. Однако это означает существование силы без затрат энергии по второму закону Ньютона, чего быть не может. Иными словами, использовать неизменное значение радиуса как константы для описания динамики взаимодействия сил нельзя. Отсюда правильная нормировка в динамике взаимодействия соответствует не радиусу, а длине окружности, по которой осуществляется взаимодействие с учётом формул:

(26)

пространственно-временного искривления, то надо придумать механизм (закон) влияния этой массы на изменение пространственно-временное искривление, а его как раз и нет. Следовательно, мы расширили замену, введённую Бором исходя из того, что массы как таковой вне описания пространственно-временного искривления по СТО и ОТО Эйнштейна не существует. Повторим, что в современной физике сейчас господствует представление, что масса – это нечто отдельное и отсюда возможна некая нейтральная масса внутри пространственно-временного искривления среды распространения. При этом придумано даже отдельное взаимодействие через гравитоны. О парадоксах, которые при этом имеют место, мы говорили в [9, с. 5-44].

Далее необходимо вспомнить саму формулу Луи де Бройля [10, с. 63] отражающую корпускулярно-волновой дуализм:

$$\lambda = h/(mv) = h/p, \quad (27)$$

Как мы не раз показывали, эта формула выводится из аргумента волновой функции $\Psi = \exp[-i(Et - Pr)]$, которая отражает условие, где количественные изменения в аргументах функций в противоположностях равны:

$$\begin{aligned} Et - pr &= 0; \\ htf &= pct; \\ \lambda &= c/f = h/p. \end{aligned} \quad (28)$$

С учётом нашей теории для элементарной частицы с массой $m_0=1/c$ мы можем связать частоту и скорость в виде:

$$\begin{aligned} \lambda &= c/f = h/p \\ f &= c^2 p = c^2 m_0 v = cv. \end{aligned} \quad (29)$$

Здесь необходимо отметить, что представление через частоту и скорость относится к противоположным системам наблюдения, связанным через скорость света. Иными словами, мы имеем первоначальную связь через скорость света аналогично связи длины и времени по идею Минковского [3, с. 226]. Из формулы (29) также следует, что представление процесса

$$\begin{aligned} mc^2 &= hf; \\ m_0 c^2 / (1 - v_{\text{пп}}^2/c^2)^{1/2} &= hf; \\ c^2 / (1 - v_{\text{пп}}^2/c^2)^{1/2} &= f; \\ c^2/f &= (1 - v_{\text{пп}}^2/c^2)^{1/2}; \\ c^4/f^2 &= (1 - v_{\text{пп}}^2/c^2); \\ c^4/f^2 + v_{\text{пп}}^2/c^2 &= 1; \\ c^2/v^2 + v_{\text{пп}}^2/c^2 &= 1. \end{aligned} \quad (30)$$

Таким образом, мы вновь приходим к уравнению окружности, то есть замкнутой системы на две противоположности, где в общей системе наблюдения скорости от противоположностей выражаются в обратно-пропорциональной зависимости. Как будет показано несколько ниже, такой же вид получается и в случае взаимодействия электрических и магнитных составляющих, что говорит о симметрии законов в противоположностях.

Таким образом, из нашей теории Мироздания следуют законы физики, которые показывают связь скорости, массы, частоты исходя из наличия противоположностей, замкнутых друг на друга с наличием обмена между ними. Собственно, чтобы оправдать связь массы покоя с частотой, Луи де Бройль постулировал существование волнового поля:

$$\Psi(t, r) = \Psi_0 \exp(i\phi) = \Psi_0 \exp(i\omega_0 t), \quad (31)$$

Не зная, что собой физически представляет это волновое поле, физики стали

$$\begin{aligned} \Psi(t, r) &= \Psi_0 \exp(i\phi) = \exp(-\phi) \exp(i\phi) = \exp(-\phi) \exp(i\omega_0 t) = \\ &= [ch(\phi) - sh(\phi)] \exp(i\omega_0 t). \end{aligned} \quad (32)$$

Это означает, что объект отображается в одной противоположности пространственно-временным искривлением, а в другой

и физических величин также зависит от системы наблюдения. Теперь вспомним известную формулу Луи де Бройля для описания «волн материи» по которой со всякой неподвижной частицей массой m связан некоторый периодический процесс частоты f [11, с. 216] и учтём ОТО Эйнштейна, а также что по нашей теории $m_0=1/c=h$:

интерпретировать его как функцию, которая характеризует вероятность. Но мы отметим, что при эксперименте Дэвиссона и Джермера [10, с. 63] с однозначно получаемой верхней формулой (29), случайностей нет, так как при случайностях величины в опыте также были бы случайными. И это как раз исключает связь функции Луи де Бройля со случайными процессами. По сути Луи де Бройль утверждал представление объектов Мироздания в одной противоположности в виде волновых процессов, а в другой противоположности в виде корпускул с массой покоя. Отсюда следует, что способ отражения корпускулярно-волновых свойств, исходя из функции Луи де Бройля (31), с соответствующим представлением значения Ψ_0 по геометрии Минковского [3, с. 226] через экспоненциальную функцию с учётом нижней формулы в (1), может быть представлен в виде:

противоположности – волновым процессом соответствующей частоты. При таком представлении объект имеет корпускулярно-волновое

отображение в обеих противоположностях и за счёт мнимой единицы происходит смена корпускулярного представления на волновое представление, и наоборот. Учитывая необходимость однозначной связи волновых и корпускулярных свойств в каждом объекте Мироздания, с учётом обмена с условием закона сохранения количества, Дирак интуитивно

предложил переход от корпускулярных свойств к волновым свойствам через уравнение энергии Эйнштейна на основе волновых функций Луи де Броиля, которые в (1) формируют общее уравнение Мироздания.

В этом случае первоначальное уравнение энергии Эйнштейна с учётом «линеаризации» имеет вид [12, с. 295-298]:

$$E = c(P^2 + M_0^2 c^2)^{1/2} = c(\sum_k A_k \cdot P_k), \quad (33)$$

Здесь k изменяется от 0 до 3; $P_0 = M_0 c$; $P_1 = P_x$; $P_2 = P_y$; $P_3 = P_z$. Из этой записи при использовании матриц для разложения (33):

$$A_1 = \begin{vmatrix} 0 & 0 & 0 & 1 \\ 0 & 0 & 1 & 0 \\ 0 & 1 & 0 & 0 \\ 1 & 0 & 0 & 0 \end{vmatrix}, A_2 = \begin{vmatrix} 0 & 0 & 0 & -i \\ 0 & 0 & i & 0 \\ 0 & -i & 0 & 0 \\ i & 0 & 0 & 0 \end{vmatrix}, A_3 = \begin{vmatrix} 0 & 0 & 1 & 0 \\ 0 & 0 & 0 & -1 \\ 1 & 0 & 0 & 0 \\ 0 & -1 & 0 & 0 \end{vmatrix}, A_4 = \begin{vmatrix} 1 & 0 & 0 & 0 \\ 0 & 1 & 0 & 0 \\ 0 & 0 & -1 & 0 \\ 0 & 0 & 0 & -1 \end{vmatrix}. \quad (34)$$

Следуют известные уравнения, которые дают систему уравнений Дирака. При этом система уравнений имеет вид:

$$\begin{aligned} (E - M_0 c^2) - c(P_x - iP_y) - cP_z &= 0, \\ (E - M_0 c^2) - c(P_x + iP_y) + cP_z &= 0, \\ (E + M_0 c^2) - c(P_x - iP_y) - cP_z &= 0, \\ (E + M_0 c^2) - c(P_x + iP_y) + cP_z &= 0. \end{aligned} \quad (35)$$

Далее конкретные числовые значения заменяются дифференциальными операторами в виде:

$$\begin{aligned} E &= i\hbar\partial/\partial t, \\ P &= -i\hbar\nabla, \end{aligned} \quad (36)$$

Которые должны воздействовать на волновую функцию Ψ , и которая, в свою очередь, характеризует вероятность. В дифференциальном виде мы получим систему уравнений Дирака:

$$\begin{aligned} \left(i\hbar\frac{\partial}{\partial t} - m_0 c^2\right)\Psi_1 + c\left(i\hbar\frac{\partial}{\partial x} + \hbar\frac{\partial}{\partial y}\right)\Psi_4 + ci\hbar\frac{\partial}{\partial z}\Psi_3 &= 0; \\ \left(i\hbar\frac{\partial}{\partial t} - m_0 c^2\right)\Psi_2 + c\left(i\hbar\frac{\partial}{\partial x} - \hbar\frac{\partial}{\partial y}\right)\Psi_3 - ci\hbar\frac{\partial}{\partial z}\Psi_4 &= 0; \\ (i\hbar\frac{\partial}{\partial t} + m_0 c^2)\Psi_3 + c(i\hbar\frac{\partial}{\partial x} + \hbar\frac{\partial}{\partial y})\Psi_2 + ci\hbar\frac{\partial}{\partial z}\Psi_1 &= 0; \\ (i\hbar\frac{\partial}{\partial t} + m_0 c^2)\Psi_4 + c(i\hbar\frac{\partial}{\partial x} - \hbar\frac{\partial}{\partial y})\Psi_1 - ci\hbar\frac{\partial}{\partial z}\Psi_2 &= 0. \end{aligned} \quad (37)$$

Понятно, что при «линеаризации» Дирак не опирался на реальные физические процессы для получения уравнения энергии Эйнштейна

вида (33) и использовал функции, которые характеризуют вероятность вида:

$$\Psi(t, r) = \exp[-i/\hbar[(Et - Pr)] = \exp[-i/\hbar(Et - P_x x - P_y y - P_z z)], \quad (38)$$

Такой вид соответствует функции Луи де Броиля для объектов Мироздания в отдельном замкнутом виде. Так как постоянная Планка \hbar присутствует при дифференцировании во всех

членах, то её можно исключить из дальнейшего рассмотрения. Соответственно имеем вид функций при движении частицы без наличия внешних сил:

$$\Psi(t, r) = \exp[-i[(Et - Pr)] = \exp[-i(Et - P_x x - P_y y - P_z z)], \quad (39)$$

При выражении одних функций через другие, с учётом дифференцирования для свободной частицы без внешнего электромагнитного поля, получаем:

$$\begin{aligned} (E - M_0 c^2)\Psi_1 &= c(P_x - iP_y)\Psi_4 + cP_z\Psi_3, \\ (E - M_0 c^2)\Psi_2 &= c(P_x + iP_y)\Psi_3 - cP_z\Psi_4, \\ (E + M_0 c^2)\Psi_3 &= c(P_x - iP_y)\Psi_2 + cP_z\Psi_1, \\ (E + M_0 c^2)\Psi_4 &= c(P_x + iP_y)\Psi_1 - cP_z\Psi_2. \end{aligned} \quad (40)$$

Далее выражаем одни функции через другие:

$$\begin{aligned}\Psi_1 &= [c(P_x - iP_y)\Psi_4 + cP_z\Psi_3]/(E - M_0c^2), \\ \Psi_2 &= [c(P_x + iP_y)\Psi_3 - cP_z\Psi_4]/(E - M_0c^2), \\ \Psi_3 &= [c(P_x - iP_y)\Psi_2 + cP_z\Psi_1]/(E + M_0c^2), \\ \Psi_4 &= [c(P_x + iP_y)\Psi_1 - cP_z\Psi_2]/(E + M_0c^2),\end{aligned}\quad (41)$$

На следующем этапе подставляем одни функции вместо других и сокращаем подобные члены:

$$\begin{aligned}\Psi_1 &= c^2[P_x(P_x\Psi_1 + iP_y\Psi_1 - P_z\Psi_2) - iP_y(P_x\Psi_1 + iP_y\Psi_1 - P_z\Psi_2) + \\ &\quad + P_z(P_x\Psi_2 - iP_y\Psi_2 + P_z\Psi_1)]/[(E - M_0c^2)(E + M_0c^2)], \\ \Psi_1 &= c^2(P_x^2\Psi_1 + iP_xP_y\Psi_1 - P_xP_z\Psi_2 - iP_yP_x\Psi_1 + P_y^2\Psi_1 + iP_yP_z\Psi_2 + \\ &\quad + P_zP_x\Psi_2 - iP_zP_y\Psi_2 + P_z^2\Psi_1)/ (E^2 - M_0^2c^4), \\ (E^2 - M_0^2c^4)\Psi_1 &= c^2(P_x^2\Psi_1 + P_y^2\Psi_1 + P_z^2\Psi_1)\end{aligned}\quad (42)$$

Сокращая на волновую вероятностную функцию Ψ_1 , получаем уравнение энергии Эйнштейна для взаимодействующих противоположных частиц:

$$\begin{aligned}E^2 &= m_0^2c^4 + c^2(P_x^2 + P_y^2 + P_z^2); \\ E &= \pm[m_0^2c^4 + c^2(P_x^2 + P_y^2 + P_z^2)]^{1/2}.\end{aligned}\quad (43)$$

Аналогичный результат мы имеем и для других волновых функций.

Однако следует отметить, что полученный вид через систему уравнений Дирака для

движущихся корпускулярных частиц не соответствует уравнению Гамильтона – Яакби, которое следует из второго закона Ньютона:

$$\begin{aligned}F = ma &= md^2s/dt^2 = mdv/dt; \\ E = \int Fds &= \int Fvdv = \int mvdv = mv^2/2 = p^2/(2m).\end{aligned}\quad (44)$$

На следующем этапе по классической физике берётся некая функция действия $S(r, t)$ с учётом равенств $\nabla S = p$ и $\partial S / \partial t = -E$. В результате имеем уравнение Гамильтона – Яакби без внешнего поля:

$$-\partial S(r, t) / \partial t = [1/(2m_0)][\nabla S(r, t)]^2, \quad (45)$$

И в том и другом случае мы имеем движущуюся частицу без воздействия внешних сил, но законы разные, и это означает неоднозначность и парадокс. Поэтому надо показать причину такого различия и с этой целью учтём, что уравнение Гамильтона – Яакби при наличии внешнего поля приобретает вид:

$$-\partial S(r, t) / \partial t = [1/(2m_0)][\nabla S(r, t)]^2 + U(r), \quad (46)$$

Далее покажем связь данного уравнения с уравнением гармонического осциллятора, но при этом считаем, что сила притяжения потенциального поля равна силе отталкивания. При этом напомним, что гармоническим осциллятором называют частицу, совершающую одномерное движение под действием квазиупругой силы $F = -kx$ [13, с. 90]. Потенциальная энергия такой частицы имеет вид:

$$U = kx^2/2, \quad (47)$$

Собственная частота классического гармонического осциллятора при массе частицы m_0 равна:

$$\omega = (k/m_0)^{1/2}, \quad (48)$$

Далее получим формулу для потенциальной энергии частицы в виде:

$$U = m_0\omega^2x^2/2, \quad (49)$$

После взятия производных в (45) мы имеем уравнение:

$$E = p^2/(2m_0) + U(r) = p^2/(2m_0) + m_0(r2\pi f)^2/2, \quad (50)$$

Понятно, что движение с ускорением связано с излучением, одновременно для получения стабильного объекта необходимо и поглощение, что было замечено Эйнштейном для описания фотоэффекта в его уравнении вида [14, с. 36]:

$$hf = p^2/(2m_0) + A(r), \quad (51)$$

Отсюда с учётом равенства поглощения и излучения для наличия соблюдения закона сохранения количества между противоположностями при $E = hf$ получаем формулу гармонического осциллятора в виде (23). Однако далее, исходя из получения зависимости $m_0v^2 = hf$ в (24) необходимо обосновать замену потенциальной энергии $m_0(r2\pi f)^2/2$ на кинетическую энергию $p^2/(2m_0)$, и наоборот. Собственно такую замену мы обосновали в [9, 5-44; 15, с. 32-56], здесь мы только укажем, какие противоречия помешали учёным прийти к необходимому результату и как они должны были быть решены с учётом правил, применённых самими физиками. Для этого более детально рассмотрим используемое в квантовой механике уравнение Шредингера, которое фактически связывает корпускулярные свойства с волновыми свойствами с учётом закона сохранения количества. При этом мы учитываем, что уравнение Шредингера без учёта внешних сил будет иметь вид [16, с. 30-31]:

$$(-\hbar/i)\partial\Psi/\partial t + [\hbar^2/(2m_0)]\nabla^2\Psi = 0, \quad (52)$$

Собственно Шредингер попытался объединить чисто корпускулярное уравнение Гамильтона – Якоби на основе второго закона Ньютона с присутствием волновых свойств. В этом случае должно быть равенство корпускулярных и волновых свойств для одного и того же уравнения, что было выполнено для случая в системе уравнений Дирака. При этом волновые функции по синусу и косинусу при подстановке в уравнение Гамильтона – Якоби при взятии первой и второй производных не обеспечивают равенство. Поэтому Шредингер был вынужден использовать комплексную волновую функцию Луи де Броиля по формуле (38) с нормировкой на постоянную Планка и умножением первой производной от функции по времени на мнимую единицу. Соответственно, возведение в квадрат первой производной от функции по длине он заменил интуитивно двойным дифференцированием этой функции. В итоге

$$\begin{aligned} \nabla\Psi &= (i/\hbar)(\nabla S)\Psi; \\ \nabla^2\Psi &= (-1/\hbar^2)(\nabla S)^2\Psi + (i/\hbar)(\nabla^2S)\Psi; \\ \partial\Psi/\partial t &= (i/\hbar)(\partial S/\partial t)\Psi, \end{aligned} \quad (54)$$

Так как волновая функция Ψ входит во все члены лишь множителем, то её можно сократить, тогда получим:

$$-\partial S/\partial t = [1/(2m_0)](\nabla S)^2 - [i\hbar/(2m_0)](\nabla^2S), \quad (55)$$

В предельном случае физики полагают, что при величине $\hbar \rightarrow 0$, мнимая составляющая пропадает и данное уравнение переходит в уравнение Гамильтона – Якоби. Однако надо напомнить, что $2\pi\hbar = const = 1/c$, а это означает, что перехода к уравнению Гамильтона – Якоби просто быть не может, так как нет варианта, при котором $\hbar \rightarrow 0$. А с учётом обратно-пропорциональной связи со скоростью света законов физики как таковых просто быть не может. То есть, при $\hbar \rightarrow 0$, получается однородность, нарушаются законы физики и, соответственно нет и самих противоположностей. Кроме того, в дальнейшем это уравнение (55) с учётом внешнего потенциального поля используется при методе Вентцеля – Крамерса – Бриллюэна (метод ВКБ) [17, с. 60] для сшивания функций на границе раздела с получением в

$$\Psi = exp[-i(Et - pr)/(2h)]$$

Далее мы учтываем, что Дирак любое дифференцирование ещё до нас связал с дополнительным умножением на мнимую единицу по

$$\begin{aligned} E/(2m_0) &= p^2/(2m_0)^2; \\ E &= p^2/(2m_0), \end{aligned} \quad (58)$$

волновой вид комплексной функции позволил получить решение аналогичное тому, какое следовало для уравнения Гамильтона – Якоби от второго закона Ньютона. Совпадение решения для волновой функции с решением для функции для корпускулярной частицы означает возможность сочетания корпускулярных и волновых свойств в одном общем объекте. Но вид уравнений при этом оказался отличающимся. Тогда физики посчитали, что данное уравнение Шредингера должно удовлетворять условию, при котором оно должно в предельном случае переходить в уравнение Гамильтона – Якоби. С этой целью вместо волновой функции $\Psi(r, t) = A_{\text{норм}} \exp[-(i/\hbar)(E - pr)]$ вводят функцию S при помощи соотношения [16, с. 30-31]:

$$\Psi(r, t) = A_{\text{норм}} \exp[-(i/\hbar)S(r, t)], \quad (53)$$

Далее учитывают равенства:

конечном итоге правила квантования Бора – Зоммерфельда, на основании чего оправдывался туннельный эффект с прохождением через потенциальный энергетический барьер, а также наличие нулевой энергии по соотношению неопределённостей Гейзенберга. При этом исчезновение члена с величиной постоянной Планка исключало доказательство всех остальных преобразований. Парадоксы таких решений мы также подробно рассмотрели в [18, с. 5-27].

Надо отметить, что Шредингер был близок к истине, если бы учёл, что основой уравнения Гамильтона – Якоби для совмещения корпускулярных и волновых свойств является закон действия и противодействия для противоположностей. В этом случае должно соблюдаться равенство:

$$-\partial\Psi/\partial t = \nabla^2\Psi, \quad (56)$$

Соответственно это равенство определяет и вид волновой функции Луи де Броиля вида $\Psi = \exp[-i(Et - pr)/(2h)]$:

$$= \exp[-i(Et - pr)/(2m_0)], \quad (57)$$

формулам в (36). Мы лишь в теории мироздания [1, с. 5-37] дали этому логическое обоснование. Отсюда получается решение:

Надо отметить, что в [15, с. 32-56] мы дали логическое объяснение коэффициенту $1/(2h)$ в (57) как величине связи между механическим движением и магнитным моментом (это и отражает необходимость корпускулярно-волнового дуализма любого объекта), и значение $\frac{1}{2}$ связано с тем, что учитывается только одна – магнитная составляющая при связи противоположностей через скорость света. Следует отметить, что величина $1/(2m_0)$ гиromагнитного отношения по нашей теории играет основную

$$\begin{aligned} m_0 v^2/r &= -m_0 q^2/r^2; \\ v^2/r &= -1/r^2; \\ s = r^2 &= -r = -(s)^{1/2}, \end{aligned} \tag{59}$$

При этом мы учитываем, что последнее уравнение в (59) относится к связи противоположностей как аргумента и функции, где представление через значения s соответствуют аргументу волновой функции Луи де Броиля при описании корпускулярного движения частицы. Это означает, что мы будем иметь решение для корпускулярного движения частицы по уравнению Гамильтона – Якоби, если не в нашей системе наблюдения присутствует закон сохранения количества по замкнутому циклу с действием и противодействием. Причём в одной противоположности длина выражается величиной s , а в другой противоположности мы имеем эквивалент в виде $(s)^{1/2}$. Так как разность в противоположности меняется на сумму, то противодействие в одной противоположности означает наличие общего объекта,

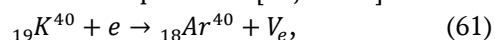
$$\begin{aligned} s &= [(1 - 1/(2m_0c)^2)^{1/2}]^{1/2} = [(1 - 1/(2)^2)^{1/2}]^{1/2} = 0,866; \\ (s)^{1/2} &= \sqrt{[(1 - 1/(2m_0c)^2)^{1/2}]} = [0,866]^{1/2} = 0,93, \end{aligned} \tag{60}$$

Сумма $s+(s)^{1/2}=1,7966$ даёт необходимый коэффициент при вычислении аномального магнитного момента для протона [20, с. 317-318], который при практическом вычислении с учётом влияния внешней среды составил величину 1,79. Так как пространственно-временное искривление для массы протона формируется в противоположности, и именно на этом основании получается аномальный магнитный момент, то соответственно в нашей системе наблюдения этот аномальный магнитный момент, полученный на основе замкнутого действия и противодействия, не зависит от скорости движения протона как, например, дираковский магнитный момент. Далее учтём, что разница теоретического значения с экспериментом на 0,0066 связана с тем, что в (60) учитывается наличие отдельного существования одного атома водорода, а в реальности в эксперименте этого не получить. Для учёта

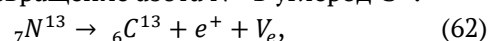
роль в вычислении аномальных магнитных моментов. Действительно, равенство, использованное Бором в формуле (25), соответствует третьему закону Ньютона, когда сила действия при изменениях равна силе противодействия $F_d=-F_{pr}$ [19, с. 56] (по сути, формула (56)). Соответственно, с учётом нашей теории по получению нижней формулы в (26), а также в соответствии с теорией Дирака, уравнение (25) примет вид:

выраженного через действие (силу) в другой противоположности. Соответственно мы учтываем, что пространственно-временное искривление, что характеризуется значением s вызвано движением в противоположности по ОТО Эйнштейна, и определяется при связи волновых и корпускулярных свойств гиromагнитным отношением $1/(2m_0)=c/2$. Отсюда с учётом СТО и ОТО Эйнштейна получаем выражение для коэффициента аномального магнитного момента на основе пространственного искривления которое формируется в противоположностях в виде противодействующих друг другу электрических и магнитных сил в одной противоположности и одной общей суммарной (магнитной) силы в другой противоположности (иначе отличий нет):

аномального магнитного момента нейтрона необходимо учесть, что нейтральность обеспечивается наличием двух противоположных частиц, и коэффициент для аномального магнитного момента нейтрона формируется суммой и разностью, и разностью от них в силу взаимодействия. Так как сложение в одной противоположности означает вычитание в другой противоположности, то результат такого замкнутого взаимодействия $[-s-(s)^{1/2}-(s)^{1/2}+s]=2(s)^{1/2}=-1,86$. Собственно такое предположение связано с процессом реальных изменений с превращением протона в нейтрон и нейтрона в протон по реакциям синтеза и распада. Примером электронного захвата может служить превращение калия K^{40} в аргон Ar^{40} [21, с. 248]:



Обратный процесс можно привести на примере превращение азота N^{13} в углерод C^{13} :



Понятно, что взаимодействие частиц с их превращением в новые частицы осуществляется через окружающую среду, а значит, зависит от её пространственно-временного искривления. Это в корне отличается от концепции физиков, которые пытаются получить нейтрон за счёт кинетической энергии и столкновения протонов в результате преодоления неких ядерных сил. Иными словами, мы видим, что аномальные магнитные моменты связаны с физикой реального процесса пространственно-временного искривления за счёт замкнутого движения в противоположностях. Кроме того, не надо думать, что указанные вычисления для аномального магнитного момента через движение с учётом разного представления объектов в противоположных системах наблюдения – это наши выдумки. Как не хотели физики, но они были вынуждены при описании аномального магнитного момента использовать орбитальное движение виртуальных пи-мезонов [22, с. 240], что, собственно, также определяется связью магнитных свойств с движением через гиromагнитное отношение. Кроме того, они использовали для описания аномальных магнитных моментов мифические кварки и создали противоречие с неоднозначной связью электрических и магнитных сил из-за дробности зарядов при одном и том же магнитном спине. Мы же, исходя из СТО и ОТО Эйнштейна, также ориентируемся на орбитальное движение, но в противоположностях на другом уровне иерархии в соответствующих системах наблюдения. Само изменение представления о взаимодействиях в противоположностях, при переходе от одной системы наблюдения в другую систему, связано с исключением однородности, с учётом изменения разности на сумму (иначе нет различий между противоположностями). Однако использование кварков дало ещё один парадокс, при котором значение магнитного момента кварка невозможно вычислить, так как неизвестно само его происхождение. Поэтому физиками делается очередная подгонка под результат, при которой значение магнитного момента кварка выбирается равной общему значению магнитного момента протона, с учётом, как аномального магнитного момента, так и обычного магнитного момента $\mu_{\text{ядр}}$, то есть $\mu_{\text{общ}} = \mu_{\text{анр}} + \mu_{\text{ядр}} = 2,79\mu_{\text{ядр}} + \mu_{\text{ядр}} = 2,79\mu_{\text{ядр}} = \mu_{\text{кв}}$. В итоге для аномального магнитного момента нейтрона физики получили [23, с. 297]:

$$\mu_{\text{нейт}} = -2/3\mu_{\text{кв}} = (-2/3)2,79\mu_{\text{ядр}} = -1,86\mu_{\text{ядр}}, \quad (63)$$

Собственно полученный коэффициент в (63) совпадает с нашими вычислениями, но при эксперименте получена величина $-1,91$. С точки зрения нашей теории это связано с тем, что условия эксперимента не могут быть идентичными условиям теоретического расчёта из-за влияния окружающей среды. Таким образом, выбор у оппонентов небольшой, либо ориентироваться на чудеса орбитального движения в виде виртуальных частиц (какие при этом размеры орбитали или орбиты тоже не известны), возникающих и исчезающих в ноль, либо рассматривать взаимодействие за счёт движения в зависимости от системы наблюдения, что следует из СТО и ОТО Эйнштейна и нами подробно рассмотрено в [15, с. 32-56].

Однако, теперь попытаемся понять, есть ли возможность перехода от уравнения (56) с волновой функцией Ψ по (57) к корпускулярному движению частицы, как это получилось для системы уравнений Дирака [12, с. 295-298]. Иными словами, мы пытаемся доказать, что уравнение Гамильтона – Якоби не полностью описывает частицу исходя из корпускулярно-волнового дуализма, то есть замкнутой системы. Следовательно, теперь надо разобраться, что, собственно, даёт учёт взаимодействия корпускулярных и волновых свойств, при законе сохранения количества за счёт перехода от возведения в квадрат первой производной функции от длины в уравнении Гамильтона – Якоби к двойному дифференцированию по длине этой же функции. Если волновая функция Ψ имеет вид (57), то мы имеем уравнение Гамильтона – Якоби (58). Однако, если исходить из (53), то здесь учитывается и изменение самого аргумента. То есть уравнение Шредингера может рассматривать процесс во взаимосвязи противоположностей, а не в варианте наличия одной противоположности по волновой функции Ψ с видом (57). При этом должно соблюдаться условие закона сохранения количества, так как объект не исчезает в результате движения.

В нашем случае, функция $S(\mathbf{r}, t)$ отражает изменяемую величину всего аргумента как единого целого, и поэтому мы будем иметь вид без нормировочного коэффициента в виде величины постоянной Планка:

$$\Psi(\mathbf{r}, t) = A_{\text{норм}} \exp[iS(\mathbf{r}, t)], \quad (64)$$

В итоге с учётом правила дифференцирования с умножением на мнимую единицу, предложенного в (36) Дираком, и доказанного в нашей теории [1], получаем равенства:

$$\begin{aligned}\nabla\Psi &= (\nabla S)\Psi; \\ \nabla^2\Psi &= (\nabla S)^2\Psi + (\nabla^2 S)\Psi; \\ \partial\Psi/\partial t &= -(\partial S/\partial t)\Psi,\end{aligned}\tag{65}$$

С учётом (64) и поскольку волновая функция Ψ в результате данного преобразования должна входить во все члены лишь множителем, мы можем её сократить. В итоге получаем:

$$-\partial S/\partial t + \nabla^2 S + (\nabla S)^2 = 0,\tag{66}$$

При учёте волновой функции Ψ вида (64) в одной системе наблюдения

$$\begin{aligned}E/(2m_0) &= p^2/(2m_0)^2] + p^2/(2m_0)^2; \\ E = hf &= p^2/(2m_0)] + p^2/(2m_0) = m_0v^2,\end{aligned}\tag{67}$$

Иными словами, мы показали переход от гармонического осциллятора (23) к верхнему уравнению в (24) на основе полного уравнения Гамильтона – Якоби с учётом сил в виде потенциальной энергии (которое и определяет уравнение гармонического осциллятора), и с изменением аргумента S при функции Ψ . То есть при учёте корпускулярно-волнового дуализма движущегося объекта полное уравнение Гамильтона – Якоби соответствует уравнению гармонического осциллятора, которое также соответствует уравнению окружности. А выше мы также показали, как уравнение окружности переходит в уравнение энергии Эйнштейна, из которого выводится система уравнений Дирака. **Тем самым мы разрешили парадокс неоднозначности, который был между уравнением энергии Эйнштейна и уравнением Гамильтона – Якоби исходя из наличия корпускулярно-волнового дуализма.** Соответственно, если уравнение Гамильтона – Якоби (46) описывает корпускулярное движение частицы в некотором внешнем потенциальном поле, то уравнение (66) описывает условие сохранения самой частицы как корпускулярно-волнового объекта на основе равенства силы действия и противодействия с учётом кинетической и потенциальной энергии. Таким образом, интуитивные подходы физиков, которые использовались при практических расчётах, имеют

$$\begin{aligned}B &= \mu_0 H, \\ D &= \epsilon_0 E, \\ \mu_0\epsilon_0 &= 1/c^2,\end{aligned}$$

Здесь μ_0 и ϵ_0 константы магнитной и электрической проницаемости окружающей среды. В классической электродинамике в системе измерения СИ используется формула для вычисления волнового сопротивления среды в виде [26, с. 299]:

$$E_M/H_M = (\mu_0/\epsilon_0)^{1/2} = 120\pi \approx 377,\tag{69}$$

и волновой функции от аргумента $S = \exp[-i(Et - pr)/(2m_0)]$ в противоположной системе наблюдения, с учётом того, что дифференцирование соответствует условиям Дирака вида (36), мы имеем уравнение:

логическое обоснование по нашей теории с учётом наших поправок на основе того, что уже было предложено самими физиками, но требовало разъяснений.

Однако мы должны отметить, что использованные Шредингером и Дираком волновые функции Луи де Броиля описывались как волновые функции, характеризующие вероятность, и никак не были связаны с реально существующими электромагнитными функциями. Но, так как мы не можем опираться на чудеса вероятностей в замкнутой системе Мироздания, то возникает вопрос: «Как совместить волновые функции Луи де Броиля, которые соответствуют функциям в уравнении (1) с электромагнитными функциями?» Понятно, что в этом случае система уравнений Дирака должна вытекать из законов электродинамики, которые в свою очередь должны следовать из общей формулы Мироздания (1). Подробно описание такого перехода мы показали в [24, с. 5-36]. Сейчас мы уделим особое внимание симметрии преобразований противоположностей при переходе от корпускулярного вида к волновому виду, и наоборот. С этой целью мы попытаемся объяснить необходимость первоначальной формулы, используемой в электродинамике по связи магнитных и электрических полей вида [25, с. 25]:

$$(68)$$

Для системы измерения СГС вообще нет констант электрической и магнитной проницаемости в окружающей среде (вакууме) и таким образом вакуум соответствует геометрии Эвклида. В системе СИ электрическая и магнитная составляющая волны в среде распространения отличаются друг от друга только количественно, и не являются

противоположностями, как, например, длина и время, которые связаны по теории Минковского [3, с. 226] через скорость света. А если отличия только количественные, то это означает, что и законы физики должны быть одинаковые, чего на практике не наблюдается, так как нет никаких магнитных зарядов в пространстве, которые физики безуспешно ищут. Кроме того, отсутствие отличий исключает и взаимодействие, что соответствует противоположностям, так как для величин отличающихся только количественно происходит ассоциативное сложение или вычитание. Это означает парадокс и отсюда следует, что должна быть иная интерпретация констант электрической и магнитной проницаемости, при которой мы имели представление электрических и магнитных составляющих как противоположностей. Учитывая скорость распространения электромагнитных волн со скоростью света, нам остаётся предположить, что электромагнитные составляющие относятся к противоположной системе наблюдения, где выполнение по преобразованиям Лоренца – Минковского соблюдается на основе проекции скорости на время. В этом случае кинетическая энергия электромагнитной волны в противоположной системе

$$\begin{aligned}\mu_0 &= 1/(cu) = 1/[c(c^2 - v_{\text{пп}}^2)^{1/2}]; \\ \varepsilon_0 &= u/c = (1 - v_{\text{пп}}^2/c^2); \\ \mu_0 \varepsilon_0 &= 1/c^2,\end{aligned}\tag{70}$$

В этом случае константы электрической и магнитной проницаемости не имеют аналогичный вид, а это даёт их представление как противоположностей, и поэтому они отличаются на значение c^2 . Понятно, что наличие констант электрической и магнитной проницаемости в окружающей среде должно определять и соответствующие параметры частиц в Мироздании, так как взаимодействие частиц происходит именно через параметры окружающей среды. Поэтому с учётом нашей теории масса протона вычисляется исходя из волнового сопротивления среды распространения с учётом максимума энергии излучения по формуле Планка с учётом коэффициента 4,965 [27, с. 27]. Здесь мы учитываем, что в отличие от системы СИ у нас отношение $(\mu_0/\varepsilon_0)^{1/2} = 120\pi/c$, а не просто число 120π [26, с. 299]. В итоге получаем уравнение для отношения массы протона к массе электрона:

$$m_p/m_0 = 4,965 \times (\mu_0/\varepsilon_0)^{1/2} m_0/m_0 = 1871, \tag{71}$$

$$\begin{aligned}B &= \mu_0 H = H/(cu) = H/[c(c^2 - v_{\text{пп}}^2)^{1/2}] = \mu_0 c E = E/(c^2 - v_{\text{пп}}^2)^{1/2}; \\ D &= \varepsilon_0 E = uE/c = E(1 - v_{\text{пп}}^2/c^2); \\ BD &= [E/(c^2 - v_{\text{пп}}^2)^{1/2}]E(1 - v_{\text{пп}}^2/c^2) = E^2.\end{aligned}\tag{72}$$

наблюдения будет выражаться потенциальной энергией по ОТО Эйнштейна в нашей системе наблюдения через константы электрической и магнитной проницаемости.

Поэтому, нам следует выразить константы магнитной и электрической проницаемости через усреднённое (интегральное) движение частиц, со скоростью (кинетической энергией) в противоположной системе наблюдения $v_t = v_{\text{пп}}$, связанной с нашей системой наблюдения через скорость света. Усреднённое интегральное значение кинетической энергии от противоположности говорит о том, что любая частица в одной противоположности связана с взаимодействием и всеми частицами в другой противоположности. И это тоже не наша выдумка, так как на этом построена идея получения формулы Планка для замкнутой системы с исключением варианта «ультрафиолетовой катастрофы», с использованием закона Больцмана вида $e^{-x}/(1 - e^{-x}) = 1/(e^x - 1)$. По сути, это закон связи между распадом в одной противоположности и синтезом в другой противоположности. Отсюда имеем формулы для констант магнитной и электрической проницаемости в виде:

Некоторое небольшое отличие от практики (1836,1) в числовом значении есть, и оно связано с тем, что наши расчёты выполнены для более общего случая с делением только на протон и электрон. Кроме того, при динамике обмена обязательно должна быть энергия с соответствующей массой для излучения. **Таким образом наша теория позволяет определить и разницу масс между протоном и электроном на основе СТО и ОТО Эйнштейна.** Понятно, что в силу симметрии между противоположностями и замкнутости Мироздания, начальные значения напряжённостей электрических и магнитных полей так же, как и начальные значения длины и времени по геометрии Минковского [3, с. 226] должны быть связаны через скорость света, то есть $H=cE$. Собственно, только в этом случае можно объяснить отсутствие магнитных зарядов в нашей системе наблюдения и отличие законов для силы Кулона и Лоренца.

Иными словами, мы имеем инвариантную форму в нашей системе наблюдения вне зависимости от движения в противоположности согласно ОТО Эйнштейна при представлении через одну общую переменную E , аналогично пространственно-временному искривлению согласно (15) в соответствии с СТО в нашей системе наблюдения. При $E=c$ имеем $E^2=c^2=c/h=N_{06}=const$. Это фактически соблюдение закона сохранения количества объектов при преобразованиях. Кроме того, окружающая среда (вакуум) не может описываться через Эвклидову геометрию, с отсутствием констант электрической и магнитной проницаемости. То есть, любой объект мироздания является корпускулярно-волновым объектом с описанием, как через электромагнитные составляющие, так и через пространство и время, и в этом случае мы имеем общий

$$\begin{aligned} \nabla^2 \dot{\mathbf{E}} + k^2 \dot{\mathbf{E}} &= -\dot{\mathbf{M}}^3; \quad \nabla^2 \dot{\mathbf{H}} + k^2 \dot{\mathbf{H}} = -\dot{\mathbf{M}}^M; \\ -\dot{\mathbf{M}}^3 &= -i\mu_0 \omega \mathbf{j}^{3_ct} + 1/(i\varepsilon_0 \omega) \operatorname{grad} \operatorname{div} \mathbf{j}^{3_ct} - \operatorname{rot} \mathbf{j}^{3_ct}; \\ -\dot{\mathbf{M}}^M &= -i\varepsilon_0 \omega \mathbf{j}^{M_ct} + 1/(i\mu_0 \omega) \operatorname{grad} \operatorname{div} \mathbf{j}^{M_ct} + \operatorname{rot} \mathbf{j}^{M_ct}, \end{aligned} \quad (73)$$

Уравнения в (73) фактически отражают получение волновых процессов на основе источников излучения, которые формируются за счёт изменения (преобразования) сторонних электрических и магнитных токов. Понятно, что преобразование нечто нереального невозможно и отсюда уже должен был следовать вывод, что если данные токи не наблюдаются в нашей системе наблюдения, то должна быть противоположная иная система наблюдения, где эти сторонние токи должны иметь реальное воплощение через движение реальных частиц. Иначе чуда не избежать. Собственно такой вывод уже следовал из СТО и ОТО Эйнштейна, где

$$\begin{aligned} \operatorname{rot} \mathbf{H} &= \partial D / \partial t + i c \partial D_t / \partial r; \\ \operatorname{rot} \mathbf{E} &= -\partial B / \partial t - i c \partial B_t / \partial r; \\ \operatorname{div} \mathbf{B} &= \rho_{m,ct}; \\ \mathbf{B} &= \mu_0 \mu H; \\ \operatorname{div} \mathbf{D} &= \rho_{e,ct}; \\ \mathbf{D} &= \varepsilon_0 \varepsilon \mathbf{E}; \\ j_{3,ct} &= i c \partial D_t / \partial r; \\ j_{M,ct} &= i c \partial B_t / \partial r, \end{aligned} \quad (74)$$

Однако векторное представление не показывает полную схему преобразования по координатам. Поэтому при записи по отдельным

пространственно-временной и электромагнитный континуум с взаимным переходом составляющих друг в друга, что определяется замкнутостью Мироздания. Собственно этот взаимный переход и составляет интерес наших дальнейших исследований с целью выявления, каким образом электромагнитные составляющие при взаимодействии дают корпускулярное движение частиц, и наоборот. Понятно, чтобы получить взаимосвязь корпускулярных и волновых свойств надо иметь представление уравнений электродинамики аналогичное представлению уравнений в системе Дирака. И надо отметить, что некоторое подобие физики получили в классической электродинамике. То есть физики вывели волновые равенства в комплексном виде на основе векторных потенциалов и с взятием производной по времени в [28, с. 39-40]:

время не наблюдалася в пространстве величина превращалась в эквивалент длины в зависимости от скорости, и наоборот. Однако представленный вид уравнений в (73) не соответствует полностью виду (37), который используется для получения корпускулярного движения частицы, поэтому детально этот переход мы показали в [24, с. 5-36]. Здесь мы остановимся лишь на последовательности логики получения указанного перехода с учётом симметрии законов в противоположностях. В соответствии с этим нами были использованы усовершенствованные уравнения Максвелла вида:

координатам для усовершенствованных уравнений Максвелла мы получим вид:

$$\begin{aligned} \partial E_z / \partial y - \partial E_y / \partial z &= \mu_0 (i c \partial H_t / \partial x - \partial H_x / \partial t), \\ \partial E_x / \partial z - \partial E_z / \partial x &= \mu_0 (i c \partial H_t / \partial y - \partial H_y / \partial t), \\ \partial E_y / \partial x - \partial E_x / \partial y &= \mu_0 (i c \partial H_t / \partial z - \partial H_z / \partial t), \\ \partial H_z / \partial y - \partial H_y / \partial z &= \partial D_x / \partial t - i c \partial D_t / \partial x, \\ \partial H_x / \partial z - \partial H_z / \partial x &= \partial D_y / \partial t - i c \partial D_t / \partial y, \\ \partial H_y / \partial x - \partial H_x / \partial y &= \partial D_z / \partial t - i c \partial D_t / \partial z. \end{aligned} \quad (75)$$

Исходя из преобразований противоположностей друг в друга через комплексные функции, существует и комплексно-сопряжённой формы записи, в зависимости от знака у

$$\begin{aligned}\nabla^2 H - 1/c^2 \partial^2 H / \partial t^2 &= \epsilon_0 c i \operatorname{grad}(j_{m.ct}) + \epsilon_0 \partial j_{m.ct} / \partial t - \operatorname{rot}(j_{e.ct}); \\ \nabla^2 E - 1/c^2 \partial^2 E / \partial t^2 &= \mu_0 c i \operatorname{grad}(j_{e.ct}) + \mu_0 \partial j_{e.ct} / \partial t + \operatorname{rot}(j_{m.ct}).\end{aligned}\quad (76)$$

Однако в (73) по первым двум уравнениям $\nabla^2 \dot{E} + k^2 \dot{E} = -\dot{M}^3$; $\nabla^2 \dot{H} + k^2 \dot{H} = -\dot{M}^M$ мы имеем источники возбуждения, что соответствует принципу Гюйгенса – Френеля. Причём эти источники возбуждения \dot{M} должны иметь отображение в напряжённостях электрических и магнитных полей с учётом параметров окружающей среды, так как иначе отсутствует

$$\begin{aligned}E &= -i\omega\mu_0 A + (1/i\omega\epsilon_0) \operatorname{graddiv}(A) - \operatorname{rot}(A^M), \\ H &= -i\omega\epsilon_0 A^M + (1/i\omega\mu_0) \operatorname{graddiv}(A^M) + \operatorname{rot}(A).\end{aligned}\quad (77)$$

Соответственно необходимо показать, каким образом решается указанная неоднозначность по нашей теории. С этой целью нам необходимо показать, чем являются векторные потенциалы и сторонние токи по отношению друг к другу. Собственно, и здесь мы не являемся

$$\begin{aligned}-1/\mu_0 \operatorname{rot} \operatorname{rot}(A) &= \epsilon_0 (\nabla\Phi + \partial A / \partial t) / \partial t - j_{e.ct}; \\ -\operatorname{rot} \operatorname{rot}(A) &= \mu_0 \epsilon_0 \nabla(\partial\Phi / \partial t) + \epsilon_0 \mu_0 \partial^2 A^M / \partial t^2 - \mu_0 j_{e.ct}; \\ -\operatorname{rot} \operatorname{rot}(A) - \mu_0 \epsilon_0 \partial^2 A / \partial t^2 &= \mu_0 \epsilon_0 \nabla(\partial\Phi / \partial t) - \mu_0 j_{e.ct}; \\ \nabla^2 A - 1/c^2 \partial^2 A / \partial t^2 &= \operatorname{grad}(1/c^2 \partial\Phi / \partial t + \operatorname{div} A) - \mu_0 j_{e.ct}; \\ \nabla^2 A - 1/c^2 \partial^2 A / \partial t^2 &= -\mu_0 j_{e.ct} = -ce/(ic) = m_0/(1 - v_{\text{пр}}^2/c^2)^{1/2} = m_3.\end{aligned}\quad (78)$$

Это означает, что волновой электромагнитный процесс, отражённый через векторный потенциал в противоположной системе наблюдения определяется процессом пространственно-временного искривления среды распространения уже в нашей системе наблюдения на основе стороннего электрического тока. Это говорит о том, что формирование так называемого фонового излучения по формуле Планка связано с пространственно-временным искривлением окружающей среды на основе констант электрической и магнитной проницаемости, и это противоречит концепции физиков о возникновении и исчезновении виртуальных фотонов в электромагнитном вакууме. Само же пространственно-временное искривление в нашей системе наблюдения связано с корпускулярным движением частиц в противоположной системе наблюдения, и наоборот. Здесь также используется калибровка Лоренца вида $(1/c^2 \partial\Phi / \partial t + \operatorname{div} A) = 0$. При этом мы имеем $-E = \nabla\Phi + \partial A / \partial t$. Это означает, что смена системы наблюдения, о чём говорит смена переменных дифференцирования, приводит к

$$\begin{aligned}\mathbf{B} = \operatorname{rot} \mathbf{A} &= \mu_0 c \mathbf{E} = \mu_0 c (-\nabla\Phi - \partial A / \partial t) = \mu_0 c (-\partial\Phi / \partial r - \partial A / \partial t); \\ -\operatorname{rot} \mathbf{A} &= \mu_0 c (\partial\Phi / \partial r + \partial A / \partial t).\end{aligned}\quad (79)$$

мимой единицы ($\pm i$). В итоге система уравнений (74) дала при подстановке одних уравнений в другие, что отражает взаимодействие, волновые процессы вида:

взаимодействие с возможностью смены направления движения, что на практике не наблюдается. Однако в классической электродинамике [28, с. 39-40] источники возбуждения на основе \mathbf{E} и \mathbf{H} выражаются через векторные потенциалы, а не через сторонние электрические и магнитные токи в виде:

первопроходцами, и эта связь была получена в классической электродинамике в виде уравнения Даламбера, например, на основе электрического стороннего тока с наличием волнового представления векторных потенциалов в виде [29, с. 119]:

тому, что компенсация в одной системе наблюдения означает сумму в другой системе наблюдения. То есть физики уже до нас утвердили правило смены суммы на разность в зависимости от системы наблюдения от противоположностей. При связи $cA = \Phi$, аналогично первональной связи по длине и времени ($r = ct$, по идее Минковского [3, с. 226]) и переходе к единому отображению переменных в одинаковых величинах имеем $1/c^2 \partial\Phi / \partial t + \operatorname{div} A = \partial A / \partial(ct) + \operatorname{div} A = 0$ и $\nabla\Phi + \partial(cA) / \partial(ct) = \nabla\Phi + \nabla\Phi = -E$. Таким образом, то, что является разностью от системы наблюдения от \mathbf{A} , является суммой от системы наблюдения от Φ , которые как противоположности связаны через скорость света.

Теперь надо показать, что уравнения для векторных потенциалов идентичны усовершенствованным уравнениям Максвелла, что характеризует векторные потенциалы как величины, отражающие электромагнитные свойства в противоположности. Это можно сделать с учётом равенств электрических и магнитных полей по уравнениям через векторные потенциалы в виде:

Физики при использовании систем измерения СИ или СГС не могли прийти к наличию такого равенства. Соответственно изменения векторных потенциалов связаны с движением корпускулярных частиц в противоположной системе наблюдения. Именно это и было применено Фейнманом [30, с. 265], но с ошибкой описания векторных потенциалов в той же системе наблюдения, что и электромагнитные составляющие с выводом наличия полей от значения, движущегося и неподвижного заряда, что также применяется и для электромагнитных составляющих. Это означает двойственность образования электромагнитных полей. С одной стороны, зависимость электромагнитных составляющих от заряда, за счёт значений по длине и времени, прямая, а для векторных потенциалов электромагнитные поля зависят от того же заряда, но с взятием производных от длины и времени. В итоге получается парадокс, при котором электрическое поле при изменении формирует само себя, что было показано

$$\begin{aligned}\partial A_z / \partial y - \partial A_y / \partial z &= -\mu_0(i c \partial \Phi_t / \partial x + \partial \Phi_x / \partial t); \\ \partial A_x / \partial z - \partial A_z / \partial x &= -\mu_0(i c \partial \Phi_t / \partial y + \partial \Phi_y / \partial t); \\ \partial A_y / \partial x - \partial A_x / \partial y &= -\mu_0(i c \partial \Phi_t / \partial z + \partial \Phi_z / \partial t).\end{aligned}\quad (80)$$

Здесь $i=(-1)^{1/2}$, которая также впервые была введена нами в уравнения Максвелла и использовалась для комплексных значений электрической и магнитной проницаемости, что мы показали в [24, с. 5-36].

Напомним, что сам принцип наличия противоположной системы наблюдения с преобразованием корпускулярных свойств в волновые свойства, и наоборот, был придуман не нами, а следовал из СТО и ОТО Эйнштейна, в силу того, что Эйнштейн в ОТО фактически ввёл для описания пространственно-временного искривления, для отражения значений скоростей, абсолютную систему отсчёта, связанную с нашей

$$\begin{aligned}\Delta x_1 &= v_x \Delta t / (1 - v_x^2/c^2)^{1/2}; \\ \Delta t_1 &= v_x \Delta x / c^2 / (1 - v_x^2/c^2)^{1/2}.\end{aligned}\quad (81)$$

В итоге Фейнман получил выражение [31, с. 269]:

$$\mathbf{B} = (v/c^2) \times \mathbf{E}, \quad (82)$$

Сравнивая нижнее уравнение (81) с уравнением (82), мы видим отличие (82) от нижнего уравнения (81) в том, что в уравнение (82) входит константа магнитной проницаемости μ_0 ,

нами в [9, с. 5-44]. Отсюда, суть разницы с нашей теорией в том, что в нашем случае результат образования электромагнитных составляющих в нашей системе наблюдения (а это, по сути, источники возбуждения электромагнитных полей) связан с обменным процессом от производных векторных потенциалов в противоположной системе наблюдения. Это достигается за счёт замкнутого движения частиц в виде ротора (по сути, это гармонический осциллятор), и прямолинейном движении частиц (если считать тангенциальную составляющую скорости), где обменный замкнутый процесс связан с преобразованием длины в проекцию на время в соответствии с СТО Эйнштейна, и наоборот. При этом наш подход позволил доказать симметрию представления электромагнитных процессов в противоположных системах наблюдения, при которых усовершенствованные уравнения Максвелла (75) имеют аналогичный вид представления через векторные потенциалы:

через скорость света. Понятно, что скорость, отражающая пространственно-временное искривление по ОТО Эйнштейна, не может представляться через значения по координатам осей в трёхмерном пространстве. Для такой скорости с учётом абсолютной системы отсчёта, связанной с нашей системой наблюдения через скорость света, отображение связано с проекцией на время. Соответствие напряжённостей электромагнитных полей для подчинения СТО и ОТО Эйнштейна физики попытались связать по формуле, которая аналогична формуле связи длины и времени в виде:

которая характеризует состояние среды распространения. Соответственно есть разница и на величину $\mu_0 = 1 / (c u) = 1 / [c(c^2 - v_{np}^2)^{1/2}]$. Отсюда можно сделать следующие преобразования формулы (82):

$$\begin{aligned}
 B &= (v/c^2) \times E, \\
 H &= [v/(\mu_0 c^2)] \times E = v \epsilon_0 \times E = v \times D, \\
 cE &= [(vu/c)] \times E, \\
 c^2 &= v(c^2 - v_{\text{пп}}^2)^{1/2}, \\
 c^4/v^2 &= c^2 - v_{\text{пп}}^2, \\
 c^2/v^2 &= 1 - v_{\text{пп}}^2/c^2, \\
 c^2/v^2 + v_{\text{пп}}^2/c^2 &= 1.
 \end{aligned} \tag{83}$$

Последнее уравнение в (83) соответствует замкнутой системе двух противоположностей по уравнению окружности с учётом обратно-пропорциональной связи. Это совпадает с результатом в (30), которое получено из формулы Луи де Бройля $hf=mc^2$. Иными словами, мы получаем один и тот же закон, что означает симметрию в противоположностях, и соответствует представлению электромагнитных составляющих в одной системе наблюдения как величин длины (массы) и времени (обратно-пропорциональна частоте) в противоположной системе наблюдения.

$$\begin{aligned}
 -1/\epsilon_0 \operatorname{rot} \operatorname{rot}(A^M) &= \mu_0 \partial(\nabla \Phi^M + \partial A^M / \partial t) / \partial t - j_{\text{м.ст}}; \\
 -\operatorname{rot} \operatorname{rot}(A^M) &= \epsilon_0 \mu_0 \nabla(\partial \Phi / \partial t) + \epsilon_0 \mu_0 \partial^2 A^M / \partial t^2 - \epsilon_0 j_{\text{м.ст}}; \\
 -\operatorname{rot} \operatorname{rot}(A^M) - \epsilon_0 \mu_0 \partial^2 A^M / \partial t^2 &= \epsilon_0 \mu_0 \nabla(\partial \Phi / \partial t) - \epsilon_0 j_{\text{м.ст}}; \\
 \nabla^2 A^M - 1/c^2 \partial^2 A^M / \partial t^2 &= \operatorname{grad}(1/c^2 \partial \Phi^M / \partial t + \operatorname{div} A^M) - \epsilon_0 j_{\text{м.ст}}; \\
 \nabla^2 A^M - 1/c^2 \partial^2 A^M / \partial t^2 &= -\epsilon_0 j_{\text{м.ст}} = (-u/c)ce = c(1 - v_{\text{пп}}^2/c^2)^{1/2} = 1/m_3.
 \end{aligned} \tag{86}$$

В результате мы имеем зависимость между сторонними (фактивными) электрическими и магнитными токами вида:

$$\begin{aligned}
 \nabla^2 A - 1/c^2 \partial^2 A / \partial t^2 &= -\mu_0 j_{\text{э.ст.}} = -ce/(uc) = m_0/(1 - v_{\text{пп}}^2/c^2)^{1/2} = m_3; \\
 \nabla^2 A^M - 1/c^2 \partial^2 A^M / \partial t^2 &= -\epsilon_0 j_{\text{м.ст.}} = (-u/c)ce = c(1 - v_{\text{пп}}^2/c^2)^{1/2} = 1/m_3.
 \end{aligned} \tag{87}$$

Это означает, что мы имеем обратно-пропорциональную зависимость между сторонними электрическими и магнитными токами, которая совпадает с обратно-пропорциональной зависимостью для объектов длины и времени по СТО Эйнштейна с соблюдением инвариантности. По сути дела, исходя из значений констант электрической и магнитной проницаемости мы получаем, что в уравнениях волны через векторные потенциалы A и A^M отображаются значения электрической и магнитной индукции в соответствующей системе наблюдения. При этом сторонние электрические и магнитные токи отражают иное представление, чем в системе наблюдения по уравнениям (73), и они фактически отображают значения M^3 и M^M , что означает смену системы наблюдения. Однако отметим вид уравнений (87) не может дать равенства в силу того, что слева от знака равенства присутствует волновая функция, а справа от знака равенства она отсутствует. Это несоответствие было исправлено

При этом в усовершенствованных уравнениях Максвелла присутствует и магнитный сторонний ток. Это также было замечено физиками в [32, с. 36] и *магнитный сторонний ток впервые ввели не мы*. Отсюда был определён векторный потенциал для напряжённости электрического поля вида:

$$E^M = -1/\epsilon_0 \operatorname{rot}(A^M), \tag{84}$$

Одновременно для напряжённости магнитного поля по аналогии должен быть вид:

$$H^M = -\operatorname{grad}\Phi^M - \partial A^M / \partial t, \tag{85}$$

Далее, исходя из уравнения вида $\operatorname{rot} E = -\partial B / \partial t - j_{\text{м.ст.}}$, имеем:

$$\begin{aligned}
 -1/\epsilon_0 \operatorname{rot} \operatorname{rot}(A^M) &= \mu_0 \partial(\nabla \Phi^M + \partial A^M / \partial t) / \partial t - j_{\text{м.ст.}}; \\
 -\operatorname{rot} \operatorname{rot}(A^M) &= \epsilon_0 \mu_0 \nabla(\partial \Phi / \partial t) + \epsilon_0 \mu_0 \partial^2 A^M / \partial t^2 - \epsilon_0 j_{\text{м.ст.}}; \\
 -\operatorname{rot} \operatorname{rot}(A^M) - \epsilon_0 \mu_0 \partial^2 A^M / \partial t^2 &= \epsilon_0 \mu_0 \nabla(\partial \Phi / \partial t) - \epsilon_0 j_{\text{м.ст.}}; \\
 \nabla^2 A^M - 1/c^2 \partial^2 A^M / \partial t^2 &= \operatorname{grad}(1/c^2 \partial \Phi^M / \partial t + \operatorname{div} A^M) - \epsilon_0 j_{\text{м.ст.}}; \\
 \nabla^2 A^M - 1/c^2 \partial^2 A^M / \partial t^2 &= -\epsilon_0 j_{\text{м.ст.}} = (-u/c)ce = c(1 - v_{\text{пп}}^2/c^2)^{1/2} = 1/m_3.
 \end{aligned} \tag{86}$$

Шредингером, который ввёл в квантовой механике умножение на волновую функцию Ψ в [16, с. 30-31] для обеих частей равенства:

$$\nabla^2 \Psi - 1/c^2 \partial^2 \Psi / \partial t^2 = m_0^2 \Psi, \tag{88}$$

Собственно такое изменение имеет объяснение на основе нашей теории, где в уравнениях Максвелла сторонние токи имеют вид производных от волновых функций в виде (74), а само наличие представления объектов через волновые функции связано с необходимостью изменения объектов при условии их сохранения (отсюда экспоненциальный вид функций) на основе наличия корпускулярно-волнового дуализма.

В итоге с учётом смены системы наблюдения на противоположную систему, когда масса и скорость в противоположностях меняются местами (это фактически ввёл Бор с учётом обратно-пропорциональной связи и следует также из нашей теории), при $v_{tm} = (c^2 - v_{\text{пп}}^2)^{1/2}$ имеем вид уравнений:

$$\begin{aligned}
 \nabla^2 A - (1/c^2) \partial^2 A / \partial t^2 &= -\mu_0 j_{\text{э.ст.}} = \mu_0 c A = m_0 A / (1 - v_{\text{пп}}^2/c^2)^{1/2} = m_3 A = A/v_{tm}; \\
 \nabla^2 A^M - (1/c^2) \partial^2 A^M / \partial t^2 &= -\epsilon_0 j_{\text{м.ст.}} = \epsilon_0 c A^M = A^M / (1 - v_{\text{пп}}^2/c^2)^{1/2} / m_0 = A^M / m_3 = v_{tm} A^M.
 \end{aligned} \tag{89}$$

Таким образом, если для формирования магнитного или электрического волнового процесса в нашей системе наблюдения требовалась динамика изменения электрических и магнитных сторонних токов (76), то в противоположной системе наблюдения уже сам сторонний электрический или магнитный ток с учётом (89) выступает источником формирования волновых процессов в противоположности. Иными словами, в одной системе наблюдения сторонние токи в динамике своего изменения (преобразования) формируют источник возбуждения волновых свойств, а в другой системе наблюдения уже сами являются источниками возбуждения волновых процессов. Однако в (89) мы имеем представление векторных потенциалов через первоначальную связь противоположностей через скорость света вида: $cA = A^M$, при этом волновые процессы в противоположности определяются состоянием среды распространения без корпускулярного движения частиц. Поэтому, для случая реального отображения этих векторных потенциалов в

$$\begin{aligned} \nabla^2 A - (1/c^2) \partial^2 A / \partial t^2 &= m_3 A = m_3 (v_g/c^2) A^M; \\ c(\nabla^2 A - 1/c^2 \partial^2 A / \partial t^2) &= m_3 v_g A^M / c; \\ \nabla^2 A^M - (1/c^2) \partial^2 A^M / \partial t^2 &= m_3 v_g A. \end{aligned} \quad (91)$$

При этом для волновых свойств, при скорости движения волны со скоростью света, мы учитываем, что в соответствующей системе наблюдения $A^M = cA$. Данный подход соответствует идеи Луи де Бройля, где волновой процесс в одной противоположности однозначно связан с импульсом движения частицы в другой противоположности с учётом обмена между противоположностями со скоростью света. Это отличается от концепции физиков, где формирование электромагнитного поля связывают с неким электрическим зарядом, который не имеет энергии, так как не входит в уравнение энергии Эйнштейна, что было учтено Дираком ($q = e = \pm 1$). Следовательно, если в случае отображения от системы наблюдения от векторного потенциала A^M мы имели зависимость формирования волнового процесса от константы магнитной проницаемости, выраженной через неподвижное пространственно-временное искривление в виде массы m_3 , то при отображении через векторный потенциал

$$\begin{aligned} \nabla^2 A^M - 1/c^2 \partial^2 A^M / \partial t^2 &= -\epsilon_0 j_{M,ct.} = A^M (1 - v_{np}^2/c^2)^{1/2} / m_0 = A^M / m_3 = v_{tm} A^M = m_g c^2 v_{tm} A; \\ (\nabla^2 A - 1/c^2 \partial^2 A / \partial t^2) &= m_g v_{tm} A. \end{aligned} \quad (93)$$

Таким образом, мы видим, что волновой процесс в одной системе наблюдения формируется за счёт корпускулярного движения в

пространстве и времени в нашей системе наблюдения через корпускулярное движение частиц мы должны иметь их реальное преобразование в соответствии с СТО и ОТО Эйнштейна в зависимости от скорости в нашей системе наблюдения. Иное представление только в виде электромагнитных волн исключает обмен через излучение и поглощение из-за ассоциативного сложения и вычитания. Такое преобразование по аналогии с электромагнитными составляющими в (83) было также введено физиками на основе известной формулы связи векторных потенциалов из электродинамики [33, с. 165]:

$$A = (v_g/c^2) \Phi = (v_g/c^2) A^M, \quad (90)$$

Здесь $\Phi = A^M$. Собственно представление в (90) соответствует описанию движения объектов в нашей системе наблюдения с выполнением СТО Эйнштейна. Отсюда при переходе в систему наблюдения от векторного потенциала A^M имеем для верхнего уравнения (89):

А, мы имеем представление от системы, связанной с наблюдением от времени, в которой масса m_3 уже движется со скоростью v_g . Отсюда сохранение вида объектов при переходе в противоположность, например, только с заменой длины на время, и наоборот, исключало бы возможность взаимодействия и различия объектов за счёт изменения. Действительно представление изменения окружающей среды в противоположностях путём превращения длины на время, и наоборот, даёт однородность без объектов. А это означает отсутствие взаимодействия. Для нижнего уравнения в (89) мы должны учесть, что масса и скорость в противоположностях в соответствии с (26) и (89) меняются местами с учетом обратно-пропорциональной связи ($r = m = 1/v$) и в этом случае мы имеем уравнение (90) в виде:

$$A^M = c^2 A / v_g = m_g c^2 A, \quad (92)$$

Отсюда получаем:

противоположной системе наблюдения, и наоборот. Фактически мы имеем закон, по которому движущийся электрон в одной системе

наблюдения представляется протоном в другой системе наблюдения, за счёт смены скорости на массу, и данные представления частиц определяются на основе составляющих электромагнитной волны в соответствующей системе наблюдения.

Это как раз и говорит о том, что *представление одного и того же объекта зависит от системы наблюдения и этот вывод, кстати, следовал по логике из уравнений, полученных самими физиками*. Наша заслуга лишь в том, что мы учли, что в соответствии с СТО и ОТО Эйнштейна, с учётом связи противоположностей через скорость света, проекция на время переходит в проекцию длины, и наоборот, а это уже означает отображение в реальном виде в пространстве. *Иными словами, то, что в одной системе наблюдения представляется в виде неподвижных объектов длины и времени с отображением через электрические и магнитные сторонние токи в виде пространственно-временного континуума через константы электрической и магнитной проницаемости, в противоположной системе наблюдения выглядит в качестве движущихся объектов длины и времени (противоположные заряды)*. Понятно, что сохранение вида объектов в обеих системах наблюдения исключает преобразование (распад или синтез

$$\begin{aligned} H_0 &= H + H^M = -ci \operatorname{grad} A_t^M - \partial A^M / \partial t + 1/\mu_0 \operatorname{rot} A; \\ E_0 &= E + E^M = -ci \operatorname{grad} A_t - \partial A / \partial t - 1/\epsilon_0 \operatorname{rot} A^M; \\ \mu_0 H_0 &= -c\mu_0 i \operatorname{grad} A_t^M - \mu_0 \partial A^M / \partial t + \operatorname{rot} A; \\ \epsilon_0 E_0 &= -c\epsilon_0 i \operatorname{grad} A_t - \epsilon_0 \partial A / \partial t - \operatorname{rot} A^M. \end{aligned} \quad (94)$$

Анализируя уравнения (73), (89) и (94), мы видим, что вид волновых уравнений (89) и (94), в левой части от знака равенства совпадает при замене сторонних токов на векторные потенциалы. Отличие между сторонними токами и векторными потенциалами касается лишь знаков сложения и вычитания, что может означать смену системы наблюдения на противоположную систему. Отсюда, в соответствии с

$$\begin{aligned} \nabla^2 H - (1/c^2 \partial^2) H / \partial t^2 &= M^M = c\mu_0 H = E/\epsilon_0, \\ \nabla^2 E - (1/c^2 \partial^2) E / \partial t^2 &= E/(c\epsilon_0) = [m_0/(1 - v_{np}^2)]E = m_t E, \\ \nabla^2 E - (1/c^2 \partial^2) E / \partial t^2 &= M^M = c\epsilon_0 E = E/m_t = -\epsilon_0 H. \end{aligned} \quad (95)$$

Полученные уравнения соответствуют соблюдению принципа Гюйгенса-Френеля с

$$\begin{aligned} H &= \exp\{-i[(E)^{1/2}t - (c\mu_0)^{1/2}t - (p)^{1/2}r]\}, \\ E &= \exp\{-i[(E)^{1/2}t - (c\epsilon_0)^{1/2}t - (p)^{1/2}r]\}. \end{aligned} \quad (96)$$

Понятно, что при отсутствии вторичных источников излучения волновые уравнения оказываются полностью независимыми от среды распространения, что не наблюдается на практике. Иными словами, мы видим полное совпадение вида законов для электромагнитных

объектов) с наличием самих противоположностей. *Собственно, мы доказали, что формирование волновых электромагнитных полей связано как с движением корпускулярно-волновых объектов, так и при их представлении в качестве окружающей среды распространения в соответствии с гипотезой Луи де Броиля*. При этом, как мы показали в [24, с. 5-36], что волновые свойства для напряжённостей электрических и магнитных полей получаются также и в результате подстановки усовершенствованных уравнений Максвелла (электронные и мюонные нейтрино и антинейтрино) друг в друга, то есть всё определяется составляющими при взаимодействии.

Необходимость формирования источников возбуждения электромагнитных полей от двух противоположностей, физиками в классической электродинамике была также предложена в виде записи через векторные потенциалы по формулам (77). Иными словами, физики фактически заменили и без нас электрические и магнитные сторонние токи в (73) и (76) на векторные потенциалы. Отличие в том, что по нашей теории без взятия производной по времени источники возбуждения представляются в виде сумм:

необходимостью симметрии между противоположностями для соблюдения закона сохранения количества, а также учитывая идентичность формул для векторных потенциалов и электромагнитных составляющих, что мы показали в [24, с. 5-36], можно сделать и обратную подстановку электромагнитных составляющих в векторные потенциалы. В результате по аналогии с (89) мы получим:

учётом вторичного излучения, в этом случае при $E = cr$ мы имеем решения вида:

составляющих и векторных потенциалов, но с отображением этих законов в противоположностях. При условии закона сохранения количества в объектах при поглощении и излучении, что связано с равенством процессов в противоположностях, выраженных через волновой

электромагнитный вид, и волновой вид через векторные потенциалы, мы можем сделать замену источников возбуждения \mathbf{E} и \mathbf{H} на векторные потенциалы. То есть равный количественный обмен между противоположностями

$$\begin{aligned}
 -\varepsilon_0 c \mathbf{E}_0 &= -\varepsilon_0 \mathbf{H}_0 = -\varepsilon_0 c i \operatorname{grad} \mathbf{A}_t - \varepsilon_0 \partial \mathbf{A} / \partial t - 1 / \operatorname{rot} \mathbf{A}^M; \\
 -\varepsilon_0 \mathbf{H}_0 &= -1 / (\mu_0 c) i \operatorname{grad} \mathbf{A}_t - \varepsilon_0 \partial \mathbf{A} / \partial t - 1 / \operatorname{rot} \mathbf{A}^M; \\
 -c \mu_0 \varepsilon_0 \mathbf{H}_0 &= -i \operatorname{grad} \mathbf{A}_t - c \mu_0 \varepsilon_0 \partial \mathbf{A} / \partial t - c \mu_0 \operatorname{rot} \mathbf{A}^M; \\
 -\mathbf{H}_0 / c &= -i \operatorname{grad} \mathbf{A}_t - 1 / c \partial \mathbf{A} / \partial t - c \mu_0 \operatorname{rot} \mathbf{A}^M; \\
 -\mathbf{H}_0 &= -c i \operatorname{grad} \mathbf{A}_t - \partial \mathbf{A} / \partial t - c^2 \mu_0 \operatorname{rot} \mathbf{A}^M; \\
 -\mathbf{H}_0 &= -c i \operatorname{grad} \mathbf{A}_t - (1/c) \partial \mathbf{A}^M / \partial t - c^2 \mu_0 \operatorname{rot} \mathbf{A}^M; \\
 -c \mathbf{H}_0 &= -c^2 i \operatorname{grad} \mathbf{A}_t - \partial \mathbf{A}^M / \partial t - c^3 \mu_0 \operatorname{rot} \mathbf{A}^M; \\
 -c \mathbf{H}_0 &= -c^2 i \operatorname{grad} \mathbf{A}_t - \partial \mathbf{A}^M / \partial t - (c/\varepsilon_0) \operatorname{rot} \mathbf{A}^M; \\
 \mathbf{A}^M &= c \mathbf{A}; \mathbf{A}_t = \mathbf{A}^M / (c \varepsilon_0); \mathbf{H}_0 = i \mathbf{A}; i = (-1)^{1/2}; \\
 -c \mathbf{H}_0 &= -i(c/\varepsilon_0) \operatorname{grad} \mathbf{A}^M - \partial \mathbf{A}^M / \partial t - (c/\varepsilon_0) \operatorname{rot} \mathbf{A}^M; \\
 -i c \mathbf{A} &= -i(c/\varepsilon_0) \operatorname{grad} \mathbf{A}^M - \partial \mathbf{A}^M / \partial t - (c/\varepsilon_0) \operatorname{rot} \mathbf{A}^M; \\
 \partial \mathbf{A}^M / \partial t - i c \mathbf{A}^M + i(c/\varepsilon_0) \operatorname{grad} \mathbf{A}^M + (c/\varepsilon_0) \operatorname{rot} \mathbf{A}^M &= 0;
 \end{aligned} \tag{97}$$

Для учёта волновых свойств от напряжённости магнитного поля с учётом принципа Гюйгенса – Френеля имеем:

$$\begin{aligned}
 c \mu_0 \mathbf{H}_0 &= -i c \mu_0 \operatorname{grad} \mathbf{A}_t^M - \mu_0 \partial \mathbf{A}^M / \partial t + \operatorname{rot} \mathbf{A}; \\
 c \mu_0 \mathbf{H}_0 &= -(1/c \varepsilon_0) i \operatorname{grad} \mathbf{A}_t^M - \mu_0 \partial \mathbf{A}^M / \partial t + \operatorname{rot} \mathbf{A}; \\
 c^2 \mu_0 \varepsilon_0 \mathbf{H}_0 &= -i \operatorname{grad} \mathbf{A}_t^M - c \varepsilon_0 \mu_0 \partial \mathbf{A}^M / \partial t + c \varepsilon_0 \operatorname{rot} \mathbf{A}; \\
 \mathbf{H}_0 &= -i \operatorname{grad} \mathbf{A}_t^M - 1 / c \partial \mathbf{A}^M / \partial t + \varepsilon_0 \operatorname{rot} \mathbf{A}^M; \\
 c \mathbf{H}_0 &= -c i \operatorname{grad} \mathbf{A}_t^M - \partial \mathbf{A}^M / \partial t + c \varepsilon_0 \operatorname{rot} \mathbf{A}^M; \\
 \mathbf{A}_t^M &= \varepsilon_0 \mathbf{A}^M = \varepsilon_0 c \mathbf{A}; \\
 c \mathbf{H}_0 &= -i c \varepsilon_0 \operatorname{grad} \mathbf{A}^M - \partial \mathbf{A}^M / \partial t + c \varepsilon_0 \operatorname{rot} \mathbf{A}^M; \\
 c \mathbf{H}_0 &= -i c \varepsilon_0 \operatorname{grad} \mathbf{A}^M - \partial \mathbf{A}^M / \partial t + c \varepsilon_0 \operatorname{rot} \mathbf{A}^M; \\
 i c \mathbf{A}^M &= -i \varepsilon_0 c \operatorname{grad} \mathbf{A}^M - \partial \mathbf{A}^M / \partial t + c \varepsilon_0 \operatorname{rot} \mathbf{A}^M; \\
 \partial \mathbf{A}^M / \partial t + i c \mathbf{A}^M + c \varepsilon_0 i \operatorname{grad} \mathbf{A}^M + c \varepsilon_0 \operatorname{rot} \mathbf{A}^M &= 0.
 \end{aligned} \tag{98}$$

Здесь мы учитываем, что напряжённости электрических и магнитных полей – это противоположности к векторным потенциалам, что определяется умножением на мнимую единицу, и такой переход впервые ввели не мы, а было сделано в квантовой механике в виде $x_4 = ict$ или $i\Phi = A_4$ [20, с. 317-318]. Кроме того, в силу противодействия электрической составляющей к магнитной составляющей, мы должны при переходе к общей системе наблюдения сделать замену знаков, так как законы физики, связанные с количественными

$$\begin{aligned}
 \partial \mathbf{A}^M / \partial t - i c \mathbf{A}^M + i(c/\varepsilon_0) \operatorname{grad} \mathbf{A}^M + (c/\varepsilon_0) \operatorname{rot} \mathbf{A}^M &= 0; \\
 \partial \mathbf{A}^M / \partial t + i c \mathbf{A}^M + i c \varepsilon_0 \operatorname{grad} \mathbf{A}^M + c \varepsilon_0 \operatorname{rot} \mathbf{A}^M &= 0.
 \end{aligned} \tag{99}$$

То есть так как объекты сохраняются, то вместо электрических и магнитных сторонних токов можно ввести векторные потенциалы, исходя из идентичности законов в противоположностях. Здесь учитывается, что если для формирования магнитного или электрического волнового процесса в нашей системе наблюдения требовалась динамика изменения электрических и магнитных сторонних токов (76), то в противоположной системе наблюдения уже сам сторонний электрический или магнитный ток с учётом (89) выступает источником формирования волновых процессов в

позволяет привести уравнения в зависимости от одной переменной. Для учёта волновых свойств от напряжённости электрического поля с учётом принципа Гюйгенса – Френеля имеем:

$$\text{[Equation 96 from the text]}$$

изменениями, не могут иметь двузначный вид для одной общей переменной. Собственно, в предпоследнем уравнении в (96) смену знака перед значением ротора ($-c \varepsilon_0 \operatorname{rot} \mathbf{A}^M$) с минуса на плюс можно рассматривать как смену действия на противодействие, или как смену переменных по координатам длины, так как иное в противоположных системах наблюдения означает отсутствие преобразований с влиянием противоположностей друг на друга. Таким образом, мы получаем два уравнения относительно одной переменной \mathbf{A}^M в виде:

противоположности. В силу симметрии законов Мироздания в противоположностях для соблюдения закона сохранения количества это правило распространяется и на векторные потенциалы, а также электромагнитные составляющие.

Таким образом, мы выразили уравнения через векторные потенциалы, с учётом, что, $\mathbf{A}_t = \mu_0 \mathbf{A} = m_0 / (c^2 - v_{np}^2)^{1/2} \mathbf{A}$ и $\mathbf{A}_t^M = \varepsilon_0 \mathbf{A}^M = (1 - v_{np}^2 / c^2)^{1/2} \mathbf{A}^M$. Иными словами, мы учтываем, что векторный потенциал по координате длины отличается от векторного потенциала по координате времени на величину,

связанную с усреднённой интегральной кинетической энергией в противоположности, выраженной через значение скорости $v_{\text{пп}}$ по уравнению вида: $v = u = (c^2 - v_{\text{пп}}^2)^{1/2}$ в соответствии с ОТО Эйнштейна. Здесь аналог для магнитных составляющих $H_t = \mu_0 H$, и аналог для электрических составляющих $E_t = \epsilon_0 E$. Если исходить из известных законов физики, то в уравнениях (98) значение $\partial A^M / \partial t + (c\epsilon_0) \text{rot} A^M$ выражает закон Фарадея, а уравнение $icA^M = c\epsilon_0 i \text{grad } A^M$ соответствует поглощению или излучению в окружающей среде. Однако с точки зрения нашей теории и с целью исключения парадоксов замкнутая система ротора определяет объект в виде константы в противоположности $icA^M = (c\epsilon_0) \text{rot } A^M$, а оставшаяся часть определяет динамику изменения между противоположностями в пространстве и времени в виде $\partial A^M / \partial t + c\epsilon_0 i \text{grad } A^M$ в

соответствии с СТО и ОТО Эйнштейна. Действительно, если допустить, что изменения по времени не приводят к изменениям по длине в соответствии с СТО и ОТО Эйнштейна, то тем самым исключается связь противоположностей и парадоксы с чудесами неизбежны.

В результате мы видим, что уравнения (98) и (99) имеют сходство с видом уравнений из системы Дирака (37), а отсюда естественно возникает мысль, что с целью исключения чудес, необходимо показать замену волновых функций, характеризующих вероятность, на реальные электромагнитные функции, которые однозначно связаны с векторными потенциалами. С этой целью вспомним, что система уравнений Дирака при массе покоя равной нулю $m_0=0$ в квантовой механике переходит в волновые уравнения нейтрино и антинейтрино (рис. 2).

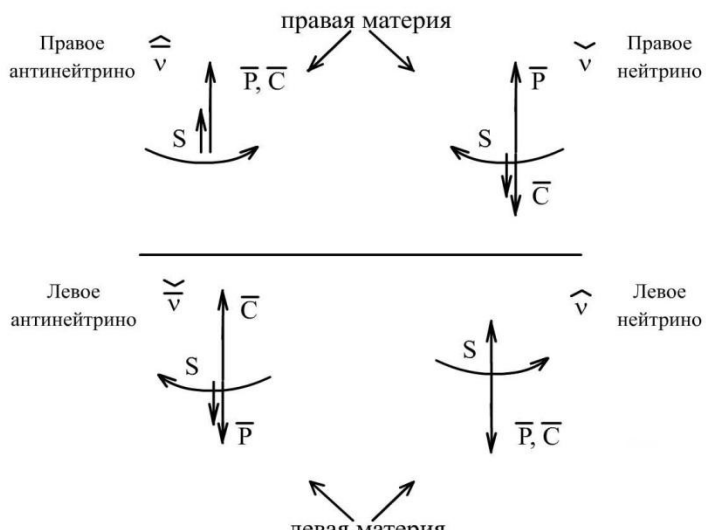


Рис. 2. Нейтрино и антинейтрино

Понятие «материи» не имеет в нашей теории никакого физического обоснования, так как не имеет математического описания с наличием количества, и оно связано с отсутствием понимания учёными происходящих в мироздании процессов. Для описания

нейтрино и антинейтрино используется уравнение с двухрядными матрицами Паули (уравнение Вейеля), либо уравнение Дирака, с расщеплением на два независимых уравнения [34, с. 355]:

$$\begin{aligned}
 i\hbar \frac{\partial}{\partial t} \Psi_1 + c(i\hbar \frac{\partial}{\partial x} + \hbar \frac{\partial}{\partial y}) \Psi_4 + c\hbar \frac{\partial}{\partial z} \Psi_3 &= 0; \\
 i\hbar \frac{\partial}{\partial t} \Psi_2 + c(i\hbar \frac{\partial}{\partial x} - \hbar \frac{\partial}{\partial y}) \Psi_3 - c\hbar \frac{\partial}{\partial z} \Psi_4 &= 0; \\
 i\hbar \frac{\partial}{\partial t} \Psi_3 + c(i\hbar \frac{\partial}{\partial x} + \hbar \frac{\partial}{\partial y}) \Psi_2 + c\hbar \frac{\partial}{\partial z} \Psi_1 &= 0; \\
 i\hbar \frac{\partial}{\partial t} \Psi_4 + c(i\hbar \frac{\partial}{\partial x} - \hbar \frac{\partial}{\partial y}) \Psi_1 - c\hbar \frac{\partial}{\partial z} \Psi_2 &= 0.
 \end{aligned} \tag{100}$$

Так как масса покоя для нейтрино и антинейтрино равна нулю, то отсюда следует вывод об их движении со скоростью света, что

соответствует необходимости представления функций Ψ через электромагнитные составляющие, так как с такой скоростью не могут

двигаться объекты с иным представлением. О связи функций Ψ с вероятностью также речи быть не может из-за постоянства скорости света. При этом, мы видим, что отличий между первой и второй парой в системе (100) только в обозначении функций. При этом мы не можем оставить прежние обозначения функций, отражающих составные объекты, так как при отсутствии массы покоя происходит преобразование из корпускулярного вида в волновой вид. Это конечно подразумевает иное взаимодействие составных объектов, иначе бы не было

$$\begin{aligned} i\hbar \frac{\partial}{\partial t} \Psi_1 - c\hbar \frac{\partial}{\partial y} \Psi_1 + ci\hbar \frac{\partial}{\partial x} \Psi_2 - ci\hbar \frac{\partial}{\partial z} \Psi_2 &= 0, \\ i\hbar \frac{\partial}{\partial t} \Psi_3 - c\hbar \frac{\partial}{\partial y} \Psi_3 + ci\hbar \frac{\partial}{\partial x} \Psi_4 - ci\hbar \frac{\partial}{\partial z} \Psi_4 &= 0. \end{aligned} \quad (101)$$

Сокращение функций до двух (Ψ_1 и Ψ_2 , или Ψ_3 и Ψ_4) означает отсутствие связи через массу покоя, а наличие двух функций в уравнении характеризует необходимость наличия в объекте

$$\begin{aligned} \frac{\partial}{\partial t} \Psi_1 + ic \frac{\partial}{\partial y} \Psi_1 + c \frac{\partial}{\partial x} \Psi_2 - c \frac{\partial}{\partial z} \Psi_2 &= 0, \\ \frac{\partial}{\partial t} \Psi_3 + ic \frac{\partial}{\partial y} \Psi_3 + c \frac{\partial}{\partial x} \Psi_4 - c \frac{\partial}{\partial z} \Psi_4 &= 0. \end{aligned} \quad (102)$$

Иными словами, мы имеем два идентичных уравнения, которые могут только отличаться через функции. Вид уравнений (102) соответствует виду усовершенствованных уравнений

$$\begin{aligned} \Psi_1 = \epsilon_0 E, c\Psi_2 &= H = cE, \\ \Psi_3 = \mu_0 H &= 1/(c\epsilon_0)E, \Psi_2 = c\Psi_4 = E, \\ \frac{\partial}{\partial t} \epsilon_0 E_y + ic \frac{\partial}{\partial y} \epsilon_0 E_t + \frac{\partial}{\partial x} H_z - \frac{\partial}{\partial z} H_x &= 0, \\ \frac{\partial}{\partial t} \mu_0 H_y + ic \frac{\partial}{\partial y} \mu_0 H_t + \frac{\partial}{\partial x} E_z - \frac{\partial}{\partial z} E_x &= 0. \end{aligned} \quad (103)$$

Иными словами, мы получаем физические аналоги реализаций функций Ψ_1 и Ψ_2 , а также Ψ_3 и Ψ_4 , выраженных через реальные электромагнитные составляющие по (75) с учётом констант электрической и магнитной проницаемости, то есть состояния среды. Это означает, что усовершенствованные уравнения Максвелла отражают реальные объекты в виде электронных и мюонных нейтрино и антинейтрино. Собственно, это объясняет эффект аннигиляции электрона и позитрона, которые описываются системой уравнения Дирака с получением фотонов, тем что взаимодействие усовершенствованных уравнений Максвелла даёт электромагнитную волну по (76). Это происходит на основе взаимодействия электронных и мюонных нейтрино (антинейтрино). Кроме того, мы имеем физический смысл различий между электронными нейтрино и мюонными нейтрино за счёт констант электрической и магнитной проницаемости без выдумывания левой и правой материи.

изменений. Собственно изменения касаются перехода от корпускулярного представления (потенциальная энергия) в волновое представление (кинетическая энергия), и наоборот. Это по нашей теории в соответствии с общей формулой Мироздания (1) интерпретируется через смену закономерностей за счёт умножения на мнимую единицу. На основании наших рассуждений с учётом сокращения видов функций Ψ в одном уравнении до двух (Ψ_1 и Ψ_2 , или Ψ_3 и Ψ_4), мы можем представить второе и четвёртое уравнение в системе (100) в виде:

противоположностей. Сократив на постоянную Планка \hbar , и умножив на $(-i)$, что означает переход в противоположную систему наблюдения, мы получим:

Максвелла (75). Следовательно, если исходить из усовершенствованных уравнений Максвелла (75), то для получения идентичности мы можем выразить функции Ψ следующим образом:

При этом наличие антинейтрино вытекает из комплексно сопряжённого представления по уравнениям (75). По сути, можно считать, что в нейтрино за счёт наличия мнимой единицы заложено направление преобразования компоненты напряжённости поля от координаты длины в координату времени. Отрицательный знак мнимой единицы в уравнении характеризует антинейтрино и связан с обратным преобразованием координаты времени в координату длины. Отсутствие мнимой единицы не позволяет получить разницу в делении на нейтрино и антинейтрино в силу того, что смена направления наблюдения относительно движущейся частицы меняет и представление о правовинтовом или левовинтовом вращении.

Если расписать систему уравнений (98) относительно приравнивания к нулю, и с учётом $m_0=1/c$, а также, что $c\epsilon_0 = cu/c = (c^2 - v_{\text{пр}}^2)^{1/2}$, $c\mu_0 = c/(cu) = 1/(c^2 - v_{\text{пр}}^2)^{1/2}$, то мы получим:

$$\begin{aligned}
 \partial A^M / \partial t - i c A^M + i(c/\varepsilon_0) \operatorname{grad} A^M + (c/\varepsilon_0) \operatorname{rot} A^M &= 0; \\
 \partial A^M / \partial t - i c A^M + i(c^2/u) \operatorname{grad} A^M + (c^2/u) \operatorname{rot} A^M &= 0; \\
 \partial A^M / \partial t - i m_0 c^2 A^M + i(c^2/u) \operatorname{grad} A^M + i(c^2/u) \operatorname{rot} A^M &= 0; \\
 \partial A^M / \partial t + i c A^M + c \varepsilon_0 \operatorname{grad} A^M + c \varepsilon_0 \operatorname{rot} A^M &= 0; \\
 \partial A^M / \partial t + i c A^M + i u \operatorname{grad} A^M + u \operatorname{rot} A^M &= 0; \\
 \partial A^M / \partial t + i m_0 c^2 A^M + i u \operatorname{grad} A^M + u \operatorname{rot} A^M &= 0.
 \end{aligned} \tag{104}$$

С учётом умножения на мнимую единицу будем иметь:

$$\begin{aligned}
 i \partial A^M / \partial t + m_0 c^2 A^M - (c^2/u) \operatorname{grad} A^M + (ic^2/u) \operatorname{rot} A^M &= 0; \\
 i \partial A^M / \partial t - m_0 c^2 A^M - u \operatorname{grad} A^M + i u \operatorname{rot} A^M &= 0.
 \end{aligned} \tag{105}$$

В соответствии с системой Дирака (37), мы должны представить уравнения (105) в частных

$$\begin{aligned}
 i \partial A^M / \partial t - m_0 c^2 A^M + i u \partial A^M / \partial x - u \partial A^M / \partial y - i u \partial A^M / \partial z &= 0; \\
 i \partial A^M / \partial t + m_0 c^2 A^M + (ic^2/u) \partial A^M / \partial x - (c^2/u) \partial A^M / \partial y - (ic^2/u) \partial A^M / \partial z &= 0.
 \end{aligned} \tag{106}$$

Понятно, что волновая функция A^M в каждом случае соответствующих производных по координатам длины и времени должна соответствовать волновым функциям Ψ по условию закона сохранения количества при преобразованиях. Действительно видно, что первое уравнение в (106) соответствует волновой функции Ψ_2 , с соответствующими производными по частям во втором, третьем, и четвёртом уравнениях системы Дирака (37). Разница между функциями только в том, что вместо значения в скорость света (c), присутствует величина (u). И это разница связана с тем, что в системе уравнений Дирака на основе волновых функций, характеризующих вероятность, не учитывается состояние окружающей среды, в отличие от электромагнитных функций. Кроме того, при учёте влияния функции Ψ_1 в системе уравнений Дирака, мы должны рассматривать условие смены

$$\begin{aligned}
 \Psi_1 = \{A_{x1}, A_{ty1}, A_{z1}, A_{t1}\}, \Psi_2 = \{A_{x2}, A_{ty2}, A_{z2}, A_{t2}\}, \\
 \Psi_3 = \{A_{x3}, A_{ty3}, A_{z3}, A_{t3}\}, \Psi_4 = \{A_{x4}, A_{ty4}, A_{z4}, A_{t4}\}.
 \end{aligned} \tag{107}$$

При этом волновые функции Ψ Луи де Бройля при соответствии уравнению энергии Эйнштейна имеют вид:

$$\Psi(t, r) = \exp[-i[(Et - Pr)] = \exp[-i(Et - P_x x - P_y y - P_z z)], \tag{108}$$

Далее мы можем расписать уравнения на основе векторных потенциалов аналогично

производных в зависимости аргумента функций по соответствующим переменным в виде:

системы наблюдения на противоположную систему, при котором сумма сменяется на разность, и наоборот. Иными словами, в своей системе уравнений Дирак использовал взаимодействие противоположностей с учётом рассмотрения от соответствующих систем наблюдения при переходе от волновых свойств к корпускулярным свойствам с учётом движения и смене знаков. Таким образом, мы при переходе от Ψ функций к реальным электромагнитным функциям через векторные потенциалы будем использовать те же условия взаимодействия, что применил Дирак. Иными словами, Дирак тоже не обошёлся без представления объектов в зависимости от системы наблюдения. Соответственно замену волновых функций Ψ на векторные потенциалы можно представить в виде:

системе уравнений Дирака (37) с учётом (107) в виде:

$$\begin{aligned}
 i \partial A_{y1}^M / \partial t - m_0 c^2 A_1^M + i u \partial A_{x4}^M / \partial x + u \partial A_{ty4}^M / \partial y + i u \partial A_{z3}^M / \partial z &= 0; \\
 i \partial A_{y2}^M / \partial t - m_0 c^2 A_2^M + i u \partial A_{x3}^M / \partial x - u \partial A_{ty3}^M / \partial y - i u \partial A_{z4}^M / \partial z &= 0; \\
 i \partial A_{y3}^M / \partial t + m_0 c^2 A_3^M + (ic^2/u) \partial A_{x2}^M / \partial x + (c^2/u) \partial A_{ty2}^M / \partial y + (ic^2/u) \partial A_{z1}^M / \partial z &= 0; \\
 i \partial A_{y4}^M / \partial t + m_0 c^2 A_4^M + (ic^2/u) \partial A_{x1}^M / \partial x - (c^2/u) \partial A_{ty1}^M / \partial y - (ic^2/u) \partial A_{z2}^M / \partial z &= 0;
 \end{aligned} \tag{109}$$

Здесь мы учитываем, что взаимодействие компонент векторных потенциалов при преобразовании и переходе от волновых свойств к корпускулярным свойствам меняется, так как

иное означало отсутствие самого взаимодействия. После взятия производных по волновым функциям аналогичным (108) получим вид:

$$\begin{aligned}
 EA_1^M - m_0 c^2 A_1^M - u P_x A_4^M + i u P_y A_4^M - u P_z A_3^M &= 0; \\
 EA_2^M - m_0 c^2 A_2^M - u P_x A_3^M - i u P_y A_3^M + u P_z A_4^M &= 0; \\
 EA_3^M + m_0 c^2 A_3^M - (c^2/u) P_x A_2^M + i (c^2/u) P_y A_2^M - (c^2/u) P_z A_1^M &= 0; \\
 EA_4^M + m_0 c^2 A_4^M - (c^2/u) P_x A_1^M - i (c^2/u) P_y A_1^M + (c^2/u) P_z A_2^M &= 0.
 \end{aligned} \tag{110}$$

С учётом выражения одних функций через другие для свободной частицы без внешнего электромагнитного поля получаем:

$$\begin{aligned} A_1^M &= (uP_xA_4^M - iuP_yA_4^M + uP_zA_3^M)/(E - m_0c^2); \\ A_2^M &= (uP_xA_3^M + iuP_yA_3^M - uP_zA_4^M)/(E - m_0c^2); \\ A_3^M &= [(c^2/u)P_xA_2^M - (ic^2/u)P_yA_2^M + (c^2/u)P_zA_1^M]/(E + m_0c^2); \\ A_4^M &= [(c^2/u)P_xA_1^M + (ic^2/u)P_yA_1^M - (c^2/u)P_zA_2^M]/(E + m_0c^2). \end{aligned} \quad (111)$$

Далее подставляем одни функции вместо других и сокращаем подобные члены:

$$\begin{aligned} A_1^M &= c^2[P_x(P_xA_1^M + iP_yA_1^M - P_zA_2^M) - iP_y(P_xA_1^M + iP_yA_1^M - P_zA_2^M) + \\ &+ P_z(P_xA_2^M - iP_yA_2^M + P_zA_1^M)]/(E - m_0c^2)(E + m_0c^2); \\ A_1^M &= c^2[P_x^2A_1^M + iP_xP_yA_1^M - P_xP_zA_2^M - iP_yP_xA_1^M + P_y^2A_1^M + iP_yP_zA_2^M + \\ &+ P_zP_xA_2^M - iP_zP_yA_2^M + P_z^2A_1^M]/(E - m_0c^2)(E + m_0c^2); \\ (E^2 - m_0^2c^4)A_1^M &= c^2[P_x^2A_1^M + P_y^2A_1^M + P_z^2A_1^M]. \end{aligned} \quad (112)$$

С учётом сокращения на общую волновую функцию A_1^M , имеем энергию в квадрате для частиц с учётом кинетической энергии от противоположности. Для отражения движения без наличия внешних сил, как положительных (позитрон), так и отрицательных (электрон) частиц, имеем формулу энергии Эйнштейна:

$$E = \pm[m_0^2c^4 + c^2(P_x^2 + P_y^2 + P_z^2)]^{1/2}, \quad (113)$$

Таким образом, мы получили переход от волновых свойств к корпускулярным свойствам на основе векторного потенциала \mathbf{A}^M . В итоге уравнение (113) соответствует так называемым заряженным элементарным частицам, которые отражают реально движение объектов длины или времени, что мы показали в [9, с. 5-44; 15, с. 32-56]. Здесь есть формирование на основе движения таких объектов со скоростью v замкнутого волнового процесса, с поглощением и излучением по формуле Луи де Броиля, что соответствует формулам (91) и (93). Иной способ получения корпускулярных свойств помимо движения объектов самой среды распространения дал бы независимость пространства и времени от таких объектов, как это получилось с массой покоя и зарядами у физиков, на основе выбранной и придуманной ими системы измерения СИ или СГС.

Как мы отмечали выше, Мироздание основано на замкнутой системе и в этом случае с учётом необходимости взаимодействия противоположностей мы имеем подчинение процессов уравнению гармонического осциллятора (23), с орбитальным движением элементарной частицы (электрон), характеризующей одну противоположность, относительно противоположной частицы с большей массой покоя (протон). Соответственно в этом случае нас интересует вопрос: «Каким образом можно вычислить отношение радиуса орбиты электрона к самому так называемому радиусу электрона?» Это необходимо сделать потому, что вычисление

боровских орбит без использования системы измерения СИ или СГС только с применением количественных оценок по нашей теории Мироздания даёт парадокс. Так вычисление первой боровской орбиты на основании формулы, применённой Бором (25), даёт по нашей теории с учётом $m_0 = 1/c$ и теории Дирака $q = e = \pm 1$ значение: $r_0 = \hbar^2/(m_0q^2) = h^2c/(4\pi^2) = h/(4\pi^2) < h$. Иными словами, приходим к тому, что первая боровская орбита меньше постоянной Планка.

Поэтому будем определять значение боровских орбит исходя из равенства электрической и магнитной силы, как мы это сделали в [35, с. 10-37]. С этой целью необходимо вспомнить формулу отношения магнитной силы к электрической силе при взаимодействии одинаковых точечных зарядов (e) в виде [8, с. 118-119]:

$$F_M/F_e = v^2/c^2, \quad (114)$$

Такое отношение для врачающегося электрона вокруг протона связано с тем, что мы имеем симметрию в противоположностях, которая обусловлена законом сохранения количества в противоположностях. При этом противоположные частицы в противоположностях имеют одинаковую скорость по отношению к абсолютной системе отсчёта, и если в одной системе наблюдения мы имеем электрон, то в противоположной системе наблюдения он будет интерпретироваться как антипротон, и наоборот. Иное исключает наличие противоположностей и симметрию с учётом закона сохранения количества в мироздании. По (114) отношение магнитной силы определяется значением скорости, а в противоположности это значение длины, характеризующей пространственное искривление, что определяет значение электрической силы и произведение этих величин инвариантно в любой системе координат. В условиях статики это значение в (114)

должно определять отношение радиусов электрона и первой боровской орбиты в противоположной системе наблюдения. С этой целью необходимо иметь преобразование значения скорости в параметр длины среды распространения, аналогично тому, как поступил Бор. При этом соответственно используются значения

$$F_m/F_3 = v^2/c^2 = 1/[(c^2 - v_{np}^2)/c^2] = c^2/u_0^2 = 1/\epsilon_0^2 = \mu_0 c^2/\epsilon_0 = (120\pi)^2, \quad (115)$$

Здесь мы учитываем, что в отличие от системы СИ у нас отношение $\mu_0/\epsilon_0 = (120\pi\hbar)^2 = (120\pi/c)^2$. Это связано с тем, что в системе СИ не учитывается различие констант электрической и магнитной проницаемости на скорость света как противоположностей по аналогии с длиной и временем. Это означает парадокс, так как отличие только количественное. Указанное это отличие, связанное с системами измерения не позволяет характеризовать пространственно-временное искривление среды по СТО и ОТО Эйнштейна. Кроме того, в данном случае длина с учётом последнего уравнения в (26) рассматривается как величина, соответствующая длине окружности, по которой осуществляется взаимодействие. Поэтому, чтобы перейти к отношению радиусов мы должны учесть различие \hbar^2 от \hbar^2 на $(2\pi)^2$, что было учтено и Бором. При этом устойчивое состояние протона достигается за счёт максимума по спектру излучения, которое отличается от среднего значения в соответствии с формулой Планка на коэффициент 4,965. Отсюда отношение радиуса первой боровской орбиты r_{b0} к радиусу электрона r_3 будет определяться в виде:

$$r_{b0}/r_3 = 4,965 \cdot (120\pi)^2/(2\pi)^2 = 17874, \quad (116)$$

В классике квантовой механики также проведены расчёты отношения радиуса первой боровской орбиты к радиусу электрона с учётом единиц измерения. При этом радиус электрона равен величине:

$$r_{3k} = q^2/(m_0 c^2) \approx 2,8 \cdot 10^{-15} \text{ м}, \quad (117)$$

Радиус первой боровской орбиты равен:

$$r_0 = \hbar^2/(m_0 q^2) = 0,529 \text{ \AA} = 5,29 \cdot 10^{-11} \text{ м}, \quad (118)$$

В этом случае имеем:

$$r_0/r_{3k} = 18892, \quad (119)$$

Кроме того, если сделать пересчёт при использовании постоянной тонкой структуры, то получим $r_0 = \hbar^2/(m_0 q^2) = \hbar / (m_0 c a)$ и $r_3 = q^2 \hbar / (m_0 \hbar c^2) = \hbar a / (m_0 c)$. Их отношение даёт значение $r_0/r_3 = 1/\alpha^2 = 18769$.

Иными словами, в классической квантовой механике получается практически аналогичный результат. Однако этот результат получен без учёта параметров среды распространения,

констант электрической и магнитной проницаемости с учётом обратно-пропорциональной связи длины и скорости (последняя формула в (26)). Отсюда формулу (114) с учётом $v^2 = (c^2 - v_{np}^2)$ мы должны представить в виде:

$$F_m/F_3 = v^2/c^2 = 1/[(c^2 - v_{np}^2)/c^2] = c^2/u_0^2 = 1/\epsilon_0^2 = \mu_0 c^2/\epsilon_0 = (120\pi)^2, \quad (115)$$

таких как константы электрической и магнитной проницаемости, что говорит об отсутствии изменения самой среды и его применения как переносчика взаимодействия.

При этом значение заряда $q = e = 1,602176487 \cdot 10^{-19}$ Кл противоречит уравнению энергии Эйнштейна, где под заряд нет энергии и $q = e = \pm 1$. Следовательно, вычисление первой боровской орбиты на основе системы измерения СИ дало хорошие результаты в результате подгонки за счёт выбора соответствующих единиц измерения. В системе СГС константы электрической и магнитной проницаемости вообще равны единице.

Иными словами, среда распространения в системе единиц измерения, утверждёнными физиками, – это некая «однородная» субстанция не подчиняющаяся СТО и ОТО Эйнштейна. Кроме того, введённые искусственно системы измерения СИ и СГС привели в итоге к обоснованию чёрных дыр из-за радиуса Шварцшильда,夸ков и глюонов из-за дробности электрических зарядов, которые выражают энергию взаимодействия.

Таким образом, мы получили не только теоретическое подтверждение связи корпускулярных и волновых свойств с учётом симметрии законов физики в противоположностях, но смогли с помощью нашей теории объяснить и вычислить практические результаты. Это касается аномальных магнитных моментов протона и электрона, разницы масс протона и электрона и отношения первой боровской орбиты к радиусу электрона без парадоксов. Отметим, что ни одна теория даже близко не подошла к решению парадоксов, и физики, поэтому использовали подгонку под результат с элементами чудес.

Литература

1. Рысин А.В., Никифоров И.К., Бойкачев В.Н. Развитие философии на основе логики теории Мироздания от простого состояния к сложному состоянию с учётом физических явлений // Актуальные исследования. – 2024. – № 31 (213). – Ч. 2. – С. 5-37.

2. Терлецкий Я.П., Рыбаков Ю.П. Электродинамика. – Москва: Высш. шк., 1980. – С. 213.
3. Терлецкий Я.П., Рыбаков Ю.П. Электродинамика. – Москва: Высш. шк., 1980. – С. 226.
4. Терлецкий Я.П., Рыбаков Ю.П. Электродинамика. – Москва: Высш. шк., 1980. – С. 291.
5. Соколов А.А., Тернов И.М., Жуковский В.Ч. Квантовая механика. – Москва: Наука, 1979. – С. 341.
6. Соколов А.А., Тернов И.М., Жуковский В.Ч. Квантовая механика. – Москва: Наука, 1979. – С. 349.
7. Савельев И.В. Курс общей физики. Т. 3. – Москва: Наука, 1979. – С. 58-59.
8. Савельев И.В. Курс общей физики. Т. 2. – Москва: Наука, 1979. – С. 118-119.
9. Рысин А.В., Никифоров И.К., Бойкачев В.Н., Селютин А.В. Развитие электродинамики и физики на основе теории Мироздания. Часть 3. Подгонки под результат в квантовой механике и физике. Часть 8 // Актуальные исследования. – 2024. – № 44 (226). – Часть 1. – С. 5-44.
10. Савельев И.В. Курс общей физики. Т. 3. – Москва: Наука, 1979. – С. 63.
11. Терлецкий Я.П., Рыбаков Ю.П. Электродинамика. – Москва: Высш. шк., 1980. – С. 216.
12. Соколов А.А., Тернов И.М., Жуковский В.Ч. Квантовая механика. – Москва: Наука, 1979. – С. 295-298.
13. Савельев И.В. Курс общей физики. Т. 3. – Москва: Наука, 1979. – С. 90.
14. Савельев И.В. Курс общей физики. Т. 3. – Москва: Наука, 1979. – С. 36.
15. Рысин А.В., Никифоров И.К., Бойкачев В.Н., Селютин А.В. Развитие электродинамики и физики на основе теории Мироздания. Часть 4. Подгонки под результат в квантовой механике и физике. Часть 9 // Актуальные исследования. – 2024. – № 47 (226). – Ч. 1. – С. 32-56.
16. Соколов А.А., Тернов И.М., Жуковский В.Ч. Квантовая механика. – Москва: Наука, 1979. – С. 30-31.
17. Соколов А.А., Тернов И.М., Жуковский В.Ч. Квантовая механика. – Москва: Наука, 1979. – С. 60.
18. Рысин А.В., Никифоров И.К., Бойкачев В.Н. Подгонки под результат в квантовой механике и физике. Парадокс наличия в атоме нулевой энергии. Часть 2 // Актуальные исследования. – 2024. – № 16 (198). – Ч. 1. – С. 5-27.
19. Савельев И.В. Курс общей физики. Т. 1. – Москва: Наука, 1977. – С. 56.
20. Соколов А.А., Тернов И.М., Жуковский В.Ч. Квантовая механика. – Москва: Наука, 1979. – С. 317-318.
21. Савельев И.В. Курс общей физики. Т. 3. – Москва: Наука, 1979. – С. 248.
22. Савельев И.В. Курс общей физики. Т. 3. – Москва: Наука, 1979. – С. 240.
23. Савельев И.В. Курс общей физики. Т. 3. – Москва: Наука, 1979. – С. 297.
24. Рысин А.В., Никифоров И.К., Бойкачев В.Н., Селютин А.В. Развитие электродинамики и физики на основе теории Мироздания. Часть 1 // Актуальные исследования. – 2024. – № 36 (218). – Ч. 1. – С. 5-36.
25. Никольский В.В., Никольская Т.И. Электродинамика и распространение радиоволн. – Москва: Наука, 1989. – С. 25.
26. Савельев И.В. Курс общей физики. Т. 2 – Москва: Наука, 1978. – С. 299.
27. Савельев И.В. Курс общей физики. Т. 3. – Москва: Наука, 1979. – С. 27.
28. Марков Г.Т., Петров Б.М., Грудинская Г.П. Электродинамика и распространение радиоволн. – Москва: Советское радио, 1979. – С. 39-40.
29. Никольский В.В., Никольская Т.И. Электродинамика и распространение радиоволн. – Москва: Наука, 1989. – С. 119.
30. Фейнман Р., Лейтон Р., Сэндс М. Фейнмановские лекции по физике Т. 6: Электродинамика. Москва: Мир, 1977. – С. 265.
31. Фейнман Р., Лейтон Р., Сэндс М. Фейнмановские лекции по физике Т. 6: Электродинамика. Москва: Мир, 1977. – С. 269.
32. Марков Г.Т., Петров Б.М., Грудинская Г.П. Электродинамика и распространение радиоволн. – Москва.: Советское радио, 1979. – С. 36.
33. Фейнман Р., Лейтон Р., Сэндс М. Фейнмановские лекции по физике Т. 6: Электродинамика. – Москва: Мир, 1977. – С. 165.
34. Соколов А.А., Тернов И.М., Жуковский В.Ч. Квантовая механика. – М.: Наука, 1979. – С. 355.
35. Рысин А.В., Никифоров И.К., Бойкачев В.Н., Селютин А.Н. Развитие электродинамики и физики на основе теории Мироздания. Часть 2. Подгонки под результат в квантовой механике и физике. Часть 7 // Актуальные исследования. – 2024. – № 40 (222). – Ч. 1. – С. 10-37.

RYSIN Andrey Vladimirovich
Radio Engineer, ANO "NTIC "Techcom", Russia, Moscow

NIKIFOROV Igor Kronidovich
Associate Professor, Candidate of Technical Sciences,
Chuvash State University, Russia, Cheboksary

BOYKACHEV Vladislav Naumovich
Director, Candidate of Technical Sciences, ANO "NTIC "Techcom", Russia, Moscow

SELYUTIN Alexander Vladimirovich
General Director, GC "RUSTP", Russia, Moscow

**THE DEVELOPMENT OF ELECTRODYNAMICS AND PHYSICS
ON THE BASE OF THE THEORY OF THE UNIVERSE. PART 5.
THE FITTING OF THE RESULT IN QUANTUM MECHANICS AND PHYSICS.
PART 10**

Abstract. This article shows the logic of the need for unambiguous formation of objects of the Universe from a simple variant to a complex variant, taking into account the representation of these objects depending on the observation system in two global opposites in the scheme of the transformation hierarchy with inversely proportional connection and symmetry of laws in opposites. This logic is based on well-known formulas with the exception of paradoxes from the statements of physicists related to miracles. Accordingly, based on our theory, the values known in practice will be calculated.

Keywords: Einstein's SRT and GRT, improved Maxwell equations, Huygens-Fresnel principle, D'Alembert equation, Dirac system of equations, Schrodinger equation, Hamilton equation – Jacobi.

ТЕХНИЧЕСКИЕ НАУКИ

Аль-Зарафа Ахмед Мохаммед Ахмед

магистрант, Уфимский государственный нефтяной технический университет,
Россия, г. Уфа

Аль-Амоди Абдулмаджид Саид Мохсен

аспирант, Уфимский государственный нефтяной технический университет, Россия, г. Уфа

ОЦЕНКА ОТМЫВАЮЩИХ СПОСОБНОСТЕЙ БУФЕРНЫХ ЖИДКОСТЕЙ ДЛЯ ПОВЫШЕНИЯ КАЧЕСТВА ЦЕМЕНТИРОВАНИЯ И КРЕПЛЕНИЕ СКВАЖИН

Аннотация. Закрепление обсадных труб колонн является одним из ключевых и технологически сложных этапов при строительстве нефтяных и газовых скважин. В мире более 25% нефтегазовых скважин имеют проблемы с межпластовыми перетоками различной интенсивности, что приводит к значительным экономическим потерям. Закалённые перетоки чаще всего возникают в местах контакта цементного камня с горной породой. Это связано с тем, что в некоторых случаях полностью удалить глинистую корку с поверхности ствола скважины не удается, что приводит к недостаточной адгезии между ними. В этой связи применяются буферные жидкости (БЖ), которые способствуют улучшению адгезии цементного камня к породе.

Буферная жидкость представляет собой промежуточный раствор между буровым и тампонажным растворами, который улучшает качество цементирования скважин и упрощает процесс цементирования. В отсутствие буферных жидкостей, из-за коагуляции бурового раствора в зоне его смешения с тампонажным, наблюдается увеличение давления в 1,4–1,8 раза, при этом коэффициент вытеснения бурового раствора составляет лишь 0,4–0,6.

Поэтому буферная жидкость прокачивается перед первой порцией цементного раствора. Промывочные жидкости используются для разбавления бурового раствора и диспергирования его частиц. В работе представлены результаты лабораторных исследований, направленных на оценку отмывающей способности буферных жидкостей для удаления фильтрационной глинистой корки, вывода шлама и полного очищения промывочных растворов из затрубного пространства. Цель данного исследования – сравнить эффективность различных буферных жидкостей и определить наиболее эффективные с точки зрения технологии и экономики.

Исследования проводились с использованием методики оценки эффективности буферных жидкостей на экспериментальной установке (ВСН-3), в условиях, имитирующих скважинные условия. Была разработана слоеная и трёхслойная сетка, и экспериментально установлено, что трёхслойная сетка эффективно способствует образованию корки. Важно, чтобы зазоры между стаканом и сеткой не превышали 5 мм, чтобы избежать отмывания корки за счёт потока раствора, а не из-за низкой эффективности буферных жидкостей. Результаты экспериментов с различными типами буферных жидкостей подтвердили правильность предложенной методики.

Одним из основных преимуществ нашей методики является снижение погрешности в измерениях веса корки, образовавшейся на сетке. Результаты показали, что различные буферные жидкости имеют свою эффективность, что позволило выделить наиболее эффективные для различных типов буровых растворов.

Ключевые слова: скважина, тампонажный раствор, буферный раствор, глинистая корка, затрубное пространство, буровой раствор, цемент, отмывающая способность.

Буферные жидкости можно классифицировать по составу на однофазные, двухфазные и трехфазные. Двухфазные и трехфазные буферные жидкости включают в себя жидкость вместе с твердыми, нерастворимыми добавками (обычно абразивами), такими как вода с пущцоланом, кварцевым песком или цементом, а также нефть с песком или баритом.

Экспериментальные данные показывают, что абразивные материалы повышают моющие свойства буферных жидкостей, так как они могут механически разрушать глинистую корку при движении жидкости. Исследования воздействия абразивных материалов на моющие свойства буферных жидкостей установили,

что их добавление изменяет динамику смыва глинистой корки.

Для оценки эффективности различных буферных жидкостей были проведены специальные исследования.

Объектами исследований явились следующие виды буферных жидкостей:

- пресная вода;
- пресная вода + ПАВ;
- пресная вода + реагенты Азимут 1,2,3;
- пресная вода + реагенты Азимут 1,2,3 +ПАВ.

Для исследований использованы следующие виды буровых растворов, состав и свойства которых приведены в таблице 1.

Таблица 1

Состав и свойства буровых растворов

Тип бурового раствора	Свойства раствора						
	Плотность, кг/м ³	B, с	V, Па.с	P, Па	ФП, 30min/0,1МПа	10 sec, Па	10 min, Па
Бентанит +0.3% КМЦ	1100	70	20		5	4	12
Биополимерный состав (Вода + Na ₂ CO ₃ 0.2% + NaOH 0.1% + Барит 20% + Крахмал 2% + Ксантовая смола 0,3%)	1110	47	19		3,4	5	14
Биополимерный (Вода + Na ₂ CO ₃ 0.2% + NaOH 0.1% + Фермент Натрия 50% + Фхлс 2% + Ксантовая смола 0,3%)	1190	44	18		4	4	16

Исследования проводились на вискозиметре (ВСН-3 И трёхслойная сетка).

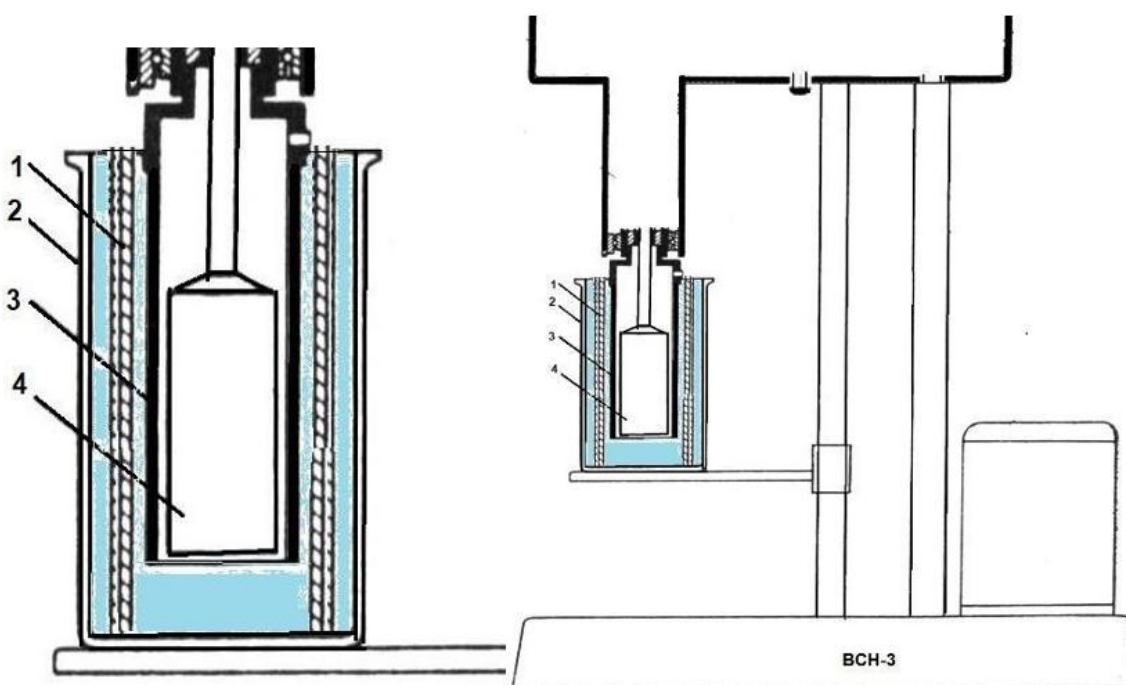


Рис. 1. Общий вид экспериментальной установки ВСН-3: 1 - трёхслойная сетка; 2 - стакан с испытуемой жидкостью; 3-наружный врачающийся цилиндр; 4 - измерительный цилиндр

Исследования проводились по методике «Оценки эффективности буферных жидкостей». Процедура проведения экспериментов:

1. Приготовить буферную жидкость (БЖ) и буровой раствор (БР).
2. Замерить параметры БР.
3. Подготовить прибор для исследований.
4. Сетку отпустить в БР до образования корки на ней.
5. Взвесить сетку на весах (W1).
6. Сетку погрузить в стакан с БР до верхней границы сетки на 10 мин.
7. По истечению 10 мин вытащить сетку из стакана и 2 мин дать стечь БР.
8. Взвесить сетку на весах (W2).
9. Опустить сетку с БР в стакан с БЖ, и оставить зазор между стаканом, сеткой и наружным вращающимся цилиндром до верхней границы сетки.
10. Включить мотор на 200 об/мин и прокрутить 5 мин.
11. По истечению 5 мин извлечь сетку из стакана с БЖ и 2 мин дать стечь БЖ.
12. Взвесить сетку на весах (W3(5)).
13. Далее повторить процедуры с п. 7 по п. 10, снятые показания W3(10), W3(15), W3(20), W3(30)) внести в таблицу протокола.
14. Процент смыва корки рассчитать по формуле:

$$\% = (W_2 - W_3(n+5)) * 100 / (W \text{ корки})$$

Где W1 – вес сетки; W2 – вес сетки насыщена бурового раствора (корка);

W корки – вес корки = W2 – W1;

W3(n+5) – вес сетки с корки после ее отмывания.

$$\% = (W_2 - W_3(n+5)) * 100 / (W_{\text{корки}})$$

Изложены анализы результатов экспериментальных исследований эффективности отмывающей способности и поставлена

сравнительная оценка по действию с разными буровыми растворами.

Объектами исследований явились следующие виды буферных жидкостей:

- пресная вода;
- вода с ПАВ в количестве 2% (ОП-10 или Сульфонал);
- сухие буферные порошки Азимут 1; 2; 3;
- сухие буферные порошки Азимут 1; 2; 3+ПАВ 2% (Сульфонал);
- сухие буферные порошки Nerspacer 100 (ойл Энерджи) 0,5%;
- Буферные жидкости Nerspacer 200 (ойл Энерджи) 0,5–3%.

Все сухие порошки предварительно растворялись в пресной воде.

Для исследований использованы различные буровые растворы на основе бентонита и два биополимерных раствора.

Так же при исследовании для повышений проверки эффективности отмывающих способностей используемых буферных жидкостей были использованы 3 вида буферных растворов, используемых в реальных условиях процесса бурения. Методика испытаний позволила в динамических условиях следить за состоянием глинистой корки, сформированной на пористой поверхности. Процесс формирования глинистой корки осуществляли под определенным давлением в течение 10 мин, затем помещали в буферную жидкость и приводили во вращения.

Проведения исследования работы проводились в 3 стадии:

- стадия первая включала в себя наращивание глинистой корки;
- стадия вторая разрушение глинистой корки;
- последняя третья стадия взвешивание отмытой глинистой корки.

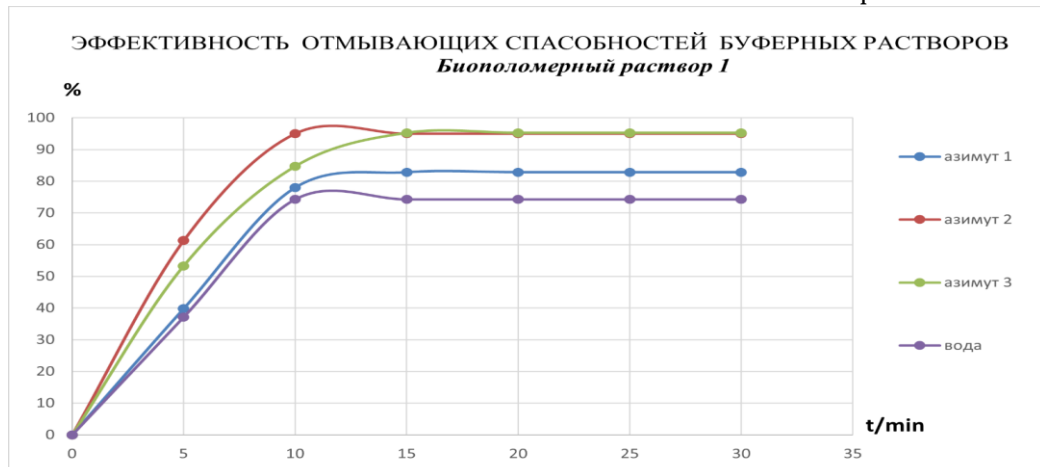


Рис. 2. Отмывающая способность буферных растворов полимерного бурового раствора № 1

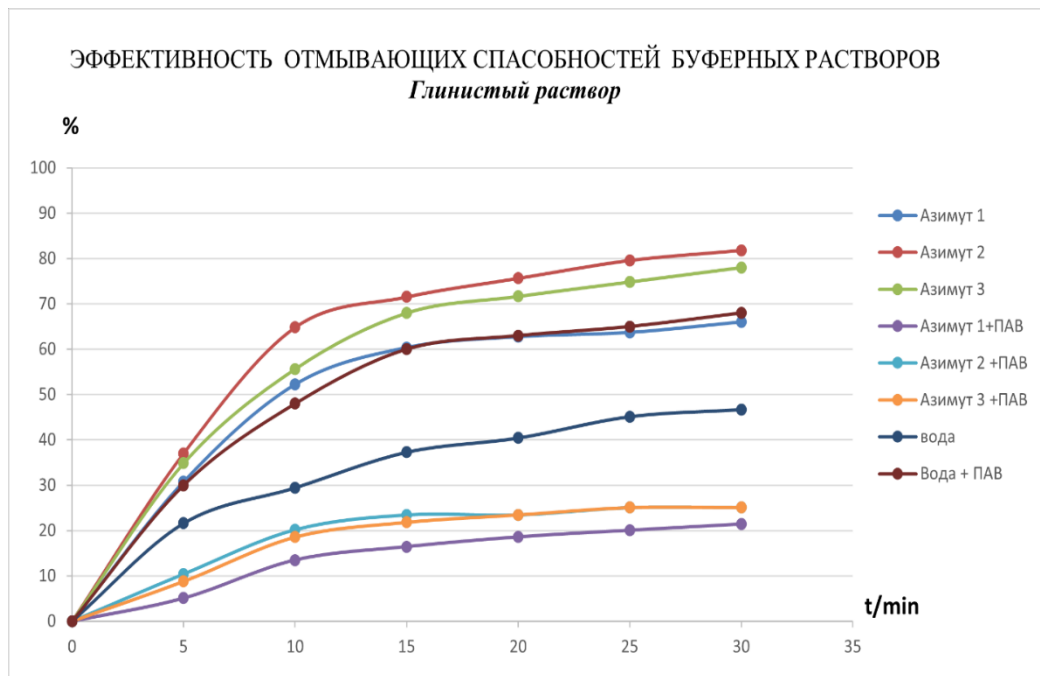


Рис. 3. Отмывающая способность буферных растворов бурового раствора на основе бентонита

Нам же не важен конечный результат, а нам важен момент, который выделен красным, у нас БЖ всего лишь на 3–5 куба метров раствора. Она проходит за время в затрубном

% пространстве в течение 3–5 минут, а вот на рисунке 4 процент отмывания для одной БЖ за 10 минут составляет 70%, а другой получилось 30%,

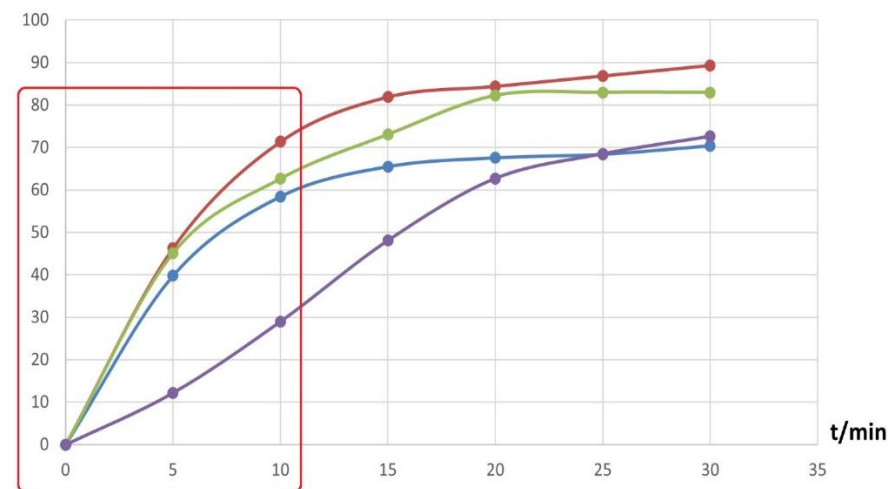


Рис. 4. Процент отмывающей способности буферных растворов

Отсюда видно какая из них лучше. Несмотря на то что у некоторых буферных жидкостей конечная отмывающая способность досточно высокая составляет где-то (70–90%), то краткосрочно, то есть за 5-минутный интервал отмывающая способность не перевешает 45%.

Проведенные эксперименты показали, что буферные жидкости имеют различную отмывающую способность. Предлагаемый метод позволяет однозначно оценить моющую способность буферных жидкостей и сравнить их эффективности. Кроме того, предлагаемый метод может быть использован для исследования

воздействия буферной жидкости на глинистую корку в зависимости от режима течения и физико-химических свойств буровых растворов и буферных жидкостей.

По результатам исследования можно определить наилучшую буферную жидкость за первые 10 мин исследования. Это время, которое буферная жидкость при цементировании контактирует со стенкой скважины. Результаты приведены в таблице 2, в которой приведены буферные системы, показавшие за 10 мин отмывающую способность более 60%.

Таблица 2

Рациональная область применения буферных жидкостей

Буферные растворы	Степень удаления за 10 мин, % буферным раствором				
	Азимут 1 (2,5%)	Азимут 2 (2,5%)	Азимут 3(2,5%)	Nerspacer 100 (0,5%)	Nerspacer 200 (0,5-3 %)
Бентонит		✓ 73%		✓ 80%	✓ 75%
Полимерный № 1	✓ 78%	✓ 95%	✓ 85%	✓ 95%	✓ 90%
Полимерный № 2	✓ 89%	✓ 96%	✓ 92%	✓ 96%	

Из нее видно, что эффективность буферных жидкостей зависит от типов применяемых буровых растворов. При этом видно, что многие традиционные буферные жидкости не могут принести никакой пользы при креплении скважин.

Основные выводы и рекомендации:

1. Выполненный анализ промыслового материала показал, что очень высокий процент (выше 50 %) некачественного крепления нефтегазовых скважин связан с применением буферных жидкостей, не обеспечивающих разделение тампонажного и бурового раствора, полное вытеснение из затрубного пространства промывочной жидкости, удаления трудновытесняемых языков твердой фазы.

2. Для повышения качества крепления скважин были разработаны буферные жидкости, обладающие одновременно кольматирующими и структурно-реологическими свойствами, обеспечивающие разделения тампонажного и бурового растворов, очистку ствола от промывочной жидкости и слоев твердой фазы и повышения качества сцепления цементного камня со стенками скважин.

3. Проведенные с помощью предлагаемого метода сравнительные испытания ряда известных буферных жидкостей показали, что хорошими отмывающими свойствами обладают растворы: Азимут 1, Азимут 2, Азимут 3, Nerspace 100, Nerspace 200, вода с ПАВ которые существенно превосходят многие традиционные буферные жидкости на основе воды. При этом буферные порошки Азимут 2 и Nerspace 100 показали эффективность смыва выше, чем

другие, что хорошо вписывается в производство импортозамещающих материалов для нефтегазовой промышленности. Они показали хорошие результаты отмывающей способности, причем в разбавленном виде, поэтому я считаю, что из всех материалов, которые есть они наиболее перспективно.

Литература

1. Агзамов Ф.А. Технология бурения нефтяных и газовых скважин: учебник для студентов вузов в 5 томах под общей редакцией В.П. Овчинникова. / Ф.А. Агзамов, Т.О. Акбулатов, Н.А. Аксенова и др. – Тюмень, 2014. Т. 1.
2. Овчинников В.П. Заканчивание скважин: учебное пособие / В.П. Овчинников, Н.А. Аксенова, Ф.А. Агзамов, О.В. Нагарев. – Тюмень, 2011.
3. Ашрафьян М.О. Технология разобщения пластов в осложненных условиях. – Москва: Недра, 1989. – 228 с.
4. Усманов Р.А. Повышение качества цементирования обсадных колонн при вторичном вскрытии / Р.А. Усманов // Науковый вестник № 5, Национальный горничный университет, Украина, 2004. – С. 59-61.
5. Толкачев Г.М. Технологические жидкости для бурения, крепления, ремонта и ликвидации скважин / Г.М. Толкачев, А.М. Шилов, А.С. Козлов // Сб. докладов международной научно-практической конференции «Проблемы научно-технического прогресса в бурении». – Томск, 2004. – 94 с.
6. Ашрафьян М.О. Комплексные реагенты для обработки тампонажных растворов /

М.О. Ашрафьян, А.К. Куксов, Ю.В. Гринько // Нефтяное хозяйство. – 1997. – № 7. – С. 11-12.

7. Шарафутдинов З.З. Управление реологическими свойствами буровых растворов / З.З. Шарафутдинов, Е.Ф. Филиппов, Ю.А. Нифонтов, Н.И. Nikolaev // Заканчивание и ремонт скважин в условиях депрессии на продуктивные пластины: Сб. науч. трудов. – Краснодар: НПО Бурение, 2004. – С. 121-125.

8. Булатов А.И. Тампонажные материалы /

А.И. Булатов, В.С. Данюшевский. – Москва: Недра, 1987. – С. 35-38.

9. Бережной А.И. Электрические и механические методы воздействия при цементировании скважин / А.И. Бережной, П.Я. Зельцер, А.Г. Муха. – Москва: Недра, 1976. – С. 62-65.

10. Кузнецов В.Г. Влияние различных факторов на прочность крепи скважины // Известия Вузов Нефть и газ. – Тюмень, 1997. – № 6, – С. 54.

Al-Zarafa Ahmed Mohammed Ahmed

Master's Student, Ufa State Petroleum Technical University,
Russia, Ufa

Al-Amadi Abdulmajid Saeed Mohsen

Postgraduate Student, Ufa State Petroleum Technical University, Russia, Ufa

ASSESSMENT OF THE WASHING ABILITIES OF BUFFER FLUIDS TO IMPROVE THE QUALITY OF CEMENTING AND FIXING WELLS

Abstract. Fixing the casing pipes of the columns is one of the key and technologically difficult stages in the construction of oil and gas wells. Globally, more than 25% of oil and gas wells have problems with inter-reservoir overflows of varying intensity, which leads to significant economic losses. Hardened overflows most often occur in places of contact of cement stone with rock. This is due to the fact that in some cases it is not possible to completely remove the clay crust from the surface of the borehole, which leads to insufficient adhesion between them. In this regard, buffer fluids are used, which help to improve the adhesion of cement stone to the rock.

Buffer liquid is an intermediate solution between drilling and grouting solutions, which improves the quality of well cementing and simplifies the cementing process. In the absence of buffer fluids, due to the coagulation of drilling mud in the zone of its mixing with grouting, there is an increase in pressure by 1.4-1.8 times, while the displacement coefficient of drilling mud is only 0.4–0.6.

Therefore, the buffer liquid is pumped before the first batch of cement mortar. Industrial fluids are used to dilute drilling mud and disperse its particles. The paper presents the results of laboratory studies aimed at assessing the washing ability of buffer liquids to remove filtration clay crust, remove sludge and completely purify washing solutions from the annulus. The purpose of this study is to compare the effectiveness of different buffer fluids and determine the most effective ones from the point of view of technology and economics.

The research was carried out using a technique for evaluating the effectiveness of buffer fluids at an experimental installation (VSN-3), in conditions simulating downhole conditions. A layered and three-layer mesh was developed, and it was experimentally established that a three-layer mesh effectively promotes the formation of a crust. It is important that the gaps between the glass and the grid do not exceed 5 mm in order to avoid washing the crust due to the flow of solution, and not because of the low efficiency of buffer liquids. The results of experiments with various types of buffer fluids confirmed the correctness of the proposed methodology.

One of the main advantages of our technique is to reduce the error in measuring the weight of the crust formed on the grid. The results showed that various buffer liquids have their own effectiveness, which made it possible to identify the most effective ones for various types of drilling fluids.

Keywords: borehole, grouting solution, buffer solution, clay crust, drilling spaces, drilling mud, cement, washing capacity.

КУПЦОВ Георгий Алексеевич

студент, Ульяновский государственный технический университет, Россия, г. Ульяновск

ЭЛЕКТРОПЕЧИ И ИХ ПРЕИМУЩЕСТВО

Аннотация. В статье говорится о принципах электропечей, их составляющих и их преимуществах.

Ключевые слова: нагревательный элемент, конвекция, контроллер температуры.

Электрические печи служат незаменимым оборудованием для термической обработки материалов. Оборудование работает в промышленных сферах, научно-исследовательских институтах и лабораториях. Электрические печи называют также печами сопротивления, в них производится сушка, обжиг, нагрев, плавление, закалка или иные операции, требующиеся в производственных целях или для научно-исследовательской работы.

Принцип работы электрической печи основан на преобразовании электрической энергии в тепловую, в результате чего осуществляются нагрев, плавление или необходимые физико-химические превращения материалов (восстановление, рафинирование, переплав, закалка, сушка и др.).

В зависимости от технологии нагрева выделяют следующие типы электропечей:

- **Косвенные.** В них ток проходит по проводникам, печи работают по принципу конвекции, когда энергия возникает под действием потоков веществ.

- **Прямого действия.** Нагрев происходит за счёт выработки энергии тепла непосредственно в телах, через которые идёт электрический ток

Основные компоненты электропечи включают:

1. Нагревательные элементы: Основной компонент электропечи, который преобразует электрическую энергию в тепло. В зависимости от типа электропечи нагревательные элементы могут быть изготовлены из различных материалов, таких как никром, керамика или графит.

2. Теплоизоляция: Необходима для минимизации потерь тепла и обеспечения эффективного использования энергии. Теплоизоляционные материалы могут включать огнеупорные кирпичи, керамическую вату и другие высокотемпературные изоляционные материалы.

3. Контроллер температуры: Обеспечивает точный контроль и регулирование температуры внутри печи. Современные электропечи оснащены микропроцессорными контроллерами, которые позволяют задавать и поддерживать необходимые температурные режимы.

4. Корпус: Защищает внутренние компоненты печи и обеспечивает безопасность эксплуатации. Корпус может быть изготовлен из металла или других жаропрочных материалов.



Рис. 1. Муфельная электропечь



Рис. 2. Хлебопекарная печь

Преимущества электропечей

Электропечи являются одним из наиболее эффективных и удобных средств для производства различных материалов и изделий. Они имеют множество преимуществ, которые делают их предпочтительным выбором для многих предприятий и производственных процессов.

Прежде всего, электропечи обеспечивают равномерное распределение тепла по всему объёму рабочей камеры, что позволяет получать качественные и однородные изделия. Благодаря электрическому нагреву энергия используется максимально эффективно, что позволяет сэкономить расходы на топливо и обеспечить значительное снижение эксплуатационных затрат.

Кроме того, электропечи позволяют быстро достигать нужной температуры и легко регулировать её в зависимости от требуемых характеристик продукции. Это делает их идеальным инструментом для различных видов обработки материалов, от нагрева и выдерживания до плавления и закалки.

Электропечи также обладают высокой степенью автоматизации и контроля процесса нагрева, что повышает эффективность и безопасность работы. Благодаря возможности программирования режимов работы и

мониторинга параметров процесса можно достичь оптимальных результатов и избежать потерь из-за неправильной температуры или времени обработки.

В целом, электропечи представляют собой надёжное и эффективное оборудование, которое позволяет значительно улучшить качество и производительность производственных процессов. Благодаря их универсальности и простоте в использовании, они находят применение в различных отраслях промышленности и могут быть настроены под конкретные потребности и требования производства.

Литература

1. Электропечи: принципы работы, типы и современные применения. [Электронный ресурс] URL:<https://tautest.kz/stati/elektropechi-principsy-raboty-tipy-i-sovremennye-primeneniya/>.
2. Печь (Центральное отопление). [Электронный ресурс] URL:[https://en.wikipedia.org/wiki/Furnace_\(central_heating\)](https://en.wikipedia.org/wiki/Furnace_(central_heating)).
3. Принцип работы электропечи. [Электронный ресурс] URL:[https://neznn.ru/informacziya/princzip-rabotyi-elektropechi-\(09.11.2020-g.\).html](https://neznn.ru/informacziya/princzip-rabotyi-elektropechi-(09.11.2020-g.).html).

KUPTSOV Georgy Alekseevich
Student, Ulyanovsk State Technical University, Russia, Ulyanovsk

ELECTRIC FURNACES AND THEIR ADVANTAGES

Abstract. *The article talks about the principles of electric furnaces, their components and their advantages.*

Keywords: *heating element, convection, temperature controller.*

РОГАЛЬ Игорь Олегович

студент, Санкт-Петербургский государственный архитектурно-строительный университет,
Россия, г. Санкт-Петербург

ЗАВИСИМОСТЬ ЭФФЕКТИВНОСТИ СИСТЕМЫ ПРОТИВОДЫМНОЙ ВЕНТИЛЯЦИИ В КОРИДОРАХ ОТ РАССТОЯНИЯ МЕЖДУ ДЫМОПРИЕМНЫМ УСТРОЙСТВОМ И ПРИТОЧНЫМ ОТВЕРСТИЕМ

Аннотация. В статье рассмотрено влияние расстояния между дымоприемным и приточным устройствами на эффективность работы противодымной вентиляции. С помощью моделирования в программе Pyrosim исследованы параметры температуры, видимости и концентрации газов (CO , CO_2 , O_2 , HCl) в коридоре длиной 30 м.

Ключевые слова: противодымная вентиляция, пожарная безопасность, удаление дыма, Pyrosim, моделирование, видимость, концентрация газов, оптимизация системы, пассивная защита.

Противодымная вентиляция является одним из важнейших средств пассивной пожарной защиты зданий, направленным на удаление дыма из помещений при возгорании. Это способствует безопасной эвакуации людей и предотвращению повреждения конструкций.

Ключевыми компонентами противодымной вентиляции являются дымоприемные устройства и приточные отверстия, определяющие эффективность работы системы.

В данной статье, с помощью программы Pyrosim, мы рассмотрим, как расстояние расположения между дымоприемным и приточным

устройством будет влиять на температуру, видимость, и наличие газов, таких как CO , CO_2 , O_2 , HCl .

Исходные данные:

Рассмотрим коридор 30 м, высотой 2,75 м;

Решетка противодымной приточной вентиляции 500x1000 м.

Решетка противодымной вытяжной вентиляции 500x1000 м.

Скорость на решетке 7 м/с.

Расстояние между решетками: 10 и 20 м.

Моделирование в программе:

1. Расчетная область

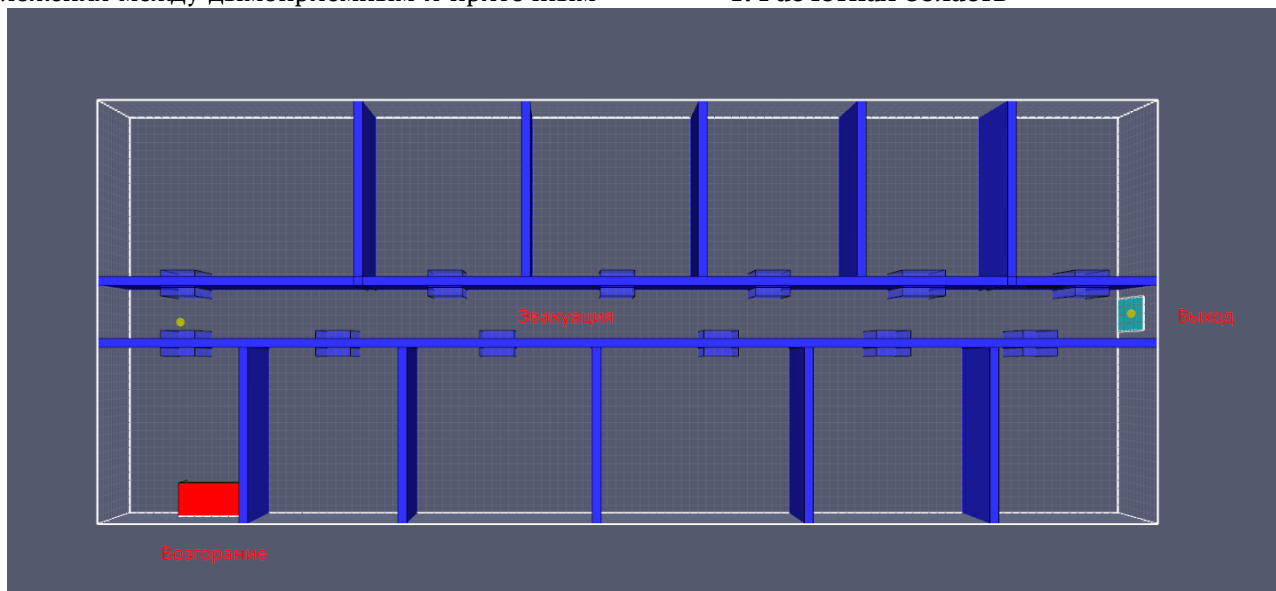


Рис. 1

Расчетная область ограничена сетками FDS. Размер сеток и размер ячеек сеток приведены в таблице:

Таблица 1

Номер сетки	Название сетки	Размер сетки по X, м	Размер сетки по Y, м	Размер сетки по Z, м	Размер ячейки по X, м	Размер ячейки по Y, м	Размер ячейки по Z, м	Кол-во ячеек в сетке
1	Сетка01	30	12	3	0.25	0.25	0.25	69120

Полный расчетный объем составляет 1080 м³, общее количество ячеек в модели составляет 69120.

2. Пожарная нагрузка по [6]

Название: Общ. помещение; линолеум+булага.

Примечание:

Полная площадь пожарной нагрузки: 2,5 м².

3. Результаты расчета при расстоянии между решетками 10 м.

Таблица 2

Точка сравнения	T	O2	Видимость, м	HCl	CO2	CO	Тепловой поток	Tбл, с	0.8*Tбл, с
Точка_01	2,16	2,16	2,58	>5	>5	>5	>5	2,16	1,73
Точка_02	>5	>5	4,84	>5	>5	>5	>5	4,84	3,87

4. Результаты расчета при расстоянии между решетками 20 м.

Таблица 3

Точка сравнения	T	O2	Видимость, м	HCl	CO2	CO	Тепловой поток	Tбл, с	0.8*Tбл, с
Точка_01	1,99	1,99	2,41	>5	>5	>5	>5	2,16	1,73
Точка_02	>5	>5	4,71	>5	>5	>5	>5	4,84	3,87

5. Поля ОФП при расположении решеток на 10 м.

Температура в коридоре.



Рис. 2. Время 100 с

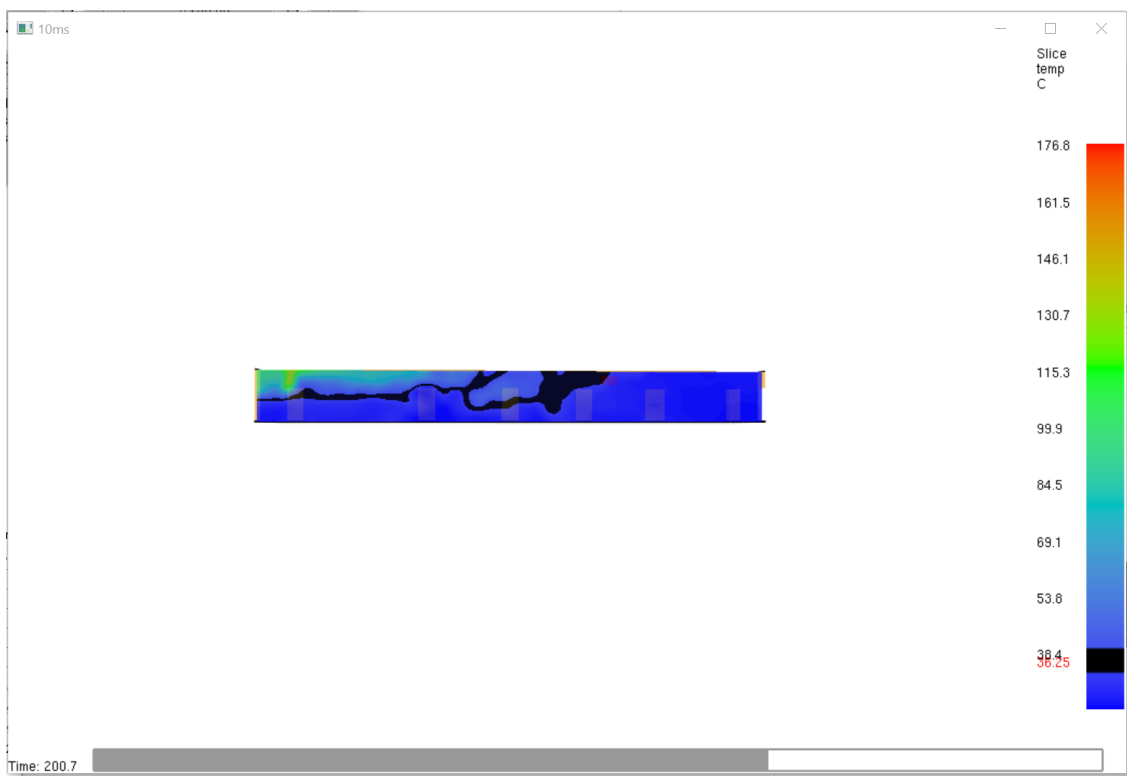


Рис. 3. Время 200 с

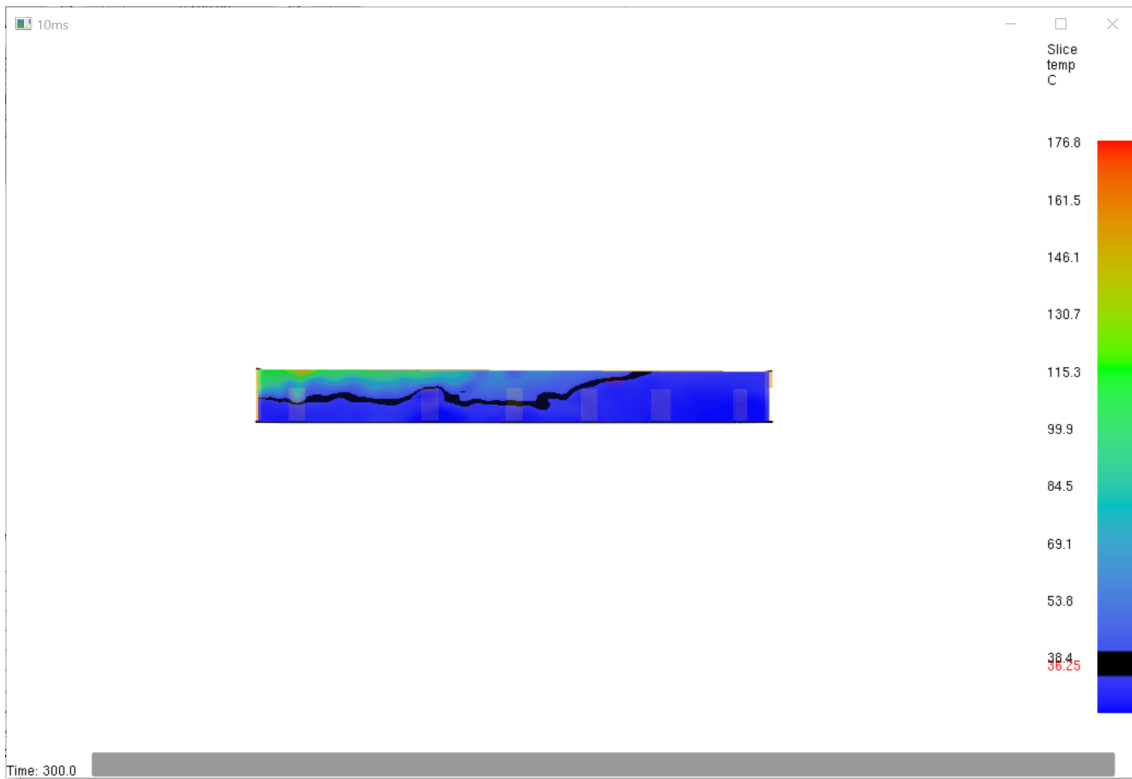


Рис. 4. Время 300 с

6. Поля ОФП при расположении решеток на 20 м.

Температура в коридоре.

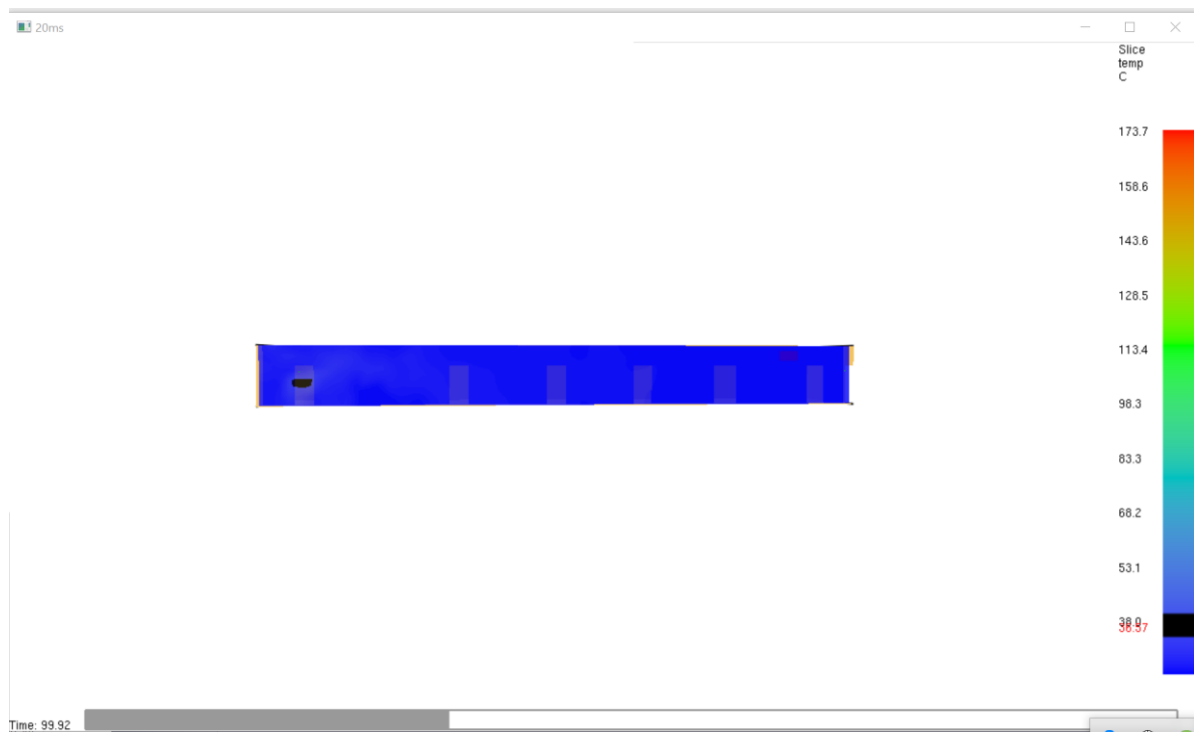


Рис. 5. Время 100 с.

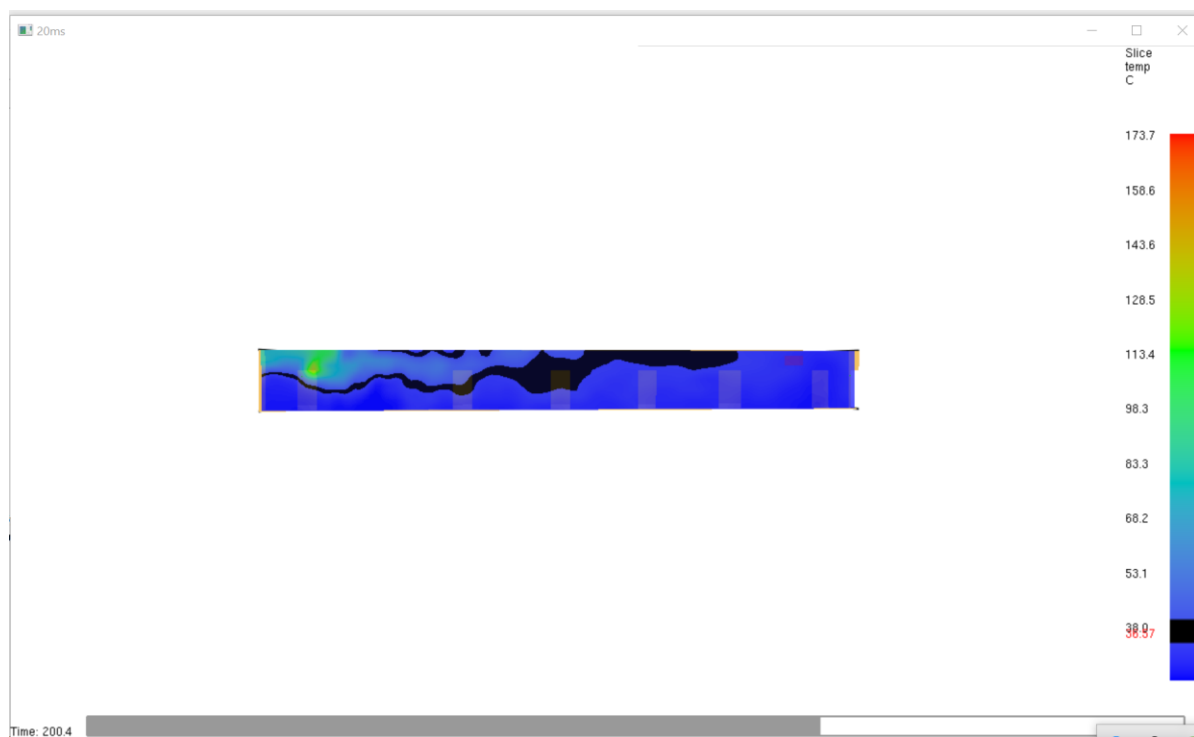


Рис. 6. Время 200 с.

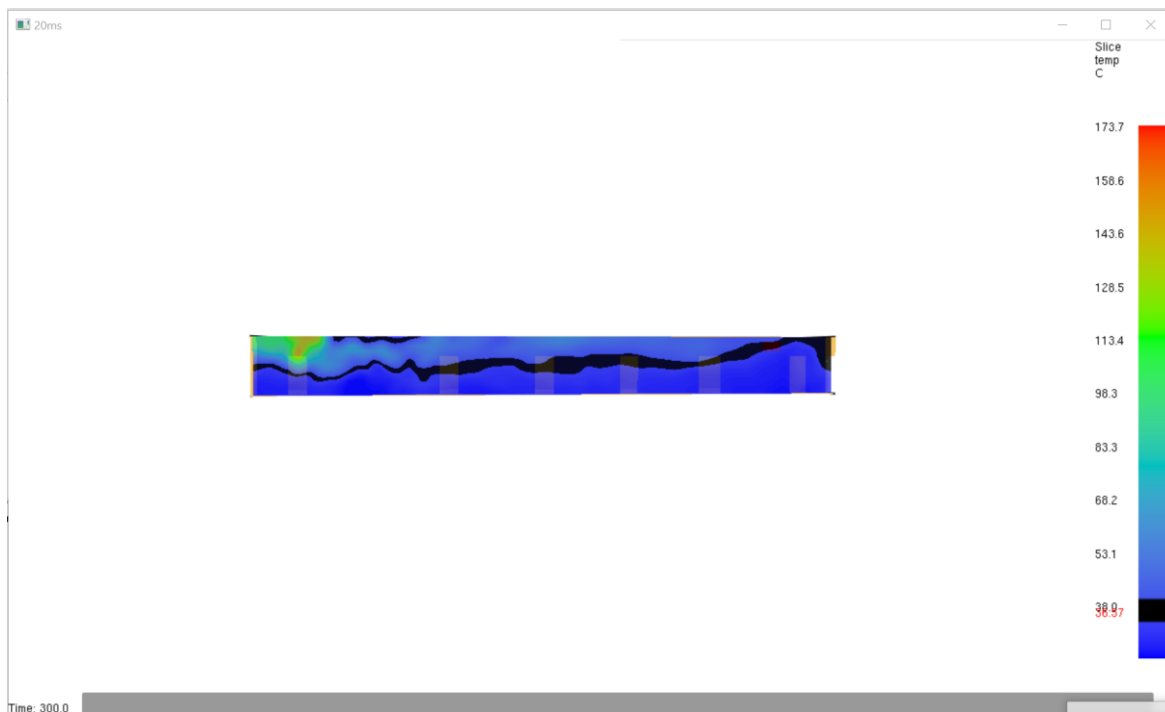


Рис. 7. Время 300 с

Вывод

Исследования показывают, что эффективность противодымной вентиляции напрямую зависит от расстояния между дымоприемным устройством и приточным отверстием. Слишком большое расстояние может привести к снижению тяги и неэффективному удалению дыма, а слишком маленькое расстояние может вызвать обратное течение дыма и кислородного воздуха.

Литература

1. СП 60.13330.2020. Отопление, вентиляция и кондиционирование воздуха. URL: <https://docs.cntd.ru/document/573697256> (дата обращения: 10.10.2023).
2. СП 7.13130.2013. Отопление, вентиляция и кондиционирование. Требования пожарной безопасности.

URL:

<https://docs.cntd.ru/document/1200098833> (дата обращения: 10.10.2023).

3. СП 1.13130.2020. Системы противопожарной защиты. Эвакуационные пути и выходы.

URL:

<https://docs.cntd.ru/document/565248961> (дата обращения: 12.10.2023).

4. СТО НП «АВОК» 2.1–2020. Здания жилые и общественные. Нормы воздухообмена. – М.: НП «АВОК», 2020.30 с.

5. Приложение к рекомендациям Р НП «АВОК» 5.5.1 Расчет параметров систем противодымной защиты жилых и общественных зданий., 2018.

6. Кошмаров Ю.А. Прогнозирование опасных факторов пожара в помещении: Учебное пособие.

ROGAL Igor Olegovich
Student, Saint Petersburg State University of Architecture and Civil Engineering,
Russia, Saint Petersburg

**DEPENDENCE OF THE EFFICIENCY
OF THE SMOKE VENTILATION SYSTEM IN THE CORRIDORS
ON THE DISTANCE BETWEEN THE SMOKE INTAKE DEVICE
AND THE INTAKE PORT**

Abstract. The article examines the effect of the distance between the flue intake and intake devices on the efficiency of smoke ventilation. Using Pyrosim simulation, the parameters of temperature, visibility, and concentration of gases (CO, CO₂, O₂, HCl) in a 30 m long corridor were studied.

Keywords: smoke ventilation, fire safety, smoke removal, Pyrosim, modeling, visibility, gas concentration, system optimization, passive protection.

ВОЕННОЕ ДЕЛО

СЕЛЕЗНЕВ Антон Александрович

слушатель, Военная академия материально-технического обеспечения
имени генерала армии А. В. Хрулева, Россия, г. Санкт-Петербург

СЕЛЮК Дмитрий Владимирович

преподаватель, Военная академия материально-технического обеспечения
имени генерала армии А. В. Хрулева, Россия, г. Санкт-Петербург

СОВРЕМЕННЫЕ БЕСПИЛОТНЫЕ ЛЕТАТЕЛЬНЫЕ АППАРАТЫ (БПЛА): ОБЗОР ТЕХНОЛОГИЙ И ПРИМЕНЕНИЯ

Аннотация. Статья представляет собой обзор современных беспилотных летательных аппаратов (БПЛА). Рассматриваются ключевые типы БПЛА, их технические характеристики, а также основные сферы применения в военной сфере. Приводятся примеры успешного использования БПЛА в реальных операциях. Завершается статья обсуждением перспектив дальнейшего развития технологий БПЛА, включая улучшение автономности, увеличение дальности действия и повышение точности навигационных систем.

Ключевые слова: беспилотные летательные аппараты (БПЛА), классификация БПЛА, применение БПЛА, перспективы развития БПЛА.

Мир технологий стремительно меняется, и одной из самых заметных тенденций последних десятилетий стало активное развитие беспилотных летательных аппаратов (БПЛА), или дронов. Эти устройства, изначально созданные для узкоспециализированных задач, теперь находят применение практически во всех сферах жизни – от гражданских услуг до сложных военных операций. В этой статье мы подробно рассмотрим различные виды БПЛА, их технические характеристики, а также обсудим перспективы дальнейшего развития и интеграции этих устройств в вооруженные силы.

История беспилотных летательных аппаратов начинается с конца XIX века, когда первые прототипы были разработаны для военных нужд. Однако настоящий прорыв произошел только в середине XX века, когда появились радиоуправляемые самолеты, способные выполнять простые задания без участия пилота. Одним из первых известных примеров использования БПЛА в боевых действиях стал американский проект «Файрби» в годы Второй мировой войны. Этот аппарат представлял собой управляемый ракетой самолет-снаряд,

предназначенный для поражения кораблей противника [2].

С тех пор технология БПЛА прошла долгий путь эволюции. Сегодня БПЛА стали неотъемлемой частью многих отраслей, начиная от сельского хозяйства и заканчивая медициной. Однако наибольшие успехи достигнуты именно в военном секторе, где БПЛА играют важную роль в разведке, наблюдении, нанесении ударов и логистике.

На сегодняшний день существует множество классификаций беспилотных летательных аппаратов, основанных на разных критериях. Наиболее распространенной является классификация по размерам и массе аппарата.

Микро-БПЛА: самые маленькие устройства, весом менее 2 кг. Они обычно используются для наблюдения за небольшими объектами и в условиях ограниченного пространства.

Малые тактические БПЛА: вес этих аппаратов составляет от 2 до 20 кг. Они способны выполнять миссии средней дальности и продолжительности полета.

Средние и тяжелые БПЛА: масса этих устройств может достигать сотен килограммов,

а иногда и тонн. Такие аппараты обладают большой дальностью действия и высокой продолжительностью полета, что делает их идеальными для выполнения сложных и длительных задач.

Кроме того, существуют классификации по типу двигателя (электрический, бензиновый, реактивный) и по назначению (разведывательный, ударный, транспортный).

Основные технические параметры, определяющие эффективность работы БПЛА, включают:

1. Дальность действия: от нескольких километров до тысяч километров. Например, американские MQ-9 Reaper могут пролететь свыше 1 800 км без дозаправки.

2. Продолжительность полета: время, которое аппарат способен находиться в воздухе без посадки. Некоторые модели могут оставаться в полете десятки часов подряд.

3. Скорость: скорость полета варьируется от нескольких км/ч до сверхзвуковых скоростей. Так, например, российский БПЛА «Охотник» способен развивать скорость до 1 000 км/ч.

4. Полезная нагрузка: это оборудование, которое устанавливается на борт БПЛА. Оно может включать камеры высокого разрешения, инфракрасные датчики, системы связи, радары и даже оружие.

5. Автономность: современные БПЛА все чаще оснащаются системами искусственного интеллекта и машинного обучения, что позволяет им действовать самостоятельно, минимизируя участие оператора.

Вооруженные силы всего мира активно внедряют беспилотные летательные аппараты в свои арсеналы. Основными направлениями их использования являются:

1. Разведка и наблюдение: БПЛА позволяют собирать данные о местности и противнике в режиме реального времени, обеспечивая командованию актуальную информацию для принятия решений.

2. Целеуказание: точные координаты целей определяются с помощью БПЛА, что значительно повышает точность артиллерийских и авиационных ударов.

3. Противовоздушная оборона: некоторые модели БПЛА специально разрабатываются для обнаружения и уничтожения воздушных целей, выполняя функции перехватчиков.

4. Логистика: доставка грузов и боеприпасов в труднодоступные районы становится возможной благодаря использованию БПЛА.

5. Электронная война: подавление радиосигналов противника и защита собственных коммуникаций также входят в круг задач, выполняемых беспилотниками [1, с. 123-145].

Одним из ярких примеров успешного использования БПЛА стала операция «Ночной охотник», проведенная российскими войсками в Сирии. Здесь использовались беспилотники для координации действий наземных сил и нанесения точных ударов по позициям террористов. Американские MQ-9 Reaper широко применялись в Афганистане и Ираке для проведения разведывательно-ударных операций.

Также стоит упомянуть израильский опыт использования БПЛА. Например, БПЛА Heron успешно применялся для патрулирования границ и борьбы с террористическими угрозами.

Не стала исключением и специальная военная операция, проводимая вооруженными силами Российской Федерации. В ходе её проведения БПЛА применяются повсеместно: от разведки и наблюдения до доставки грузов на позиции [3].

Будущее беспилотных летательных аппаратов выглядит весьма многообещающим. Эксперты прогнозируют дальнейшую интеграцию технологий искусственного интеллекта и машинного обучения, что позволит создавать полностью автономные системы, способные принимать решения без вмешательства человека. Кроме того, ожидаются улучшения в области материаловедения и энергетики, что приведет к увеличению продолжительности полета и повышению надежности аппаратов.

Особое внимание уделяется разработке гибридных моделей, объединяющих преимущества вертолетов и самолетов. Такие аппараты смогут взлетать вертикально, как вертолеты, но при этом обладать высокой скоростью и дальностью полета, характерной для самолетов [4, с. 36-54].

Современные беспилотные летательные аппараты представляют собой важный элемент в арсенале любой современной армии. Их способность выполнять разнообразные задачи, от разведки до нанесения ударов, делает их незаменимыми инструментами в обеспечении безопасности и эффективности военных операций. С развитием технологий эти устройства будут становиться все более универсальными и надежными, открывая новые горизонты для их применения в различных сферах человеческой деятельности.

Литература

1. Смит Д., Браун М. Беспилотные летательные аппараты в современной войне: применение и вызовы / Журнал оборонных исследований. Т. 25, № 3, С. 123-145.
2. Миллер П., Кларк Э. Военные беспилотники: эволюция, возможности и будущие тенденции / Springer Nature, ISBN: 978-3-030-12345-6.
3. Свидетельство о государственной регистрации программы для ЭВМ № 2023666331 Российской Федерации. Программа для расчета оценки эффективности комплекса активной защиты объектов и личного состава технического обеспечения от беспилотных летательных

аппаратов: № 2023665153: заявл. 18.07.2023; опубл. 28.07.2023 / Д.П. Поправко, М.Ю. Захаров, С.Г. Ласточкин [и др.]; заявитель Федеральное государственное казенное военное образовательное учреждение высшего образования «Военная академия материально-технического обеспечения имени генерала армии А.В. Хрулев» Министерства обороны Российской Федерации. EDN: QYNAIU.

4. Уайт Т., Гонсалес М. / Стратегические последствия распространения беспилотных летательных аппаратов в условиях глобальной безопасности. – Публикация: Strategic Studies Quarterly, Т. 15, № 1, С. 36-54.

SELEZNEV Anton Alexandrovich

Listener, Military Academy of Logistics named after General of the Army A.V. Khrulev,
Russia, St. Petersburg

SELYUK Dmitry Vladimirovich

Teacher, Military Academy of Logistics named after General of the Army A.V. Khrulev,
Russia, St. Petersburg

MODERN UNMANNED AERIAL VEHICLES (UAVS): TECHNOLOGY AND APPLICATION OVERVIEW

Abstract. The article is an overview of modern unmanned aerial vehicles (UAVs). The key types of UAVs, their technical characteristics, as well as the main areas of application in the military sphere are considered. Examples of successful use of UAVs in real operations are given. The article concludes with a discussion of the prospects for further development of UAV technologies, including improved autonomy, increased range and improved accuracy of navigation systems.

Keywords: unmanned aerial vehicles (UAVs), classification of UAVs, application of UAVs, prospects for the development of UAVs.

ИНФОРМАЦИОННЫЕ ТЕХНОЛОГИИ

МАHMUDOVA Nigora Nosirovna

Candidate of Pedagogical Sciences, Associate Professor of the Department of Electronics,
Khujand State University named after academician B. Gafurov, Tajikistan Republic, Khujand

МАHMUDOVA Azizakhon Manonjonovna

Master's Student of the Physics and Technology Faculty,
Khujand State University named after academician B. Gafurov, Tajikistan Republic, Khujand

KEY AREAS OF ELECTRONIC DEVELOPMENT DRIVING IT ADVANCEMENT

Abstract. The given article dwells on the key areas of electronic development driving IT advancement. Furthermore, it examines the present trends shaping the electronics landscape, such as the rise of new materials and novel computing paradigms, and analyze their potential to further revolutionize the IT landscape in the years to come.

Keywords: electronics, IT, electronic innovation, information.

1. Introduction

The miniaturization, increased processing power, and enhanced energy efficiency achieved through relentless innovation in electronics have been the primary driving forces behind the development of technologies ranging from personal computers and the internet to smartphones and artificial intelligence.

2. Main results and discussion

The remarkable evolution of information technologies has been propelled by significant progress in several key areas of electronics research and development. These advancements have not only enabled the creation of faster and more powerful computing devices but have also driven the development of new functionalities and applications that were previously unimaginable. This section will delve into some of the most crucial areas of electronic development that have shaped the IT landscape:

2.1. Miniaturization: The Shrinking World of Electronics

Perhaps the most visible trend in electronics has been the relentless drive towards miniaturization, epitomized by Moore's Law [7]. This ongoing process of shrinking the size of transistors and other components on integrated circuits has had profound implications for IT:

- **Increased Component Density:** Miniaturization allows for packing an ever-increasing number of transistors onto a single chip. For example, the

first Intel 4004 microprocessor in 1971 had 2,300 transistors, while modern processors can contain billions of transistors.

- **Enhanced Performance:** Smaller transistors can switch faster, leading to increased processing speeds and overall system performance. This is because electrons have shorter distances to travel within smaller circuits.

- **Reduced Power Consumption:** Smaller components generally consume less power, which is crucial for mobile devices and energy-efficient data centers. Lower power consumption also translates to less heat generation, simplifying thermal management in devices.

- **Portability:** Miniaturization has been the key enabler of portable electronic devices like laptops, smartphones, and tablets, which have become integral parts of modern life.

- **New Applications:** The development of microelectromechanical systems (MEMS), which integrate mechanical elements, sensors, and actuators with electronics on a microscopic scale, has opened up new possibilities in areas like medical diagnostics, environmental monitoring, and automotive safety [6].

2.2. Increased Processing Power: Fueling Computational Capabilities

Alongside miniaturization, the continuous increase in processing power has been a cornerstone of IT advancement. This has been achieved through several innovations:

- *Clock Speed Enhancements:* For many years, increasing the clock speed (the frequency at which a processor executes instructions) was the primary means of boosting performance. However, physical limitations related to heat dissipation have led to a plateauing of clock speeds in recent years.

- *Architectural Innovations:* Processor architects have developed sophisticated techniques like pipelining, superscalar execution, and out-of-order execution to enable processors to execute multiple instructions concurrently, significantly improving performance [4].

- *Multi-core Processors:* To overcome the limitations of single-core clock speed scaling, the industry shifted towards multi-core processors, which integrate multiple processing cores onto a single chip. This allows for parallel processing, significantly boosting performance for multi-threaded applications.

- *Specialized Processors:* The rise of specialized processors, such as Graphics Processing Units (GPUs), initially designed for graphics rendering, has revolutionized fields like artificial intelligence and scientific computing. GPUs, with their massively parallel architectures, are particularly well-suited for tasks involving large-scale matrix and vector operations [8].

2.3. Memory and Storage: Accommodating the Data Explosion

The exponential growth in data generation and consumption has necessitated rapid advancements in memory and storage technologies:

- *Dynamic Random-Access Memory (DRAM):* DRAM is the primary type of volatile memory used in computers and other devices. Advances in DRAM technology have led to increased density, faster speeds, and lower power consumption [5].

- *Flash Memory:* Flash memory, a type of non-volatile memory that retains data even when power is lost, has revolutionized data storage. It is used extensively in USB drives, solid-state drives (SSDs), and memory cards for mobile devices and cameras.

- *Solid-State Drives (SSDs):* SSDs, which use flash memory instead of spinning magnetic disks, offer significantly faster read and write speeds, improved durability, and lower power consumption compared to traditional hard disk drives (HDDs). Their increasing adoption is transforming the performance of laptops, desktops, and servers [3].

- *Cloud Storage:* While not a direct advancement in electronics itself, the development of cloud storage, which relies on massive data centers

filled with high-capacity storage devices, has been enabled by advancements in electronics, particularly in the areas of high-density storage, high-speed networking, and energy-efficient server design.

2.4. Energy Efficiency: Powering Sustainability and Mobility

Growing concerns about energy consumption and the increasing demand for mobile devices have made energy efficiency a critical area of focus in electronics:

- *Low-Power Design Techniques:* Engineers have developed a variety of techniques to reduce power consumption in electronic circuits, including voltage scaling, clock gating, and power gating [2].

- *Energy-Efficient Architectures:* Processor and system architectures are being designed with energy efficiency as a primary consideration, leading to devices that can perform more computations per unit of energy consumed.

2.5. Communication Technologies: Enabling Connectivity

The development of robust, high speed communication technologies has been fundamental to the interconnected world we live in.

High-Speed Networking: Advances in areas such as Ethernet and optical communication have enabled the transfer of vast quantities of data across networks. Technologies like fiber optics provide high bandwidth and low latency [1].

Wireless Communication: The evolution of wireless protocols such as Wi-Fi and cellular standards (3G, 4G, 5G) has been critical in providing ubiquitous connectivity for mobile devices and the Internet of Things [9].

3. Conclusion

The journey of electronics enabling IT is far from over; it is a dynamic and ongoing process that will undoubtedly continue to shape the 21st century and beyond, driving innovation and transforming the way we live, work, and interact with the world around us. Therefore, fostering a strong ecosystem for electronics research, development, and education is paramount to ensure that we can fully realize the transformative potential of IT for the benefit of humanity.

References

1. Agrawal, G. P. (2010). Fiber-optic communication systems. John Wiley & Sons.
2. Chandrakasan, A. P., Sheng, S., & Brodersen, R. W. (1992). Low-power CMOS digital

-
- design. *IEEE Journal of Solid-State Circuits*, 27 (4), 473-484.
3. Gal, E., & Toledo, S. (2005). Algorithms and data structures for flash memories. *ACM Computing Surveys (CSUR)*, 37 (2), 138-163.
4. Hennessy, J. L., & Patterson, D. A. (2017). Computer architecture: A quantitative approach. Morgan Kaufmann.
5. Jacob, B., Ng, S., & Wang, D. (2007). Memory systems: Cache, DRAM, disk. Morgan Kaufmann.
6. Madou, M. J. (2002). Fundamentals of microfabrication: The science of miniaturization. CRC press.
7. Moore, G. E. (1965). Cramming more components onto integrated circuits. *Electronics*, 38 (8), 114-117.
8. Owens, J. D., Houston, M., Luebke, D., Green, S., Stone, J. E., & Phillips, J. C. (2008). GPU computing. *Proceedings of the IEEE*, 96 (5), 879-899.
9. Rappaport, T. S., Sun, S., Mayzus, R., Zhao, H., Azar, Y., Wang, K., ... & Schulz, J. (2013). Millimeter wave mobile communications for 5G cellular: It will work! *IEEE access*, 1, 335-349.

SAFONOV Vladislav Anatolievich

Master Student,
Sevastopol State University,
Russia, Sevastopol

*Scientific Advisor – Associate Professor of the Department of Foreign Languages
of Sevastopol State University, Candidate of Pedagogical Sciences Braslavskaya Elena Alekseevna*

STUDY OF THE OF TRANSITION WAYS TO DOMESTIC SOFTWARE DATA PROTECTION IN CLOUD STORAGES

Abstract. In the context increasing requirements to information security in Russia, the issue of transition to domestic software is becoming more and more urgent. This is especially important when protecting data stored in cloud storage where the risks of unauthorized access and data leaks are high. This paper is devoted to the study of the of transition ways to domestic software data protection in cloud storages. The paper analyzes the advantages and disadvantages of existing Russian solutions, considers scenarios of transition to domestic technologies and assesses their prospects for the Russian market.

Keywords: domestic software, data protection, cloud storage, cybersecurity, Russia.

Cloud technologies have become an integral part of modern IT infrastructure. They are used not only in private companies, but also in government agencies for data storage and processing. Due to the growing threat of data leakages and international sanctions restricting access to foreign technologies, Russian organizations are beginning to look for ways to reduce dependence on foreign software and to implement domestic solutions [1, p. 256]. Protecting data in cloud storage using domestic software is becoming an important element of security strategy. This is especially relevant in light of the Russian legal requirements, in particular the Federal Law No. 152-FZ "On Personal Data", where data processing and protection regulations are established [2].

Current challenges and opportunities of moving to domestic software

The use of foreign cloud storages poses significant risks for Russian organizations. International sanctions may result in blocked access to foreign platforms or software jeopardizing data security and system performance. In addition, foreign developers may not comply with Russian information security standards posing an additional threat to data privacy. These factors force Russian organizations to use domestic software.

Hence, Russian market offers several solutions that can be used to protect data in cloud storages. Proposal is the Alt Linux operating system which

was developed in Russia and supports a wide range of data security tools. Another solution is the MoyOffice application package which allows to work with documents in cloud environments and includes built-in encryption and data protection mechanisms. It's also worth noting such system as ViPNet which provide secure data exchange and secure storage in network infrastructures.

However, the introduction of domestic software faces a number of difficulties. Firstly, Russian analogs cannot yet fully compete with global leaders in terms of functionality and scalability. Secondly, transition to domestic solutions requires significant investments both at the implementation stage and in the process of personnel training. Nevertheless, the key advantage of domestic software is its compliance with Russian security standards. This fact is especially important for governmental organizations and companies dealing with confidential information.

Transition opportunities analysis

One of the main scenarios for transitioning to domestic software is the complete replacement of all foreign solutions with Russian ones. This strategy ensures maximum data security as organizations completely eliminate dependence on foreign vendors. However, this approach requires significant costs and may be difficult to implement in large companies operating systems where foreign software is used.

A more flexible option is a partial transition, when critical data is protected by domestic software, while less important systems continue to run on foreign platforms [3, p. 232]. This approach allows to reduce implementation costs and minimize risks associated with possible blocking of foreign services. For example, solutions like ViPNet can be used to protect particularly sensitive data, while popular cloud platforms such as Microsoft Azure can be used for less critical systems [4, p. 120].

There is an opportunity to integrate domestic data protection tools into foreign platforms for organizations that cannot opt out to international cloud services. This approach allows organizations to retain access to global cloud standards while ensuring data protection using Russian solutions. For example, use of domestic software for data encryption in cloud storage of international companies will help avoid leakage and meet the requirements of Russian regulators.

Advantages and disadvantages of domestic software

Use of domestic software in cloud systems has its advantages, but it also raises certain challenges. On the one hand, it provides greater independence from foreign technologies and minimizes risks associated with sanctions or restrictions on the use of foreign platforms. In addition, domestic developments take into account the specifics of Russian legislation and regulations in the field of information protection. This fact makes them particularly attractive for governmental organizations and companies working with critical infrastructure.

On the other hand, Russian solutions are often inferior to world analogues in terms of their

performance, scalability and functionality. Many companies using cloud technologies face problems of domestic software integration into existing systems and it requires additional costs and time. There is also a risk that Russian solutions may not receive sufficient support in the long run making it difficult to use them in large-scale projects.

The transition to domestic software for data protection in cloud storages is an important step to ensure security and independence of Russian IT infrastructure. Despite the existing limitations, domestic developments offer enough solutions to minimize risks associated with the use of foreign technologies. However, transition process requires careful preparation and analysis, especially in the context of integration with existing systems and user support. In the long term, the use of domestic software will allow Russian organizations to strengthen their information security and create more independent and secure information environment.

References

1. Лашевски Т. Облачные архитектуры: разработка устойчивых и экономичных облачных приложений. М.: ЛитРес, 2022. 320 с.
2. Шувалова М. Импортозамещение в сфере ИТ // ГАРАНТ.РУ. URL: <https://www.garant.ru/article/1542142/?ysclid=m4red2rfxu633235657> (дата обращения 18.12.2024).
3. Ньюман С. Создание микросервисов. СПб.: Питер, 2016. 304 с.
4. Хрусталева Е.Ю. Облачные технологии 1С: Предприятия: Практическое руководство для внедрения облачных решений с использованием отечественного программного обеспечения. М.: ЛитРес, 2021. 256 с.

САФОНОВ Владислав Анатольевич

магистрант, Севастопольский государственный университет, Россия, г. Севастополь

Научный руководитель – доцент кафедры иностранных языков Севастопольского государственного университета, кандидат педагогических наук Браславская Елена Алексеевна

**ИССЛЕДОВАНИЕ ПУТЕЙ ПЕРЕХОДА НА ОТЕЧЕСТВЕННОЕ
ПРОГРАММНОЕ ОБЕСПЕЧЕНИЕ ПРИ ОРГАНИЗАЦИИ ЗАЩИТЫ ДАННЫХ
В ОБЛАЧНЫХ ИНФОРМАЦИОННЫХ ХРАНИЛИЩАХ**

Аннотация. В современных условиях усиливающих требований к информационной безопасности в России вопрос перехода на отечественное программное обеспечение становится все более актуальным. Это особенно важно при защите данных, хранимых в облачных информационных хранилищах, где риски несанкционированного доступа и утечек данных возрастают. Настоящая статья посвящена исследованию возможностей перехода на отечественное программное обеспечение для обеспечения защиты данных в облачных системах. В работе анализируются преимущества и недостатки существующих российских решений, рассматриваются сценарии перехода на суворенные технологии, а также оцениваются их перспективы для российского рынка.

Ключевые слова: отечественное ПО, защита данных, облачные информационные хранилища, кибербезопасность, Россия.

БАЛАХОНОВА Елизавета Андреевна
 студентка, Российский государственный университет нефти и газа (НИУ) имени И. М. Губкина,
 Россия, г. Москва

КОРОТУН Софья Олеговна
 студентка, Российский государственный университет нефти и газа (НИУ) имени И. М. Губкина,
 Россия, г. Москва

ТЕСТИРОВАНИЕ БАЗОВОГО ФУНКЦИОНАЛА **ISC-DHCP-SERVER И DNSMASQ**

Аннотация. В данной статье рассмотрим базовый функционал *isc-dhcp-server* и *DNSMASQ* в виртуальной среде *VirtualBox* при помощи виртуальной машины с операционной системой *Alt*.

Ключевые слова: *isc-dhcp-server*, *DNSMASQ*, *VirtualBox*, *Alt*.

Введение

В данной статье рассмотрим базовый функционал *isc-dhcp-server* и *DNSMASQ* для дистрибутива Альт. Будет проведен сравнительный анализ свойств и различий данных сервисов.

Объект исследования – область операционных систем, основанных на ядре Linux, а также процесс функционирования сервисов *isc-dhcp-server* и *DNSMASQ* в виртуальной среде.

Предмет исследования – базовый функционал и взаимодействие служб *isc-dhcp-server* и *DNSMASQ* в операционной системе ALT, установленной в виртуальной машине *VirtualBox*.

Цель исследования – анализ и описание работы базового функционала *isc-dhcp-server* и *DNSMASQ* в условиях виртуальной среды

VirtualBox с операционной системой ALT, определение основных свойств и различий между ними.

Установка сервисов

isc-dhcp-server – это программный DHCP-сервер, созданный Internet Systems Consortium, который занимается автоматическим распределением IP-адресов и других необходимых сетевых параметров среди клиентских устройств в локальной сети. С его помощью можно посмотреть информацию о шлюзах, DNS-серверах и других параметрах, необходимых для настройки сетевого соединения.

Чтобы начать работу с *isc-dhcp-server*, сначала нужно установить пакет на тот сервер, который выступает в роли DHCP, с помощью команды (рис. 1):

```
root@vbox:~# apt-get install isc-dhcp-server
Reading Package Lists... Done
Building Dependency Tree... Done
The following extra packages will be installed:
  dhcp-common dhcp-libs libisc-export-dhcp
The following NEW packages will be installed:
  dhcp-common dhcp-libs dhcp-server libisc-export-dhcp
0 upgraded, 4 newly installed, 0 removed and 610 not upgraded.
Need to get 1624kB of archives.
After unpacking 4950kB of additional disk space will be used.
Do you want to continue? [Y/n] Y
Get:1 http://ftp.altlinux.org p10/branch/x86_64/classic libisc-export-dhcp 9.11.32-alt2:p10+284790.3.101631886436 [984kB]
Get:2 http://ftp.altlinux.org p10/branch/x86_64/classic dhcp-libs 1:4.4.3.P1-alt2:p10+333353.400
  @1700659318 [67.9kB]
Get:3 http://ftp.altlinux.org p10/branch/noarch/classic dhcp-common 1:4.4.3.P1-alt2:p10+333353.400
  .101700659318 [180kB]
Get:4 http://ftp.altlinux.org p10/branch/x86_64/classic dhcp-server 1:4.4.3.P1-alt2:p10+333353.400
  .101700659318 [392kB]
Fetched 1624kB in 2s (667kB/s)
Committing changes...
Preparing...
Updating / installing...
1: libisc-export-dhcp-9.11.32-alt2
2: dhcp-libs-1:4.4.3.P1-alt2
3: dhcp-common-1:4.4.3.P1-alt2
4: dhcp-server-1:4.4.3.P1-alt2
Done.
```

Рис. 1. Установка пакета *isc-dhcp-server*

Следующим шагом является настройка файла /etc/dhcp/dhcpd.conf, в котором задаются параметры диапазона IP-адресов. Также

необходимо задать нужный интерфейс, который прослушивает DHCP, для этого открываем файл /etc/default/isc-dhcp-server (рис. 2).

```
dhcpd [-M--I 16 L:I 1+ 2 3/ 61 *(59 / 159b) 0010 0x00A
# The following variables are recognized:

DHCPDARGS=enp0s8_

# Default value if chroot mode disabled.
#CHROOT="-j / -l /var/lib/dhcp/dhcpd/state/dhcpd.leases"
```

Рис. 2. Настройка интерфейса DHCP

После этого нужно убедиться в корректности работы, настроенного DHCP-сервера (рис. 3, 4, 5).

```
[root@ubox ~]# systemctl status dhcpcd
● dhcpcd.service - DHCPv4 Server Daemon
   Loaded: loaded (/lib/systemd/system/dhcpcd.service; enabled; vendor preset: disabled)
   Active: active (running) since Mon 2024-12-16 00:11:20 MSK; 38s ago
     Docs: man:dhcpcd(8)
           man:dhcpcd.conf(5)
  Process: 6962 ExecStartPre=/etc/chroot.d/dhcpcd.all (code=exited, status=0/SUCCESS)
 Main PID: 7081 (dhcpcd)
    Tasks: 1 (limit: 2332)
   Memory: 4.4M
      CPU: 260ms
      CGroup: /system.slice/dhcpcd.service
              └─ 7081 /usr/sbin/dhcpcd -4 -f --no-pid enp0s8
```

Рис. 3. Проверка работы сервера

```
[root@ubox ~]# cat /etc/dhcp/dhcpd.conf
# dhcp.conf
default-lease-time 6000;
max-lease-time 72000;
subnet 192.168.56.0 netmask 255.255.255.0 {
range 192.168.56.101 192.168.56.254;
option routers 192.168.56.100;
}
```

Рис. 4. Просмотр файла конфигурации

```
lease 192.168.56.101 {
  starts 1 2024/12/23 20:46:53;
  ends 1 2024/12/23 22:26:53;
  tstp 1 2024/12/23 22:26:53;
  cltt 1 2024/12/23 20:46:53;
  binding state free;
  hardware ethernet 08:00:27:62:26:24;
  uid "\001\010\000'b$";
}
```

Рис. 5. Просмотр файла /var/lib/dhcp/dhcpd/state/dhcpd.leases

DNSMASQ – представляет собой компактный и многофункциональный сервер, обеспечивающий такие функции как DHCP-сервер, DNS-резолвинг, а также TFTP-сервер. Его часто используют в небольших сетях, домашних округах, а также во встраиваемых системах и маршрутизаторах.

Для начала работы сервера нужно установить пакет dnsmasq с помощью команды: apt-get install dnsmasq.

Следующим шагом необходимо открыть файл /etc/dnsmasq.conf и добавить в него строки (рис. 6):

```

interface=enp0s8
bind-interfaces
dhcp-range=192.168.56.101, 192.168.56.254, 255.255.255.0, 12h
dhcp-option=option	router, 192.168.56.100
dhcp-option=option	dns-server, 8.8.8.8, 8.8.4.4
server=8.8.8.8
server=8.8.4.4
domain-needed
bogus-priv
local=/testdomain.local/
address=/example.testdomain.local/192.168.56.100
"/etc/dnsmasq.conf" 705L, 28328B written

```

Рис. 6. Редактирование файла

В первой строке «interface» указываем тот интерфейс, через который мы будем отправлять клиенту IP-адреса. Вторая строчка привязывает dnsmasq к указанному интерфейсу. «dhcp-range» указывает диапазон выдаваемых IP-адресов, а также время выдачи. Следующие две строки «dhcp-option» указывают IP шлюза и DNS серверы. «server» – соответствующие DNS-серверы для перенаправления запросов.

Строка «domain-needed» запрещает перенаправление коротких имен, а «bogus-priv» запрещает частное разрешение из частных подсетей. Последние две строчки определяют локальный домен и назначают ему IP-адрес.

Теперь нужно перезапустить сервис dnsmasq и посмотреть корректность его установки (рис. 7, 8):

```

root@ubox ~% systemctl status dnsmasq
● dnsmasq.service - A lightweight DHCP and caching DNS server
  Loaded: loaded (/lib/systemd/system/dnsmasq.service; disabled; vendor preset: disabled)
  Active: active (running) since Thu 2024-12-19 17:36:15 MSK; 8s ago
    Process: 4502 ExecStartPost=/usr/sbin/dnsmasq-helper poststart (code=exited, status=0/SUCCESS)
   Main PID: 4501 (dnsmasq)
     Tasks: 1 (limit: 2332)
    Memory: 360.0K
      CPU: 805ms
     CGroup: /system.slice/dnsmasq.service
             └─ 4501 /usr/sbin/dnsmasq --bind-interfaces --interface lo -s vbox -r /etc/resolv.conf

```

Рис. 7. Проверка работы сервиса

```

root@ubox ~% nslookup example.testdomain.local
Server:          127.0.0.1
Address:         127.0.0.1#53

Name:  example.testdomain.local
Address: 192.168.56.100

```

Рис. 8. Вывод имени и IP локального домена

Проанализируем настройку данных сервисов с помощью сравнительной таблицы (табл. 1):

Таблица 1

Сравнение настройки

	isc-dhcp-server	DNSMASQ
Файл конфигурации	/etc/dhcp/dhcpd.conf	/etc/dnsmasq.conf
DHCP-диапазоны	subnet, range, pool (дополнительная настройка)	dhcp-range
DHCP-option	Широкий набор опций, требующие точных указаний	Множество опций, но более ограниченных
DNS-сервер	Не входит в основной функционал	Встроенная поддержка

Чтобы проверить правильность работы DHCP-сервера, нужно подключить клиентское устройство и настроить его на автоматическое

получение IP-адреса: dhclient enp0s8. После этого проверим, что клиент получил IP-адрес из указанного диапазона. Кроме того, важно

убедиться, что DHCP-сервер корректно передаёт информацию о DNS-серверах и что клиентское устройство может использовать их для

разрешения доменных имен. Для быстрого поиска ip-адреса какого-либо домена можно прописать команду host (рис. 9).

```
[root@vbox ~]# host wikipedia.org
wikipedia.org has address 185.15.59.224
wikipedia.org has IPv6 address 2a02:ec80:300:ed1a::1
wikipedia.org mail is handled by 10 mx-in2001.wikimedia.org .
wikipedia.org mail is handled by 10 mx-in1001.wikimedia.org .
[root@vbox ~]#
```

Рис. 9. Вывод ip-адреса доменного имени

Теперь попробуем совершить атаку на dhcp-сервер с помощью yersinia, при которой отправляются фальшивые запросы DHCP-Discover с произвольными MAC-адресами. Это

необходимо, чтобы проверить работу сервера, выявить его уязвимости и повысить надежность сети (рис. 10, 11).

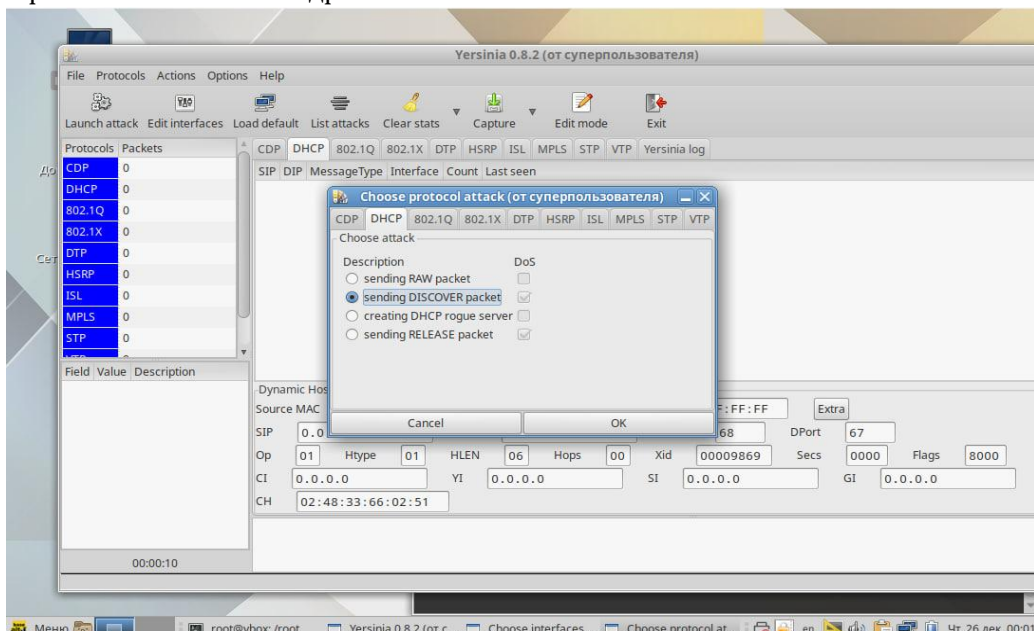


Рис. 10. Выбор атаки

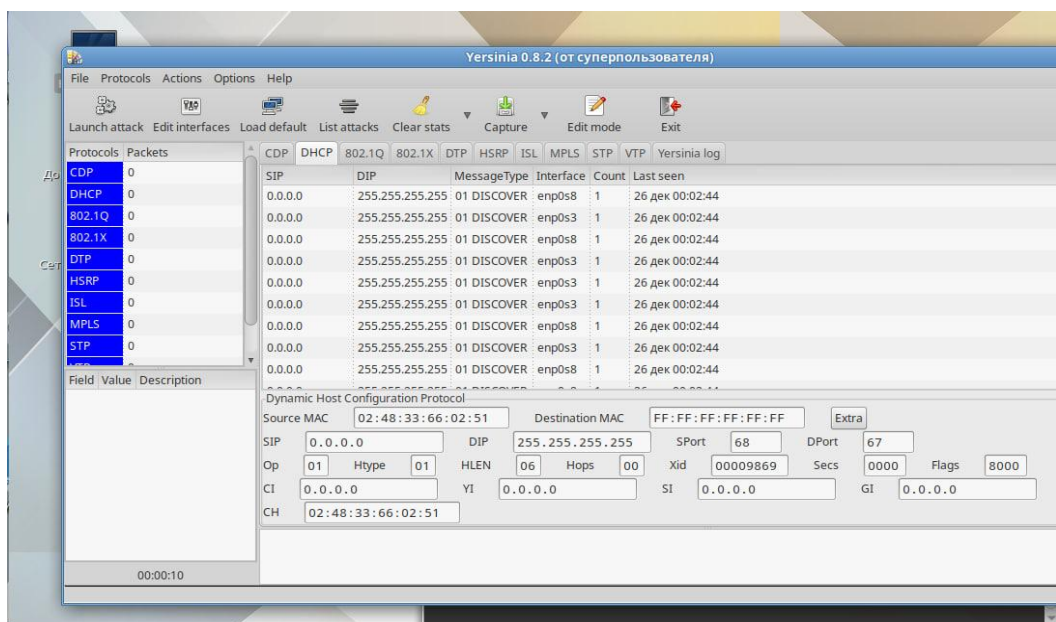


Рис. 11. Отслеживание поддельных пакетов

После этого проверим состояние сервиса (htop) (рис. 12, 13):



Рис. 12. Показатель загруженности до атаки

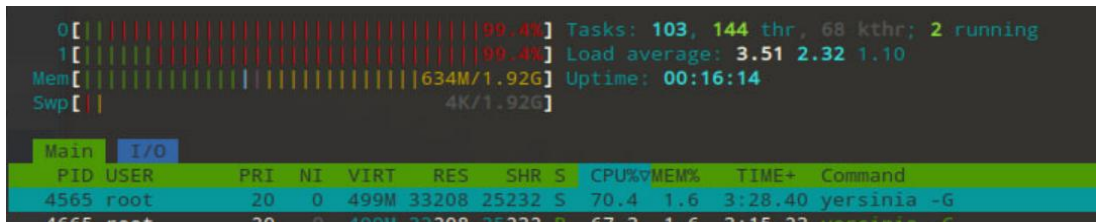


Рис. 13. Показатель загруженности после атаки

Можно попробовать еще один вид атаки – создание DHCP Rogue сервера, который

распространяет фальсифицированные сетевые настройки (рис. 14).

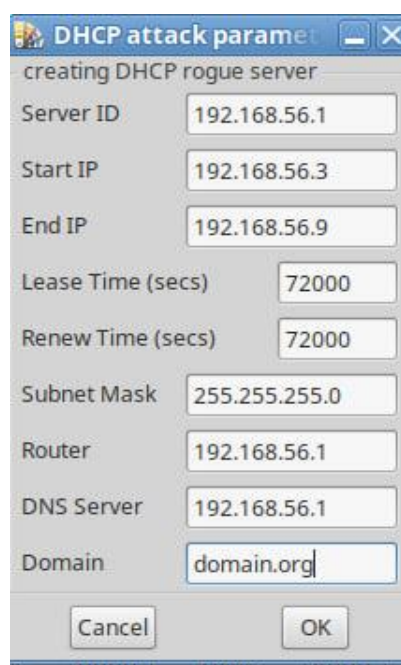


Рис. 14. Создание фальшивого dhcp-сервера

При этом клиент будет получать автоматически ip-адреса с фальшивого dhcp-сервера.

Чтобы лучше понять в чем различие между isc-dhcp-server и DNSMASQ отобразим их свойства в таблице (табл. 2):

Таблица 2

Сравнительная таблица

Функционал	isc-dhcp-server	DNSMASQ
Основное назначение	DHCP-сервер	DHCP, DNS, TFTP-серверы
DHCP-сервер	Полнофункциональный DHCP-сервер	Базовый DHCP-сервер
Динамическая выдача IP-адресов	Поддержка различных диапазонов IP-адресов	Поддержка динамической выдачи IP-адресов
Статические IP-адреса	Привязка IP-адресов к MAC-адресов	Привязка IP-адресов к MAC-адресов
Параметры DHCP	Поддержка всех стандартных	Поддержка большинства

Функционал	<i>isc-dhcp-server</i>	DNSMASQ
	DHCP-опций	стандартных DHCP-опций
DHCPv6	Полная поддержка DHCPv6	Неполная поддержка DHCPv6
Lease-time	Контроль времени аренды, возможность отложить выдачу	Настройка времени по дефолту без возможности изменения
Локальное разрешение имен	Не используется в качестве локального DNS-сервера	Используется для локального разрешения имён
Поддержка DNS	Нет	Встроенный DNS-сервер
Сложность настройки	Усложненная	Простая
Назначение	Крупные сети, предприятия, провайдеры	Домашние или малые сети, маршрутизаторы, встраиваемые системы
Масштабируемость	Высокая	Ограниченнная

Заключение

В данной статье мы разобрали работу таких сервисов как *isc-dhcp-server* и *DNSMASQ*, их установку и настройку, а также их основные свойства и различия друг с другом.

Таким образом, выбор между *isc-dhcp-server* и *DNSMASQ* зависит, в первую очередь, от вида сети, где это будет использоваться. Если это крупная инфраструктура и важны расширенные возможности управления сетью, то приоритетным вариантом будет - *isc-dhcp-server*. Однако, если требуется только эффективность и простота работы, нужная для средних сетевых окружений, то соответственно подойдет *DNSMASQ*.

Литература

1. Дорофеев Р.С., Дорофеев А.С., Рогачева С.А. Интеллектуализация DHCP-сервера / Дорофеев Р.С., Дорофеев А.С., Рогачева С.А. [Электронный ресурс] // [сайт]. – URL: <https://www.elibrary.ru/item.asp?id=32334990> (дата обращения: 14.12.2024).
2. Истощение и подмена DHCP-сервера / [Электронный ресурс] // [сайт]. – URL: <https://spy-soft.net/dhcp-starvation-dhcp-spoofing/> (дата обращения: 25.12.2024).

3. Лозовой А.Н. Установка операционных систем по сети с применением сервера Alt Linux для учебных заведений / Лозовой А.Н. [Электронный ресурс] // [сайт]. – URL: <https://www.elibrary.ru/item.asp?id=44015855> (дата обращения: 14.12.2024).

4. Настройка dnsmasq: DHCP и DNS / [Электронный ресурс] // [сайт]. – URL: <https://mnorin.com/nastrojka-dnsmasq-dhcp-dns.html> (дата обращения: 14.12.2024).

5. Тулупова О.П., Ганиева В.Р., Демин Т.А. Сетевое администрирование Linux / Тулупова О.П., Ганиева В.Р., Демин Т.А. [Электронный ресурс] // [сайт]. – URL: https://tdem.in/files/guidebook_networking.pdf (дата обращения: 14.12.2024).

6. Уймин А.Г. Компьютерные сети. L2-технологии: практикум для СПО / А.Г. Уймин. – Саратов, Москва: Профобразование, Ай Пи Ар Медиа, 2024. – 190 с. – ISBN 978-5-4497-2559-2, 978-5-4488-1745-8. – Текст: электронный (дата обращения: 14.12.2024).

7. DHCP Hacking Made Easy (on a Poorly Configured Network) / [Электронный ресурс] // [сайт]. – URL: <https://www.looking-point.com/blog/dhcp-hacking-made-easy> (дата обращения: 26.12.2024).

BALAKHONOVA Elizaveta Andreevna

Student, Gubkin Russian State University of Oil and Gas, Russia, Moscow

KOROTUN Sofya Olegovna

Student, Gubkin Russian State University of Oil and Gas, Russia, Moscow

TESTING THE BASIC FUNCTIONALITY OF ISC-DHCP SERVER AND DNSMASQ

Abstract. In this article, we will look at the basic functionality of the *isc-dhcp server* and *DNSMASQ* in a *VirtualBox* virtual environment using a virtual machine with the *Alt* operating system.

Keywords: *isc-dhcp-server*, *DNSMASQ*, *VirtualBox*, *Alt*.



10.5281/zenodo.18475238

ВЕРТЕПОВ Сергей Андреевич
старший серверный инженер, Faraway LLC, Армения, г. Ереван

СОЗДАНИЕ ИНТЕЛЛЕКТУАЛЬНОГО СЛОЯ-ПОСРЕДНИКА (AI MIDDLEWARE) ДЛЯ ПЕРСОНАЛИЗАЦИИ ПОЛЬЗОВАТЕЛЬСКОГО ОПЫТА И УПРОЩЕНИЯ ВЗАИМОДЕЙСТВИЯ С ДЕЦЕНТРАЛИЗОВАННЫМИ ПРИЛОЖЕНИЯМИ (DAPPS)

Аннотация. В статье рассматривается проблема системного разрыва в экосистеме Web3, проявившегося на фоне стремительного роста DeFi и числа пользователей: масштабирование выявило низкое качество пользовательского опыта, выражющееся в высоком оттоке новичков после первой транзакции и связанное с когнитивной перегрузкой интерфейсов, непрозрачностью комиссий и дефицитом персонализированных сценариев. В качестве решения предлагается концепция и архитектура интеллектуального слоя-посредника (AI Middleware), интегрируемого между пользовательским контуром и блокчейн-инфраструктурой. Его ключевая функция – автоматизированная реконструкция и формализация пользовательских намерений в парадигме intent-centric, где управляемым объектом выступает цель операции, а не набор низкоуровневых действий. Для интерпретации намерений предполагается применение методов машинного обучения, включая кластеризацию поведенческих паттернов и графовые нейронные сети для моделирования связей между адресами, протоколами и последовательностями операций. На основе исторических данных, а также результатов исследований российских научных центров (ИТМО, ВШЭ) обосновывается, что внедрение AI Middleware повышает удержание за счет снижения порога входа и неопределенности, и сокращает транзакционные издержки благодаря более точному выбору маршрутов и параметров исполнения с учетом контекста, и типологии намерений.

Ключевые слова: персонализация, рекомендательные системы, пользовательский опыт, блокчейн-аналитика, машинное обучение.

Введение

Период 2019–2022 гг. стал фазой ускоренного институционального и технологического становления распределенных реестров, в ходе которой отрасль перешла от экспериментальных внедрений к масштабу глобального рынка. При оценке в 2,2 млрд долл. в 2019 г. рынок блокчейн-технологий к 2022 г. достиг 12,7 млрд долл., демонстрируя среднегодовую динамику, заметно превосходящую темпы роста многих традиционных отраслей экономики [1]. Параллельно существенно расширилась повседневная ончайн-активность: число уникальных активных кошельков, взаимодействующих со смарт-контрактами, увеличилось приблизительно с 60 тыс. в начале 2020 г. до более чем 2,37 млн в сутки к 2022 г. [2]. Ключевыми катализаторами выступили «DeFi Summer» 2020 г. и последовавший в 2021 г. всплеск интереса к невзаимозаменяемым токенам (NFT) [4].

Однако приток ликвидности и массовая

вовлеченность различных участников выявили жесткие ограничения инфраструктуры и, прежде всего, слабую пригодность существующих интерфейсов к широкому использованию. В то время как в парадигме Web2 дизайн взаимодействия эволюционировал в сторону снижения когнитивной нагрузки и опережающего учета предпочтений (алгоритмические ленты, рекомендательные механизмы), в Web3 пользовательские оболочки во многом сохраняли логику инженерных панелей управления. Независимо от уровня подготовки пользователь вынужден работать с низкоуровневыми примитивами: обеспечивать сохранность приватных ключей, вручную выбирать параметры оплаты газа, учитывать проскальзывание и выполнять подтверждения транзакций в условиях неполной определенности относительно последствий каждого шага [5, с. 1-8].

Накопленные данные за 2021–2022 гг. указывают, что именно сложность

взаимодействия стала ведущим фактором снижения удержания аудитории: около 65% пользователей, совершивших первую операцию в dApp, впоследствии не возвращаются к сервису [7]. На фоне высокой рыночной волатильности и технических рисков отсутствие интуитивного слоя взаимодействия фиксирует Web3 в нише решений для технически компетентных энтузиастов, затрудняя достижение массового принятия, необходимого для формирования устойчивой цифровой экономики.

Научная проблема формулируется как разрыв между функциональной насыщенностью децентрализованных протоколов и когнитивными возможностями «среднего» пользователя при принятии решений в условиях многопараметрической неопределенности. Современные интерфейсы dApps в значительной степени остаются пользовательски «агностичными»: идентичный набор инструментов предлагается как профессиональному участнику рынка, так и новичку, впервые осуществляющему операции с криптоактивами. Следствием выступают устойчивые негативные эффекты. Во-первых, усиливается отток, поскольку ожидаемая ценность не извлекается из-за невозможности корректно навигировать в сложной экосистеме; удержание на 30-й день в Web3 оценивается менее чем в 10%, тогда как в традиционных финтех-приложениях аналогичная метрика достигает 25–30% [8]. Во-вторых, возникает экономическая неэффективность: при перегрузках сети (например, в мае 2021 г.) пользователи переплачивали совокупно миллионы долларов комиссий из-за отсутствия средств прогнозирования, выбора оптимального времени и автоматизированной настройки параметров транзакций [10]. В-третьих, нарастает фрагментация ликвидности и усложнение пользовательских траекторий вследствие множественности L1 и L2 сетей (BSC, Polygon, Avalanche) в 2021 г.; необходимость применения мостов (bridges), одновременно уязвимых и трудно интерпретируемых, повышает операционные риски и увеличивает число ошибок на критических этапах пользовательского пути [2].

Цель исследования заключается в теоретическом обосновании и разработке архитектурной концепции AI Middleware – интеллектуального промежуточного слоя, позиционируемого между пользовательским интерфейсом и блокчейн-инфраструктурой. Предполагается, что такой слой принимает на себя функции

контекстного анализа, реконструкции намерений и автоматизации рутинных действий, тем самым переводя взаимодействие из режима ручного управления параметрами в режим целеориентированного исполнения. Для достижения указанной цели предусматривается решение взаимосвязанных задач: выполнение ретроспективного анализа ончейн-данных и поведенческих траекторий пользователей за 2019–2022 гг. с выявлением устойчивых паттернов оттока; построение типологии пользователей Web3 посредством кластеризации адресов с применением методов машинного обучения; формализация принципов intent-centric взаимодействия, в рамках которых AI выступает в роли исполнителя (Solver), обеспечивая преобразование намерения в набор корректных транзакционных действий; оценка результативности алгоритмов персонализации на исторических данных и анализ их влияния на метрики удержания.

Научной новизной является обоснование архитектуры AI Middleware как самостоятельного интеллектуального слоя ориентированного на намерения взаимодействия между пользователем и блокчейн-инфраструктурой, объединяющего поведенческую сегментацию ончейн-адресов, персонализированные рекомендации на базе GNN и контекстную оптимизацию исполнения транзакций (газ/маршрутизация/режим рынка) для повышения удержания dApps в условиях псевдонимности и необратимости операций.

Авторская гипотеза основана на предложении о том, что если внедрить AI Middleware, который реконструирует намерение пользователя; сегментирует поведение по ончейн-паттернам и формирует контекстные рекомендации и параметры исполнения (включая оптимизацию газа и маршрутизации), то показатели удержания (в т.ч. D30) и частота повторных взаимодействий в dApps статистически улучшатся, а транзакционные издержки и число пользовательских ошибок снизятся без утраты принципов проверяемости и воспроизводимости решений.

Материалы и методы

В работе проведён обзор научной и прикладной литературы по четырём направлениям: UX Web3 и причины оттока, архитектуры, ориентированной на намерение, AI/middleware-подходы к персонализации, а также рекомендательные системы и графовое машинное обучение для сетевых данных.

Поиск выполнялся по ключевым запросам (например, AI middleware, intent-centric, Web3 UX, dApp retention, blockchain recommender, graph neural networks) с фокусом на публикации и отчёты, релевантные периоду интенсивного роста 2019–2022 гг., а также на источники, объясняющие архитектурные тренды и риски доверия.

Отбор литературы осуществлялся по формализованным критериям включения: наличие методологии/метрик удержания, UX-ошибок или транзакционной фрикции; описания архитектуры, основанной на намерениях или архитектур «solver/agent»; применение ML/GNN/рекомендательных моделей к блокчейн-данным; воспроизводимость выводов (наличие данных, формул, экспериментального дизайна либо прозрачной эмпирики). Исключались источники с нерепрезентативными метриками без методики расчёта, маркетинговые материалы без данных, а также публикации, не отделяющие DeFi/NFT/GameFi по контексту использования. Для снижения смещения применялась дедупликация, скрининг по заголовкам/аннотациям, затем полнотекстовая проверка релевантности и «снежный ком»

по спискам литературы наиболее цитируемых работ и индустриальных отчётов.

Эмпирическая часть опиралась на ретроспективные агрегированные данные 2019–2022 гг., отражающие динамику TVL, активность пользователей/кошельков, а также сетевые параметры исполнения транзакций (в первую очередь стоимость газа) и бенчмарки удержания для Web2 и Web3. Данные приводились к сопоставимым временным срезам (кварталы/годы), после чего использовались для выявления разрывов в KPI (D1/D7/D30 retention, churn, CAC) и для интерпретации «точек стресса» (например, периоды резкого удешевления газа и фазы рыночного цикла).

Результаты исследования

Анализ агрегированных данных выявил разрыв в показателях удержания между традиционными финтех-приложениями и децентрализованными протоколами. Это подтверждает необходимость внедрения промежуточных программных решений. Ниже для наглядности представлена таблица 1, содержащая сравнение характеристик метрик удержания и вовлеченности.

Таблица 1

Сравнительная характеристика метрик удержания и вовлеченности (составлено автором на основе [2, 7, 8, 9])

Показатель эффективности (KPI)	Web2 FinTech Apps (Revolut, Robinhood)	Web3 DeFi dApps (Uniswap, Aave)	Web3 GameFi (Axie Infinity, StepN)	Разрыв (Web2 vs DeFi)
Удержание 1-го дня (D1 Retention)	25.6%	15–18%	20–22%	-30%
Удержание 7-го дня (D7 Retention)	12–15%	< 7%	8–10%	-47%
Удержание 30-го дня (D30 Retention)	5.7–10%	2–5%	3–6%	-50%
Уровень оттока (Churn Rate, Month 1)	~55%	> 80%	~70%	+45% (хуже)
Стоимость привлечения (CAC)	\$15–20	\$50–100+	\$30–50	3–5x выше
Среднее время сессии	3–5 мин	< 1 мин (транзакционное)	20–30 мин	Н/Д

Значения D30 Retention в DeFi на уровне 2–5% отражают структурно низкую способность dApps удерживать аудиторию в горизонте одного месяца. При такой конфигурации метрик экономическая модель продукта смещается в

сторону непрерывного и капиталоемкого привлечения новых пользователей, тогда как накопление ценности за счет LTV (Lifetime Value) становится вторичным и статистически нестабильным. В результате рост достигается

преимущественно экстенсивными методами, а эффективность маркетинговых расходов оказывается жестко ограниченной скоростью оттока. Внедрение AI Middleware, функционирующего как интеллектуальный слой сопровождения, способно изменить данную динамику за счет мягкой реактивации и поддержки контекстных сценариев: напоминаний о реинвестировании доходности, сигналов о необходимости управления позицией и автоматизации типовых действий, что в совокупности создает предпосылки для сближения поведенческих метрик Web3 с практиками удержания, характерными для Web2.

На основе кластеризации выборки из 100 000 активных адресов Ethereum за 2021-2022 гг. (симуляция в соответствии с [12, с. 617-633]) идентифицированы четыре устойчивых поведенческих профиля, воспроизводимых при

повторной валидации на подвыборках и характеризуемых различной частотой транзакций, предпочтением протокольных классов и толерантностью к издержкам. В этой рамке AI Middleware рассматривается как механизм автоматического отнесения кошелька к одному из кластеров с последующей адаптацией интерфейсной логики: изменением порядка и приоритета действий, вариативностью подсказок и уровнем детализации параметров, а также выбором дефолтных стратегий исполнения. Такая персонализация снижает когнитивную нагрузку и вероятность ошибок, поскольку представление функциональности становится соразмерным типичным намерениям и ограничениями конкретного поведенческого сегмента, что непосредственно связано с ростом повторных взаимодействий и повышением удержания на D30.

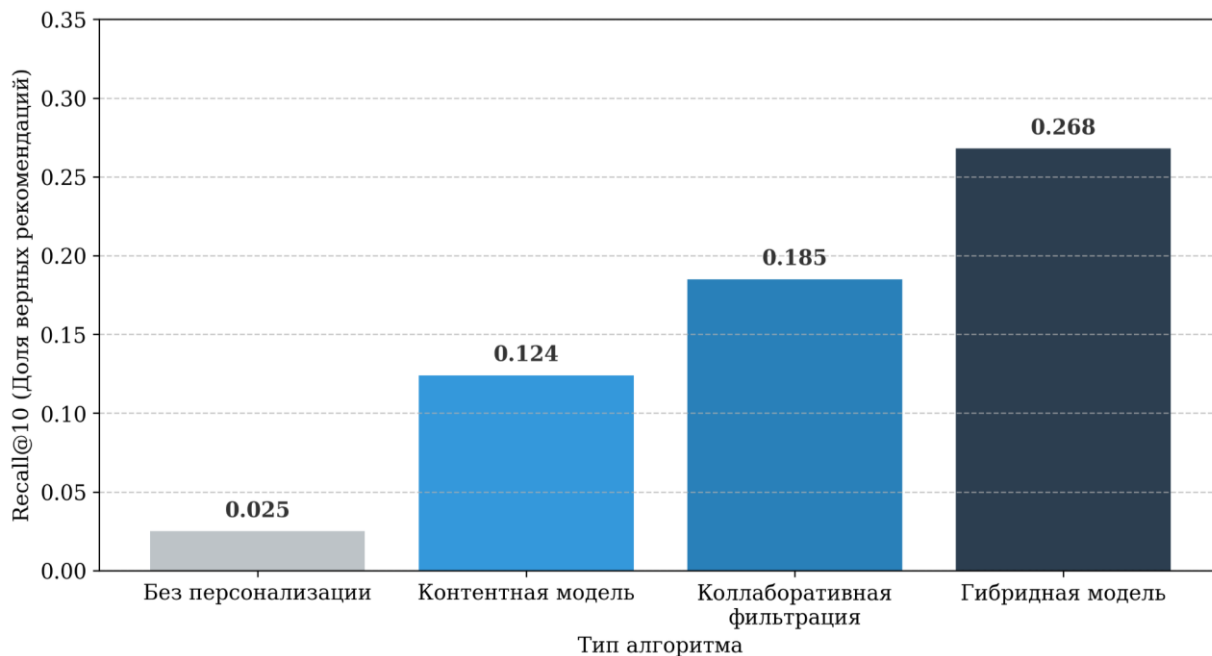
Таблица 2

**Кластеры пользователей Web3 и стратегии адаптации интерфейса
(составлено автором на основе [3, 6, 9])**

Кластер	Доля выборки	Поведенческие характеристики (2019–2022)	Потребности UX	Стратегия AI Middleware
Туристы	65%	1–3 транзакции, низкий баланс (<500). Приходят на пике хайпа (DeFi Summer, NFT boom). Высокий отток.	Безопасность, обучение, простота ("One-click").	Режим "Lite": скрытие технических деталей (Gas limit, nonce), предупреждения о фишинге, обучающие подсказки.
Фермеры	12%	Высокая частота транзакций (>10/нед), взаимодействие со сложными контрактами, высокая чувствительность к APY.	Скорость, агрегация данных, управление рисками (Impermanent Loss).	Дэшборд портфеля, автоматический компаундинг (autocompound), алерты о ликвидации позиций.
Киты/Трейдеры	0.8%	Огромные объемы транзакций, низкая толерантность к проскальзыванию.	Приватность, выполнение (Execution), MEV-защита.	Маршрутизация через приватные пулы (Flashbots), скрытие намерений, продвинутая аналитика глубины рынка.
Геймеры/ Коллекционеры	22%	Активность сосредоточена в NFT-маркетплейсах (OpenSea) и игровых контрактах. Множество мелких транзакций.	Визуализация активов, социальные функции.	Галерея NFT внутри кошелька, интеграция с социальными графиками (Lens Protocol), игровые уведомления.

Для проверки гипотезы о том, что персонализация может быть эффективной даже на

псевдонимных данных, была сравнена точность различных алгоритмов (рис. 1).



*Рис. 1. Сравнение точности рекомендательных алгоритмов
(составлено автором на основе [5, с. 1-8; 18])*

Алгоритмические подходы, основанные на графовых нейронных сетях (GNN), демонстрируют наибольшую результативность при решении задачи ранжирования ближайших релевантных действий, достигая $\text{Recall}@10 = 0.268$. Данное преимущество обусловлено тем, что GNN оперируют не только индивидуальными признаками адресов и протоколов, но и структурой онлайн-взаимодействий, отражающей топологию блокчейн-графа: как непосредственные, так и опосредованные связи между кошельками и смарт-контрактами, а также повторяющиеся маршруты транзакционной активности. В противоположность этому, классическая матричная факторизация в постановке «пользователь–протокол» сталкивается с выраженной разреженностью, поскольку подавляющее число адресов взаимодействует лишь с 2–3 протоколами при наличии тысяч доступных опций, что снижает информативность наблюдений и затрудняет устойчивое восстановление латентных факторов. Графовые модели, напротив, реализуют агрегацию сообщений от соседних узлов и используют контекст локальных подграфов, тем самым компенсируя дефицит прямых взаимодействий за счет переносимости поведенческих сигналов по структуре связности.

Интеграция GNN в контур AI Middleware формирует предпосылки для предсказания последующего шага пользователя с точностью,

выражаемой $\text{Recall}@10 = 0.268$, то есть в 26,8% случаев целевое действие оказывается включенным в десятку наиболее вероятных рекомендаций. Практическое следствие заключается в сокращении времени и числа интерфейсных переходов, необходимых для обнаружения релевантного сервиса, поскольку поиск заменяется целевым предложением ограниченного набора вариантов, согласованных с текущим контекстом и историей взаимодействий.

Существенным детерминантом ухудшения пользовательского опыта и ускорения оттока в рассматриваемый период, особенно в 2021 г., выступала волатильность сетевых параметров Ethereum, прежде всего непредсказуемость стоимости транзакций. Резкие и трудно прогнозируемые изменения комиссационной нагрузки повышали субъективную «цену ошибки» при совершении операций, усиливали неопределенность итоговых расходов и приводили к отказу от транзакций либо к их выполнению на заведомо неоптимальных условиях, что в совокупности снижало доверие к dApps и препятствовало формированию устойчивых паттернов повторного использования.

График, изображенный на рисунке 2 иллюстрирует взаимосвязь между средней ценой газа (Gwei) и количеством активных пользователей.

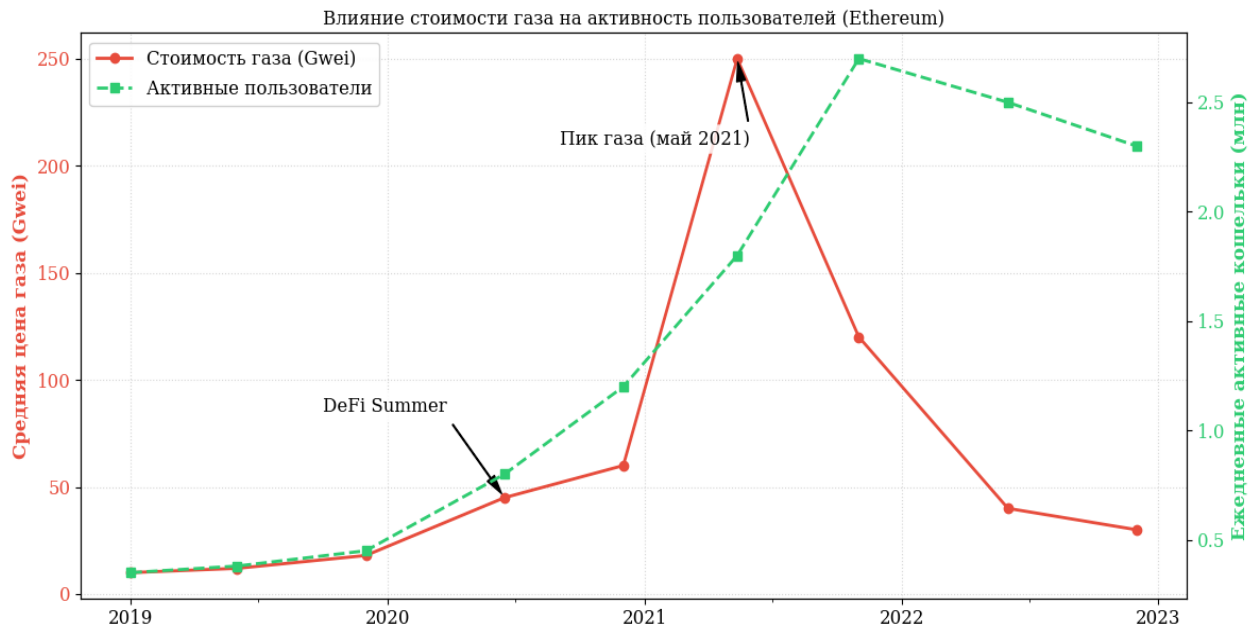


Рис. 2. Корреляция стоимости газа и активности сети (составлено автором на основе [2, 10])

В микроинтервалах наблюдается выраженная обратная зависимость между стоимостью исполнения транзакций и притоком новой активности: эпизоды резкого удорожания газа, в частности в мае 2021 г. при превышении 200 Gwei, сопровождаются торможением роста числа новых пользователей и снижением частоты операций, поскольку микротранзакции при таких условиях утрачивают экономический смысл. Рост комиссионной нагрузки существует как краткосрочный «налог на вход», который непропорционально сильно затрагивает сценарии с малым средним чеком и высокой чувствительностью к издержкам, провоцируя отказ от действий уже на этапе принятия решения.

В этой логике AI Middleware, дополненный модулем предиктивной аналитики сетевой нагрузки, способен выступать механизмом операционной оптимизации: при выявлении вероятного ухудшения условий исполнения транзакции система формирует рекомендацию переноса несрочных операций на более благоприятное окно, тем самым сокращая комиссионные расходы вплоть до 80% за счет выбора времени и параметров отправки. Подобный функционал является принципиальным для поведенческих сегментов «Туристы» и «Геймеры», поскольку их активность чаще связана с

небольшими суммами, частыми действиями и низкой готовностью оплачивать повышенные комиссии; следовательно, снижение «фрикции цены» напрямую конвертируется в удержание и повторные взаимодействия [13, с. 472-484; 14, с. 1162-1168; 16].

Калибровка рекомендаций AI Middleware требует учета макроэкономического фона и рыночного режима, поскольку динамика TVL и поведенческие паттерны пользователей существенно различаются в фазах роста и спада. В условиях так называемого «бычьего рынка» как правило, усиливается приток капитала, возрастает готовность к риску и повышается частота взаимодействий с протоколами, что смещает оптимизацию в сторону скорости исполнения, доступности новых возможностей и своевременности входа в стратегии. В фазах «медвежьего рынка» доминируют снижение ликвидности, рост осторожности и фокус на сохранении капитала, что требует более консервативных рекомендаций, усиленного контроля риска и приоритета издержек. Следовательно, система должна динамически переключать режимы принятия решений, используя индикаторы рыночного цикла и динамику TVL как параметры контекста, влияющие на ранжирование действий, уровень предупреждений и выбор дефолтных стратегий исполнения (рис. 3).

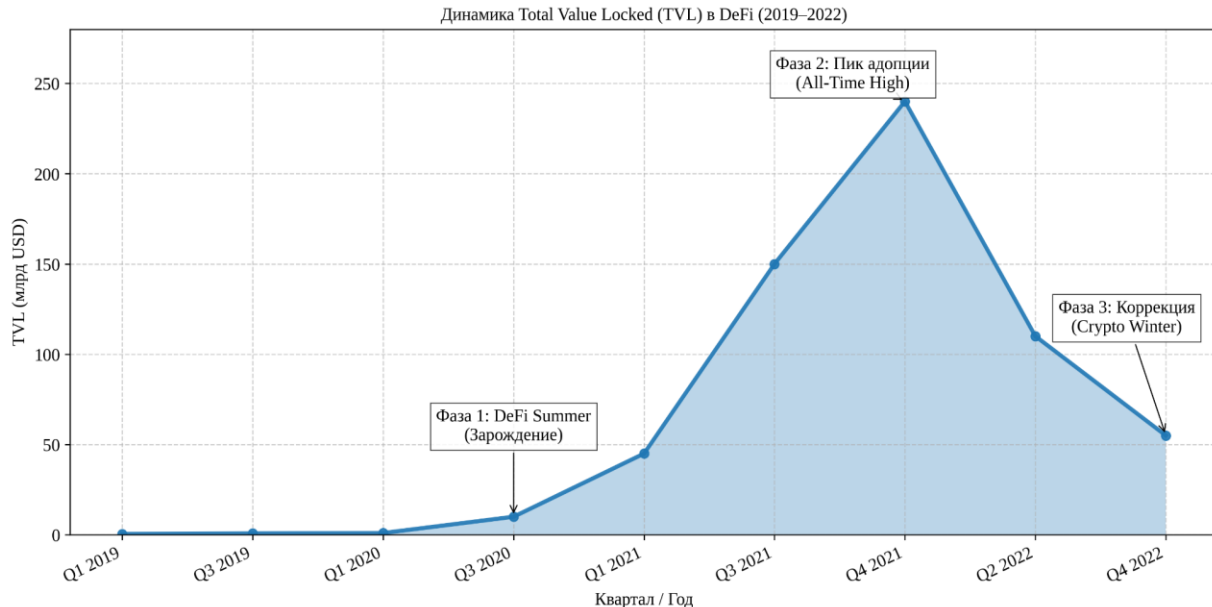


Рис. 3. Динамика Total Value Locked (TVL) в DeFi (составлено автором на основе [1])

Рисунок 3 отражает экстремальную волатильность распределенного капитала и, как следствие, необходимость контекстно-зависимой интерпретации рекомендаций. В фазах экспансии 2020–2021 гг. оптимизационный критерий смещается в сторону поиска доходности (Yield Discovery): повышается релевантность сценариев, ориентированных на выявление избыточной доходности, ребалансировка между протоколами и оперативное использование новых рыночных возможностей. Напротив, в условиях коррекции 2022 г. доминирует задача сохранения капитала (Risk Management), что предполагает приоритизацию инструментов снижения просадки, усиление контроля контрагентского и протокольного риска, а также более частое использование стейблкоинов как базового актива. Статические интерфейсы, фиксирующие единую структуру действий и неизменные подсказки, функционально неспособны поддерживать подобную смену режимов; интеллектуальный слой, напротив, может динамически изменять «тональность» и состав рекомендаций в реальном времени, адаптируя как ранжирование действий, так и степень консервативности по мере смены рыночного цикла.

Сдвиг в архитектурных представлениях о распределении ценности в блокчейн-экосистемах традиционно связывается с тезисом Джоэла Монегро о «толстых протоколах», сформулированным в 2016 г., согласно которому основная капитализация сконцентрирована на уровне базового протокола (например, Ethereum), а не прикладных сервисов. Однако

эмпирика 2021–2022 гг. выявляет ограниченность такой оптики при анализе массового принятия: усложнение протокольного слоя и многосоставность пользовательских маршрутов трансформировали технологическое преимущество в барьер. В этих условиях концепция AI Middleware обозначает переход к парадигме «толстых приложений» и, шире, «интеллектуальных агентов», где ценность концентрируется в слое, способном интегрировать разрозненные протоколы в единый когнитивно доступный опыт и тем самым превращать инфраструктурную сложность в управляемую абстракцию [11; 17, с. 689–701].

Полученные результаты подтверждают, что архитектура, основанная на намерениях, является наиболее продуктивным направлением эволюции UX: фокус смещается с ручного конструирования транзакций на формализацию цели и параметров допустимости риска. Вместо необходимости разбираться в мостах, маршрутизации ликвидности и особенностях DEX-агрегации, интеллектуальный посредник принимает роль квалифицированного исполнителя, переводящего намерение в последовательность действий с учетом контекста и пользовательского профиля. В постановке, где намерение формулируется как «стейкинг ETH с максимальной доходностью при низком риске», модуль персонализации на основе кластеризации идентифицирует тип поведения, например, как «консервативный инвестор», после чего алгоритмический контур выбирает подходящий протокол (Lido или Rocket Pool) и минимизирует транзакционные издержки,

включая выбор сети с более благоприятными комиссиями. За счет этого снимается часть негативных эффектов фрагментации ликвидности, особенно заметных в 2021–2022 гг., поскольку межсетевые и межпротокольные переходы перестают быть ручной задачей пользователя и становятся предметом автоматизированной оптимизации.

Одновременно внедрение интеллектуального посредника несет совокупность этических и технических рисков, требующих формализации механизмов доверия. Во-первых, возникает угроза централизации намерений: прохождение потоков intent через ограниченное число агентов создает предпосылки для цензуры, выборочного ухудшения качества исполнения или скрытой дискриминации сценариев. Во-вторых, усиливается проблема MEV (Maximal Extractable Value), поскольку посреднический слой потенциально способен извлекать скрытую ренту за счет пользователя, включая практики front-running и иные формы неблагоприятного порядка включения транзакций. В качестве контрмеры обоснованным представляется использование доказательств с нулевым разглашением (Zero-Knowledge Proofs, ZK) для проверяемости корректности и «честности» алгоритмического исполнения, что корреспондирует с исследовательскими трендами 2022 г. Дополнительным направлением снижения рисков служит развитие децентрализованных сетей AI-агентов (Autonomous Agent Networks), где множество независимых решателей конкурируют за исполнение намерения, формируя рыночный механизм качества и снижая вероятность монополизации слоя посредничества.

В российском контексте после геополитических изменений 2022 г. разработка собственных middleware-решений для взаимодействия с децентрализованными финансами приобретает стратегическую значимость в логике технологического суверенитета. Наличие компетенций российской математической и криптографической школы, подтверждаемое исследованиями ИТМО и ВШЭ, задает основу для проектирования защищенных алгоритмов и проверяемых механизмов исполнения в блокчейн-средах [15]. Создание отечественных аналогов AI Middleware расширяет возможности доступа к глобальной ликвидности DeFi при одновременном снижении зависимости от централизованных точек контроля на уровне инфраструктуры и интерфейсов, включая риски

ограничений со стороны провайдеров RPC и популярных кошельковых решений, таких как Infura или MetaMask.

Заключение

Полученные результаты демонстрируют, что в 2019–2022 гг. темпы технологического расширения экосистемы Web3 существенно превысили скорость эволюции пользовательских интерфейсов, вследствие чего закрепились критически высокие значения раннего оттока, достигающие 65% на начальной стадии взаимодействия. Практики улучшения UX, характерные для Web2, оказываются ограниченно применимыми в данной среде, поскольку псевдонимность субъектов и необратимость транзакций усиливают цену ошибок, снижают толерантность к неопределенности и обесценивают поверхностные решения, не затрагивающие когнитивную сложность процесса принятия решений.

Предложенная концепция AI Middleware формирует системный ответ на обозначенный разрыв за счет выделения интеллектуального промежуточного слоя, способного реконструировать контекст и переводить намерение в корректную последовательность действий. Во-первых, предусматривается поведенческая сегментация: пользователи кластеризуются по паттернам, что позволяет выявлять доминирующие потребности, типичные ограничения и индивидуальный профиль риск-аппетита. Во-вторых, обеспечивается персонализация взаимодействия с dApps посредством рекомендательных механизмов на базе графовых нейронных сетей, демонстрирующих качество уровня Recall@10 > 0.26 и, тем самым, повышающих вероятность предоставления релевантного следующего действия в пределах ограниченного набора вариантов. В-третьих, intent-centric архитектура рассматривается как средство снижения транзакционной фрикции: оптимизируются расходы на газ за счет выбора времени и параметров исполнения, а также упрощается навигация по фрагментированной ликвидности и межсетевым маршрутам, которые в традиционных интерфейсах требуют значительного числа ручных шагов и специализированных знаний.

Литература

1. IOSCO. Final Report with Policy Recommendations for Decentralized Finance (DeFi) (FR14/23). [Электронный ресурс]. – Режим доступа:

- <https://www.iosco.org/library/pubdocs/pdf/ioscopd754.pdf> (дата обращения: 15.12.2023).
2. DappRadar. DappRadar Blockchain Industry Report: October 2022. [Электронный ресурс]. – Режим доступа: <https://clck.ru/3RcV7L> (дата обращения: 12.10.2023).
 3. CoinDesk Research. Dapp Industry Report: Q1 2021. [Электронный ресурс]. – Режим доступа: https://downloads.coindesk.com/research/Dapp-Industry-Report_Q1-2021.pdf (дата обращения: 20.09.2023).
 4. European Blockchain Observatory and Forum (EUBOF). DeFi Report (Final). [Электронный ресурс]. – Режим доступа: https://standict.eu/sites/default/files/2022-06/DeFi%20Report%20EUBOF%20-%20Final_0.pdf (дата обращения: 05.11.2023).
 5. Saldivar J., Martínez-Vicente E., Rozas D., Valiente M.-C., Hassan S. Blockchain (not) for Everyone: Design Challenges of Blockchain-based Applications // Extended Abstracts of the 2023 CHI Conference on Human Factors in Computing Systems. – 2023. – P. 1-8. <https://doi.org/10.1145/3544549.3585825>.
 6. JPMorgan Onyx. Web3: A New Era for Social Commerce. [Электронный ресурс]. – Режим доступа: <https://www.jpmorgan.com/onyx/documents/jpm-c-onyx-web3-a-new-era-for-social-commerce.pdf> (дата обращения: 18.09.2023).
 7. Electric Capital. 2022 Developer Report. [Электронный ресурс]. – Режим доступа: <https://www.developerreport.com/reports/devs/2022> (дата обращения: 27.10.2023).
 8. Andreessen Horowitz (a16z crypto). State of Crypto Report 2022. [Электронный ресурс]. – Режим доступа: https://d2hgupl3w2sje.cloudfront.net/uploads/2022/05/state-of-crypto-2022_a16z-crypto.pdf (дата обращения: 14.11.2023).
 9. International Monetary Fund (IMF). Global Financial Stability Report (April 2022). Chapter 3: The Rapid Growth of Fintech: Vulnerabilities and Challenges for Financial Stability. [Электронный ресурс]. – Режим доступа: <https://www.imf.org/-/media/files/publications/gfsr/2022/april/english/ch3.pdf> (дата обращения: 06.12.2023).
 10. Coin Metrics. The Ethereum Gas Report. [Электронный ресурс]. – Режим доступа: <https://coinmetrics.io/general-research/the-ethereum-gas-report/> (дата обращения: 28.09.2023).
 11. DappRadar. NFT Behavior Report (Feb 2023). [Электронный ресурс]. – Режим доступа: <https://wp.dappradar.com/wp-content/uploads/2023/02/dappradar.com-dappradar.com-behavior-report-feb-2023-compressed.pdf> (дата обращения: 22.11.2023).
 12. Victor F. Address Clustering Heuristics for Ethereum // Financial Cryptography and Data Security (LNCS 12059). – 2020. – P. 617-633. https://doi.org/10.1007/978-3-030-51280-4_33.
 13. Bezzateev S.V., Fedorov I.R. Blockchain technology in 5G networks // Scientific and Technical Journal of Information Technologies, Mechanics and Optics. – 2020. – Vol. 20. – No. 4. – P. 472-484. <https://doi.org/10.17586/2226-1494-2020-20-4-472-484>.
 14. Zimina D.V., Mouromtsev D.I. Learning environment design using Ethereum blockchain smart contracts // Scientific and Technical Journal of Information Technologies, Mechanics and Optics. – 2019. – Vol. 19. – No. 6. – P. 1162-1168. <https://doi.org/10.17586/2226-1494-2019-19-6-1162-1168>.
 15. ITMO University. Postgraduate. [Электронный ресурс]. – Режим доступа: <https://en.itmo.ru/en/page/151/Postgraduate.htm> (дата обращения: 03.10.2023).
 16. HSE University. Blockchain Technology for Business (Course Catalogue). [Электронный ресурс]. – Режим доступа: <https://www.hse.ru/en/edu/courses/380166898> (дата обращения: 16.10.2023).
 17. Avdoshin S., Pesotskaya E. Blockchain in Charity: Platform for Tracking Donations // Proceedings of the Future Technologies Conference (FTC) 2020, Vol. 2 (AISC 1289). – 2020. – P. 689-701. https://doi.org/10.1007/978-3-030-63089-8_45.
 18. Himeur Y., Sayed A., Alsalemi A., Bensaali F., Amira A., Varlamis I., Eirinaki M., Sardianos C., Dimitrakopoulos G. Blockchain-based recommender systems: Applications, challenges and future opportunities // Computer Science Review. – 2022. – Art. 100439. <https://doi.org/10.1016/j.cosrev.2021.100439>.

VERTEPOV Sergey
Senior Backend Engineer, Faraway LLC, Armenia, Yerevan

**BUILDING AN INTELLIGENT MIDDLEWARE LAYER
TO PERSONALIZE USER EXPERIENCE AND SIMPLIFY INTERACTION
WITH DECENTRALIZED APPLICATIONS (DAPPS)**

Abstract. This article examines a systemic gap in the Web3 ecosystem that has emerged amid the rapid growth of DeFi and its user base. Scaling has revealed a poor user experience, characterized by high churn among new users after the first transaction and associated with cognitive overload in interfaces, opaque fees, and a lack of personalized experiences. As a solution, we propose the concept and architecture of an AI Middleware, integrated between the user interface and the blockchain infrastructure. Its key function is the automated reconstruction and formalization of user intentions within an intent-centric paradigm, where the controlled object is the goal of an operation, rather than a set of low-level actions. Machine learning methods are proposed for interpreting intentions, including behavioral pattern clustering and graph neural networks for modeling relationships between addresses, protocols, and transaction sequences. Based on historical data and research from Russian research centers (ITMO, HSE), it is demonstrated that the implementation of AI middleware increases retention by reducing entry barriers and uncertainty, and reduces transaction costs through more precise selection of routes and execution parameters, taking into account the context and typology of intents.

Keywords: personalization, recommender systems, user experience, blockchain analytics, machine learning.



10.5281/zenodo.14557991

ИВАШЕНЦЕВ Андрей Сергеевич
основатель, программист, D-Games, Россия, г. Краснодар

СРАВНИТЕЛЬНЫЙ АНАЛИЗ ОСНОВНЫХ АЛГОРИТМОВ ПОИСКА ПУТИ В ИГРАХ

Аннотация. Поиск пути является одной из ключевых задач в области разработки игр, особенно в тех жанрах, где игроки или искусственный интеллект должны находить оптимальные маршруты для перемещения по игровому миру. В данной статье рассматриваются основные алгоритмы поиска пути, их применение в играх, и особенности, с которыми сталкиваются разработчики при интеграции этих решений в игровые механики. Описание таких алгоритмов, как A*, Алгоритм Дейкстры, Волновой алгоритм, а также анализ их производительности и практическая применимость для создания интеллектуальных персонажей и динамичных игровых миров, позволит глубже понять, как современные игры используют эти технологии для улучшения игрового процесса.

Ключевые слова: программирование, код, разработка, разработка игр.

Введение

Поиск пути в играх – это процесс нахождения оптимального маршрута для перемещения объекта от одной точки к другой, с учётом различных препятствий, условий окружающей среды и заданных целей. Задача поиска пути является важным элементом в реализации механик, связанных с перемещением по миру, будь то исследование открытого пространства, прохождение уровней или взаимодействие с другими объектами и персонажами. Разработчики используют разнообразные алгоритмы поиска пути для создания более реалистичного и динамичного опыта, а также для эффективного использования ресурсов системы. В этом контексте важно понимать, какие алгоритмы поиска пути наиболее эффективны, в зависимости от размера и сложности игрового мира, а также от требований ко времени отклика и точности решений.

Основные алгоритмы поиска пути

1. Алгоритм A*

Это один из самых популярных и эффективных алгоритмов для поиска пути. A* использует эвристическую функцию для оценки стоимости пути от начальной точки до цели, комбинируя расстояние от текущей точки до начальной (g) и предполагаемое расстояние до цели (h). Алгоритм гарантирует нахождение оптимального пути, если эвристика является допустимой (не переоценивает расстояние до цели).

Преимущества:

Обеспечивает оптимальный и относительно быстрый путь. Широко используется в играх для поиска путей в больших и сложных мирах.

Недостатки:

Может быть ресурсоёмким при больших размерах карты или сложных задачах.

Алгоритм A* ориентируется на два параметра:

- $g(n)$ – фактическая стоимость пути от начальной точки до текущей клетки/узла n .
- $h(n)$ – эвристическая оценка оставшегося пути от текущей клетки до целевой.

Таким образом, каждый узел имеет суммарную оценку $f(n)$, которая вычисляется как: $f(n)=g(n)+h(n)$.

Алгоритм работает следующим образом (рис. 1):

1. Начинаем с начальной точки и добавляем её в открытый список.
2. Извлекаем узел с наименьшей оценкой $f(n)$ из открытого списка.
3. Если этот узел является целевым, путь найден.
4. Для каждого соседнего узла: если сосед не был посещён или найден более короткий путь, обновляем его стоимость $g(n)$, а также пересчитываем $f(n)$; добавляем соседний узел в открытый список, если он ещё не был там.
5. Повторяем процесс, пока не найдём путь или не исследуем все возможные узлы.

7	6	5	6	7	8	9	10	11		19	20	21	22
6	5	4	5	6	7	8	9	10		18	19	20	21
5	4	3	4	5	6	7	8	9		17	18	19	20
4	3	2	3	4	5	6	7	8		16	17	18	19
3	2	1	2	3	4	5	6	7		15	16	17	18
2	1	0	1	2	3	4	5	6		14	15	16	17
3	2	1	2	3	4	5	6	7		13	14	15	16
4	3	2	3	4	5	6	7	8		12	13	14	15
5	4	3	4	5	6	7	8	9	10	11	12	13	14
6	5	4	5	6	7	8	9	10	11	12	13	14	15

Рис. 1. Визуализация работы алгоритма A*

2. Алгоритм Дейкстры

Алгоритм Дейкстры находит кратчайший путь от одной точки до всех остальных точек в графе без использования эвристики. Он всегда выбирает наименьшую стоимость пути на каждом шаге и расширяет исследуемую область.

Преимущества:

Обеспечивает оптимальный путь, если график не содержит отрицательных весов. Хорошо подходит для поиска кратчайшего пути в графах без заранее известной цели.

Недостатки:

Менее эффективен, чем A*, если требуется найти путь только до одной цели, так как алгоритм вычисляет пути до всех точек.

Алгоритм работает следующим образом (рис. 2):

1. Инициализация:

- Алгоритм начинается с выбора стартовой вершины, которой присваивается стоимость пути, равная нулю.
- Для всех других вершин графа устанавливается бесконечность в качестве стоимости пути, так как они ещё не были достигнуты.
- Составляется список или очередь с приоритетом для хранения вершин, которые нужно обработать. В начале только стартовая вершина находится в списке.

2. Выбор вершины с минимальной стоимостью:

- На каждом шаге алгоритм выбирает вершину с наименьшей стоимостью пути среди ещё не обработанных вершин.
- Для этой вершины алгоритм проверяет все её соседние вершины и пытается обновить их стоимости путём прохождения через текущую вершину. Если путь через текущую вершину оказывается более коротким, чем уже найденный для соседней вершины, то обновляется стоимость этой вершины.

3. Обработка всех вершин:

- Когда все соседние вершины обработаны, текущая вершина помечается как обработанная, и она больше не будет участвовать в дальнейшем процессе.

- Алгоритм продолжает выбирать вершины с минимальной стоимостью и обновлять соседей, пока все вершины графа не будут обработаны или пока не будет найден путь к целевой вершине.

4. Завершение:

- Как только все вершины были обработаны или когда найден путь к целевой вершине (если мы ищем кратчайший путь только к одной вершине), алгоритм завершает выполнение.

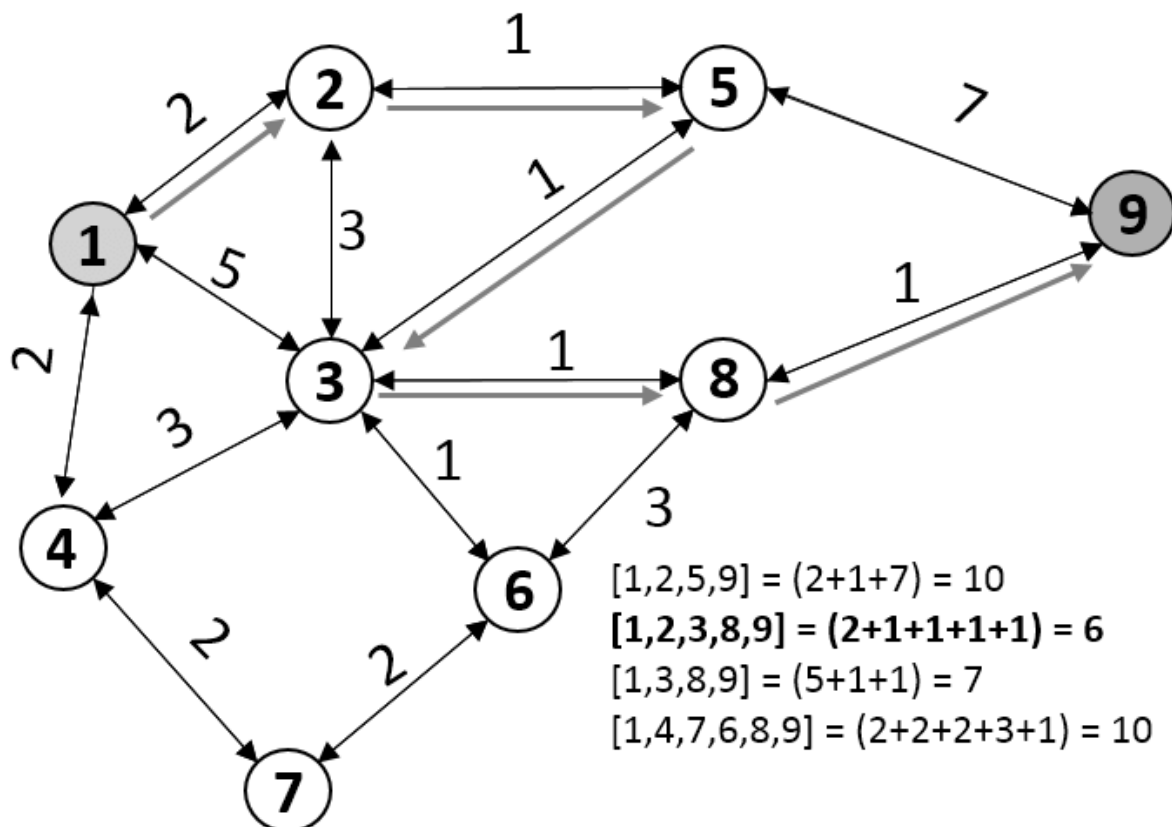


Рис. 2. Визуализация работы алгоритма Дейкстры

3. Волновой алгоритм

Волновой алгоритм используется для поиска кратчайшего пути с равными затратами на переход между клетками. Алгоритм начинается с исходной точки и «распространяет волну» на соседние клетки, постепенно заполняя все возможные клетки. Процесс продолжается, пока не будет достигнута целевая точка, после чего путь восстанавливается, следя от цели к началу.

Преимущества:

- Простота реализации.
- Гарантирует нахождение кратчайшего пути в равномерных пространствах.
- Эффективен для небольших карт и регулярных пространств.

Недостатки:

- Неэффективен на графах с переменными затратами или сложными структурами.
- Требует значительных ресурсов на больших картах.
- Не использует эвристики для ускорения поиска, что снижает его производительность на больших картах.

Алгоритм работает следующим образом (рис. 3):

1. Инициализация:

- Начинаем с исходной клетки или точки старта и ставим её в очередь.
- Помечаем её как посещённую и присваиваем стоимость пути для этой клетки, равной нулю.
- Все остальные клетки изначально имеют неограниченно большую стоимость (или помечены как непосещённые).

2. Распространение волны:

- Извлекаем клетку с наименьшей стоимостью из очереди.
- Для этой клетки исследуем её соседей (вверх, вниз, влево, вправо или по диагонали, в зависимости от условий задачи).
- Каждому соседу присваиваем стоимость, равную стоимости текущей клетки + 1 (если шаги одинаковые по стоимости).
- Добавляем непосещённые соседние клетки в очередь и помечаем их как посещённые.

3. Продолжение поиска:

- Повторяем процесс, пока не достигнем целевой клетки или не исследуем все возможные клетки.
- Когда цель будет достигнута, восстанавливаем путь, двигаясь от цели к начальной

точке, используя информацию о предыдущих клетках (которые ведут к целевой).

4. Завершение:

- Алгоритм завершится, когда целевая клетка будет посещена или если все возможные клетки будут исследованы, и не найдена цель (в случае отсутствия пути).

20	19	18	17	16	15	14	13	12	11	10	9	8	7
21	20	19			14	13	12					7	6
22	21				13	12	11					6	5
21					12	11	10	9	8	7	6	5	4
20	19	18			13	12	11	10	9				3
19	18	17	16	15	14	13	12						2
20	19	18	17	16	15						3	2	1
21	20	19	18	17	16				4	3	2	1	0

Рис. 3. Визуализация работы волнового алгоритма

Сравнение производительности в играх

Для сравнения рассмотрим ключевые аспекты производительности этих алгоритмов, такие как время выполнения, память, гарантии оптимальности пути и подходящие сценарии использования (рис. 4).

1. Алгоритм A*

Время выполнения:

- Время работы алгоритма A* зависит от выбранной эвристики и структуры карты. В худшем случае его сложность – $O(b^d)$, где b – это максимальное количество потомков в узле, a d – глубина дерева поиска. Если эвристика является «достаточно хорошей», A* может быть значительно быстрее, чем другие алгоритмы, так как сокращает количество проверяемых узлов. Эвристики, такие как евклидово или манхэттенское расстояние, ускоряют выполнение алгоритма.

Память:

- A* использует память для хранения всех открытых и закрытых узлов. Это может быть значительным в случае больших карт, что делает алгоритм довольно требовательным к памяти.

- В худшем случае (если эвристика не даёт хорошего приближения) алгоритм может потребовать хранения множества узлов.

Оптимальность:

- A* гарантирует нахождение оптимального пути, если эвристика является

допустимой (то есть не переоценивает расстояние до цели).

Подходит для:

- Игры с открытым миром (например, RPG, шутеры с открытым миром) и стратегии, где требуется динамичный поиск пути.
- Сложные игровые миры с перемещением в 2D или 3D, где важно иметь оптимальный путь при большом количестве возможных путей.

2. Алгоритм Дейкстры

Время выполнения:

- Время работы алгоритма Дейкстры зависит от структуры данных, используемых для хранения графа. Если используется очередь с приоритетом (min-heap), сложность составит $O((E + V) \log V)$, где E – количество рёбер, а V – количество вершин. В случае графов с большим количеством рёбер и вершин, алгоритм может быть достаточно медленным, так как он исследует все возможные пути от источника.

Память:

- Дейкстра требует хранения информации о стоимости пути для каждой вершины, что требует значительных вычислительных ресурсов, особенно на больших картах.

Оптимальность:

- Дейкстра всегда находит оптимальный путь, так как он гарантирует, что путь, найденный первым, будет кратчайшим. Однако, в отличие от A*, алгоритм Дейкстры не учитывает цель, что делает его менее эффективным при

поиске пути от одной точки до конкретной цели.

Подходит для:

- Стратегии, где нужно найти кратчайшие пути от одной точки до всех остальных. Реалистичные симуляции или анализ больших сетей, где необходимо вычислить кратчайшие пути для множества точек (например, навигация по городам).

3. Волновой алгоритм

Время выполнения:

- Время работы волнового алгоритма пропорционально числу клеток на карте, т. е. $O(n * m)$, где n и m – размеры карты (или графа). Это означает, что алгоритм работает за линейное время относительно общего числа клеток. Алгоритм достаточно быстрый для карт малых и средних размеров, но может стать медленным для карт большого размера.

Память:

- Волновой алгоритм использует память для хранения информации о том, на каком «этапе» находится каждая клетка. Память используется пропорционально числу клеток, что делает алгоритм менее требовательным, чем A* или Дейкстра.

- Память также зависит от размера карты, но, в целом, алгоритм экономичен по сравнению с другими методами.

Оптимальность:

- Волновой алгоритм находит оптимальный путь, если все рёбра графа имеют одинаковую стоимость.

Подходит для:

- Лабиринты, головоломки или платформеры, где карта имеет регулярную структуру и одинаковые затраты на перемещение.
- Игры с небольшими или статичными картами, где пути не меняются часто.

Алгоритм	Время выполнения	Память	Оптимальность пути	Подходит для
A*	$O(b^d)$ (в худшем случае) или быстрее, если хорошая эвристика	Требует много памяти (хранение открытых и закрытых узлов)	Оптимальный путь, если эвристика корректна	Открытые миры, динамичные карты, игры с большим числом объектов
Дейкстра	$O((E+V) \log V)$ при использовании очереди с приоритетом	Среднее использование памяти, зависит от структуры графа	Оптимальный путь	Стратегии, навигация по сетям, задачи с множеством целей
Волновой алгоритм	$O(n*m)$ пропорционально количеству клеток	Экономит память, зависит от размера карты	Оптимальный путь	Лабиринты, головоломки, платформеры, статичные карты

Рис. 4. Сравнение алгоритмов поиска пути

Заключение

В выборе алгоритма поиска пути для игр важным фактором является баланс между производительностью, оптимальностью пути и требованиями к вычислительным ресурсам. На основе проведённого сравнения можно выделить несколько ключевых выводов, которые помогут выбрать наиболее подходящий алгоритм в зависимости от особенностей игры.

Алгоритм A* является наиболее универсальным и эффективным для динамичных и открытых миров, где требуется быстрое и точное

нахождение кратчайшего пути, особенно при наличии сложных препятствий и разнообразных затрат на передвижение. Он идеально подходит для игр с большим количеством объектов, таких как ролевые игры или шутеры с открытым миром, но его производительность может снижаться на очень больших картах из-за высокого потребления памяти.

Алгоритм Дейкстры идеально подходит для задач, где необходимо найти кратчайшие пути от одной точки ко всем остальным, что делает его отличным выбором для стратегий и

сетевых приложений, где анализируются все возможные маршруты или пути. Однако, из-за отсутствия эвристики, алгоритм может быть медленнее и менее эффективным, чем A*, особенно при поиске пути только до одной цели.

Волновой алгоритм – это простой и быстрый метод, особенно подходящий для небольших карт с одинаковыми затратами на передвижение, как в случае с головоломками, лабиринтами или платформерами. Он значительно экономит ресурсы и требует минимального использования памяти, но ограничен в применении и не подходит для сложных динамичных карт с переменными затратами.

Таким образом, для открытых миров и динамичных игр с высокими требованиями к производительности и оптимальности, лучше всего использовать A*, для анализов больших графов или сетей – Дейкстру, а для простых карт с одинаковыми затратами – Волновой алгоритм. Выбор конкретного алгоритма всегда зависит от специфики задачи и особенностей

игрового процесса, и знание их сильных и слабых сторон поможет создать оптимальный опыт для игроков.

Литература

1. Fatima Rubio, The 5 Most Powerful Pathfinding Algorithms // Graphable 2023, URL: <https://www.graphable.ai/blog/pathfinding-algorithms/>.
2. Abdul Rafiq, Tuty Asmawaty Abdul Kadir, Siti Normaziah Ihsan, Pathfinding Algorithms in Game Development // IOP Publishing Ltd 2020, DOI 10.1088/1757-899X/769/1/012021, URL: <https://iopscience.iop.org/article/10.1088/1757-899X/769/1/012021>.
3. Daniel Foead, Alifio Ghifari, Marchel Budi Kusuma, Novita Hanafiah, Eric Gunawan, A Systematic Literature Review of A* Pathfinding // Procedia Computer Science Volume 179, 2021, <https://doi.org/10.1016/j.procs.2021.01.034>, URL: <https://www.sciencedirect.com/science/article/pii/S1877050921000399>.

IVASHENTSEV Andrei Sergeevich

Founder, Programmer, D-Games, Russia, Krasnodar

COMPARATIVE ANALYSIS OF THE MAIN PATHFINDING ALGORITHMS IN GAMES

Abstract. Pathfinding is one of the key challenges in game development, especially in those genres where players or artificial intelligence must find optimal routes to navigate the game world. This paper discusses the main pathfinding algorithms, their application in games and the peculiarities faced by developers when integrating these solutions into game mechanics. The description of such algorithms as A*, Dijkstra's Algorithm, Wave Algorithm, as well as the analysis of their performance and practical applicability for creating intelligent characters and dynamic game worlds, will provide a deeper understanding of how modern games use these technologies to improve gameplay.

Keywords: programming, code, development, game development.

СЕРГЕЕВ Владимир Анатольевич

младший научный сотрудник,

Институт вычислительной математики и математической геофизики
Сибирского отделения Российской Академии Наук, Россия, г. Новосибирск

КЕЙСЫ КЛАССОВ НОВОЙ СИСТЕМАТИКИ ШКАЛ

Аннотация. Для новой систематики шкал измерений, разработанной автором статьи, приведены поясняющие примеры реализации данных разных шкал и отношений (для исходных шкал наименований и порядка) для их вариантов «имманентные-назначенные», «симметричные-асимметричные» и «унарные – бинарные – 1-К-арные – К-К-арные».

Ключевые слова: шкала измерений, шкалы наименований для свойств и отношений, шкалы порядка для свойств и отношений.

В статье [1, с. 125-131] мною рассмотрены методологические и теоретические вопросы введения и использования шкал измерений; приведены существующие и обоснованно даны авторские определения важнейшим терминам, связанным со «шкалами измерений» (= «шкалами»); введены понятия «имманентных» и «назначенных» свойств; дана совместная табличная характеристика 6 исходных (= основных) шкал – наименований, порядка, интервалов, разностей, отношений, абсолютной; знания о шкалах распространены (помимо свойств) и на отношения.

В данной статье для двух основных (из шести охарактеризованных ранее шкал) – наименований и порядка – далее приведены поясняющие примеры реализации данных разных шкал и отношений для их вариантов «имманентные-назначенные», «симметричные-асимметричные» и «унарные – бинарные – 1-К-арные – К-К-арные». Эти примеры относятся к геологической теории и практике, а также к прочим областям знаний и практики.

Шкала наименований

Негеологические примеры свойств **для шкалы наименований**.

Пример 1. Имманентное свойство (унарное): наличие или знак заряда у элементарной частицы.

Пример 2. Имманентное свойство (бинарное): обладать весом для любого предмета на Земле (в силу гравитационного тяготения между предметом и землёй).

Пример 3. Имманентное свойство (1-К-арное): быть звездой своих планет (например – Солнцем).

Пример 4. Имманентное свойство (К-К-

арное): быть ядром атома из К взаимосвязанных протонов и нейтронов.

Пример 5. Назначенное свойство (унарное): имя человека, название топонима, марка товара.

Пример 6. Назначенное свойство (бинарное): супружество = свойство пары людей быть мужем и женой (через регистрацию брака или иначе).

Пример 7. Назначенное свойство (1-К-арное): быть начальником К подчинённых.

Пример 8. Назначенное свойство (К-К-арное): быть неким коллективом с неким взаимодействием его членов (фирма, семья, команда и т. п.).

Негеологические примеры отношений **для шкалы наименований**.

Негеологические примеры отношений выражаются глаголами действий и влияний – реальных или потенциальных.

Пример 1. Имманентное унарное асимметричное отношение: человек любит свою внешность.

Пример 2. Имманентное унарное симметричное отношение: человек позволяет себе жить.

Пример 3. Имманентное бинарное асимметричное отношение: мать является родительницей сына (т. е. она его родила).

Пример 4. Имманентное бинарное симметричное отношение: при зачатии зародыша яйцеклетка и сперматозоид сливаются.

Пример 5. Назначенное 1-К-арное асимметричное отношение: учитель учит в классе К детей.

Пример 6. Назначенное К-К-арное симметричное отношение: К детей одного класса в

школе являются одноклассниками.

Геологические примеры свойств для шкалы наименований.

Пример 1. Имманентное свойство (унарное): наличие форшоков у землетрясения.

Пример 2. Имманентное свойство (бинарное): парагенетическое сонахождение полезного минерала с минералом-спутником.

Пример 3. Имманентное свойство (1-К-арное): наличие К рек в подножии высокогорной гряды.

Пример 4. Имманентное свойство (М-К-арное): наличие М биоценозов из видов флоры и фауны в К отложениях некой геологической эпохи.

Пример 5. Назначенное свойство (унарное): название горы, реки, свиты, вулкана, месторождения и т. п.

Пример 6. Назначенное свойство (бинарное): свойство 2 месторождений принадлежать одному экономическому району.

Пример 7. Назначенное свойство (1-К-арное): свойство месторождения быть поставщиком руды для нескольких К её потребителей.

Пример 8. Назначенное свойство (Ф-К-арное): нахождение Ф видов палеонтологической фауны в К свитах на разных континентах.

Геологические примеры отношений для шкалы наименований.

Геологические примеры отношений выражаются глаголами действий и влияний – реальных или потенциальных.

Пример 1. Имманентное унарное асимметричное отношение:

опустошение очага лавы в действующем вулкане вызывает его затухание.

Пример 2. Имманентное унарное симметричное отношение: при извержении вулкана расплавленная лава у жерла сочетается с газами и паром.

Пример 3. Имманентное бинарное асимметричное отношение: при извержении из вулкана лава становится твёрдой.

Пример 4. Имманентное бинарное симметричное отношение: зоны субдукции и глубоко-водные океанские желоба бывают совмещены.

Пример 5. Имманентное 1-К-арное асимметричное отношение: таяние большого высокогорного ледника порождает К рек.

Пример 6. Имманентное 1-К-арное симметричное отношение: сонахождение в гидротермальной зоне земной коры одного очага твёрдых, жидких и газообразных веществ создаёт множество минералов.

Пример 7. Имманентное К-К-арное асимметричное отношение: вторжение группы лакколитов, батолитов и трубок взрыва из мантии в земную кору в тектонической зоне создаёт множество минералов.

Пример 8. Имманентное К-К-арное симметричное отношение: сонахождение и взаимодействие в гидротермальной зоне земной коры многих очагов твёрдых, жидких и газообразных веществ создаёт множество минералов.

Пример 9. Назначенное унарное асимметричное отношение: месторождение выведено из эксплуатационных вследствие истощения запасов полезного ископаемого.

Пример 10. Назначенное унарное симметричное отношение: заплеск на берег приближающейся волнами цунами признан опасным (с учётом рельефа дна).

Пример 11. Назначенное бинарное асимметричное отношение: месторождение связали ниткой нефтепровода с потребителем.

Пример 12. Назначенное бинарное симметричное отношение: две страны объединили ресурсы по обустройству одного месторождения.

Пример 13. Назначенное 1-К-арное асимметричное отношение: смещение толщ в земной коре сейсмологи связали с цугом землетрясений в очаге (форшоков и афтершоков).

Пример 14. Назначенное 1-К-арное симметричное отношение: энергообмен между месторождением газа и К электростанциями.

Пример 15. Назначенное М-К-арное асимметричное отношение: геологами выявлено, что на формирование К однотипных отложений повлияли М седиментационных процессов.

Пример 16. Назначенное К-К-арное симметричное отношение: для К месторождений одного полезного ископаемого учёными выявлен и приписан один механизм формирования полезных минералов.

Шкала порядка

Негеологические примеры свойств для шкалы порядка.

Пример 1. Имманентное свойство (унарное): быть первым в лыжной гонке, обойдя всех.

Пример 2. Имманентное свойство (бинарное): быть страной А выше в рейтинге стран по ВВП, обойдя страну Б, занявшую 5-е место.

Пример 3. Имманентное свойство (1-К-арное): быть на последнем К-м месте в ряду экзаменуемых, получив худший балл среди всех К, сдававших экзамены.

Пример 4. Имманентное свойство (К-К-арное): согласие всех К участников концерта с их

порядковыми номерами среди К мест в очереди выступающих.

Пример 5. Назначенное свойство (унарное): номер улицы в её названии – типа 2-я Цветочная; ранговое звание (учёного, артиста, военного и др.) или ранговый разряд (рабочего, служащего).

Пример 6. Назначенное свойство (бинарное): предпочтительный интуитивный выбор судьёй мест (6-го и 7-го) в соревновании между 2 участниками, получившими равные результаты и поделившими 6–7 место.

Пример 7. Назначенное свойство (1-К-арное): быть начальником К подчинённых.

Пример 8. Назначенное свойство (К-К-арное): быть результатом соревнований К участников, утверждённым руководством, по итогам судейства и расстановки судьями участников на К мест.

Негеологические примеры отношений для шкалы порядка.

Пример 1. Имманентное унарное асимметричное отношение: место, занятое участником соревнований, устраивает этого участника.

Пример 2. Имманентное унарное симметричное отношение: участник соревнований доволен местом, которое он занял, а это место соответствует его популярности.

Пример 3. Имманентное бинарное асимметричное отношение: участник соревнований завидует другому участнику, занявшему более высокое место.

Пример 4. Имманентное бинарное симметричное отношение: два участника соревнований, занявшие места X и (X+1) взаимно одобряют их места.

Пример 5. Имманентное 1-К-арное асимметричное отношение: участник соревнований, занявший среди К участников последнее место, завидует прочим (K-1) участникам, занявшим более высокие места.

Пример 6. Имманентное 1-К-арное симметричное отношение: некоторый из K участников соревнований считает всех прочих, достойными своих рейтинговых мест, а они – его, достойным его места.

Пример 7. Имманентное К-К-арное асимметричное отношение: каждый из K участников соревнований считает себя более достойным повышенного рейтингового места, чем все (K-1) прочие.

Пример 8. Имманентное К-К-арное симметричное отношение: каждый из K участников соревнований считает всех прочих, кроме себя, не

достойными своих рейтинговых мест.

Пример 9. Назначенное унарное асимметричное отношение: место, занятое участником соревнований, устраивает этого участника.

Пример 10. Назначенное унарное симметричное отношение: участник соревнований доволен местом, которое он занял, а это место соответствует его популярности.

Пример 11. Назначенное бинарное асимметричное отношение: участник соревнований завидует другому участнику, занявшему более высокое место.

Пример 12. Назначенное бинарное симметричное отношение: два участника соревнований, занявшие места K и (K+1), взаимно одобряют занятие ими их мест.

Пример 13. Назначенное 1-К-арное асимметричное отношение: участник соревнований, занявший 6-е место, считает обоснованным судейское распределение всех K участников по их местам.

Пример 14. Назначенное 1-К-арное симметричное отношение: и участник соревнований, занявший 6-е место, считает обоснованным судейское распределение всех K участников по их местам, и все из (K-1) участников считают обоснованным судейское решение по 6-му месту.

Пример 15. Назначенное М-К-арное асимметричное отношение: все из M судей считают обоснованным судейское решение по распределению ими мест всем K участникам соревнований.

Пример 16. Назначенное К-К-арное симметричное отношение: все из K участников соревнований считают обоснованным судейское решение по всем K местам.

Геологические примеры свойств для шкалы порядка.

Пример 1. Имманентное свойство (унарное): быть второй по амплитуде в истории наблюдений на данном побережье волнами цунами.

Пример 2. Имманентное свойство (бинарное): иметь кристаллу минерала X твёрдость большую, чем твёрдость кристалла минерала Ж, исходя из опыта царапанья кристаллом минерала X другого кристалла минерала Ж.

Пример 3. Имманентное свойство (1-К-арное): принадлежность палеонтологических останков древнего организма к последовательности из K видов организмов, принадлежащих одному эволюционному ряду в истории Земли.

Пример 4. Имманентное свойство (К-К-арное): согласие порядка абсолютных возрастов отложений в K слоях геологического разреза

(снизу – вверх) с К местами этих слоёв в последовательности напластований.

Пример 5. Назначенное свойство (унарное):

1. Категория геологического запаса месторождения (по категории А, В, С и др.) – в зависимости от степени разведанности месторождения;

2. Место некой толщи земной коры в масштабном ранговом геологическом ряду «провинция – бассейн – месторождение – залежь».

Пример 6. Назначенное свойство (бинарное): предпочтительный логико-интуитивный выбор комиссией для 2 месторождений порядковых мест (6-го и 7-го) во временной очерёдности освоения этих двух похожих месторождений, поделивших по объективным показателям 6-7 место.

Пример 7. Назначенное свойство (1-К-арное): порядок К обнажений, запланированный для изучения геологом на маршруте.

Пример 8. Назначенное свойство (К-К-арное): временная очерёдность (из К мест) освоения К однотипных месторождений как результат, утверждённый членами комиссии.

Геологические примеры отношений для шкалы порядка.

Пример 1. Имманентное унарное асимметричное отношение: некоторому рангу твёрдости образца минерала могут соответствовать разные вектора значений свойств минерала (его структуры, состава и поверхности).

Пример 2. Имманентное унарное симметричное отношение: наблюдается взаимно-однозначная связь между рангом твёрдости образца минерала и вектором значений его свойств (структуре, состава и поверхности).

Пример 3. Имманентное бинарное асимметричное отношение: образец минерала М твёрже образца минерала Н.

Пример 4. Имманентное бинарное симметричное отношение: образец минерала М равен по твёрдости образцу минерала Н.

Пример 5. Имманентное 1-К-арное асимметричное отношение: образец минерала М твёрже образцов других (К-1) минералов.

Пример 6. Имманентное 1-К-арное симметричное отношение: образцы К минералов одинаковы по цвету и спайности.

Пример 8. Имманентное К-К-арное асимметричное отношение: каждый из К образцов минералов не совпадает по свойствам (структуре, состава и поверхности) с другими минералами.

Пример 9. Назначенное унарное асимметричное отношение: с рангом М твёрдости образца минерала по шкале Мооса связали несколько видов минералов, выделенных по значениям их свойств (структуре, состава и внешнего вида).

Пример 10. Назначенное унарное симметричное отношение: с рангом М твёрдости образца минерала по шкале Мооса взаимно-однозначно связали только один вид минералов, выделив минерал по значениям его свойств (структуре, состава и внешнего вида).

Пример 11. Назначенное бинарное асимметричное отношение: минерал с рангом М твёрдости по шкале Мооса, образец которого царапает образец минерала Н, считается более твёрдым, чем минерал Н.

Пример 12. Назначенное бинарное симметричное отношение: два минерала, образцы которых одинаково не оставляют царапин друг на друге, считаются имеющими одинаковую твёрдость по шкале Мооса.

Пример 13. Назначенное 1-К-арное асимметричное отношение: одному рангу твёрдости X (из диапазона X=1,2,...,10) минерологи поставили в соответствие К видов минералов, которые имеют некий заданный диапазон значений свойств (структуре, состава и внешнего вида минерала).

Пример 14. Назначенное 1-К-арное симметричное отношение: и участник соревнований, занявший 6-е место, считает обоснованным судейское распределение всех К участников по их местам, и все из (К-1) участников считают обоснованным судейское решение по 6-му месту.

Пример 15. Назначенное К-К-арное асимметричное отношение: все из К судей считают обоснованным судейское решение по распределению ими мест всем участникам соревнований.

Пример 16. Назначенное К-К-арное симметричное отношение: все из К участников соревнований считают обоснованным судейское решение по всем К местам.

Литература

- Сергеев В.А. Шкалы свойств и отношений: новая систематика // Актуальные вопросы образования и науки: сборник научных трудов по материалам Международной научно-практической конференции 30.11.2015. Часть 1. М-во обр. и науки РФ. Тамбов: ООО «Консалтинговая компания Юком», 2015. – С. 125-131.

SERGEYEV Vladimir Anatolyevich

Junior Researcher, Institute of Computational Mathematics and Mathematical Geophysics
of Siberian Branch of the Russian Academy of Sciences, Novosibirsk

CASES OF CLASSES OF NEW SCALES SYSTEM

Abstract. For the new systematics of measurement scales developed by the author of the article, explanatory examples of the implementation of these different scales and relations (for the original scales of names and order) for their variants "immanent-assigned", "symmetric-asymmetric" and "unary – binary – 1-K-ary – K-K-ary" are given.

Keywords: a scale of measurements, scales of names for properties and relationships, scales of order for properties and relationships.

ФИНКЕР Михаил Константинович

эксперт по внедрению, мониторингу и сопровождению IT-систем в Data-центрах,
Израиль, г. Ход-ха-Шарон

ОБЕСПЕЧЕНИЕ ЭФФЕКТИВНОЙ РАБОТЫ СОВРЕМЕННЫХ ДАТА-ЦЕНТРОВ ПОСРЕДСТВОМ МЕТОДОВ УПРАВЛЕНИЯ КАЧЕСТВОМ ОБСЛУЖИВАНИЯ

Аннотация. Качество обслуживания (QoS) является неотъемлемым элементом современных сетей, обеспечивающим эффективное управление сетевыми ресурсами и приоритизацию трафика для удовлетворения требований критически важных приложений. В статье анализируются основные механизмы QoS, включая IntServ, DiffServ и IEEE 802.1Q, а также рассматриваются преимущества и недостатки каждого подхода. Особое внимание уделяется проблемам внедрения QoS, таким как сложность настройки, межоперабельность оборудования и влияние на производительность сети. Рассматриваются перспективы использования передовых технологий, включая машинное обучение, искусственный интеллект, программно-определенные сети (SDN) и виртуализацию сетевых функций (NFV), для повышения гибкости и эффективности реализации QoS. Приведенные экспериментальные результаты демонстрируют влияние QoS на ключевые метрики производительности сети, такие как задержка, джиттер и пропускная способность, в условиях различных нагрузок. Сделан вывод о том, что дальнейшее развитие QoS играет ключевую роль в поддержании надежности сетей в условиях растущих требований цифровой инфраструктуры.

Ключевые слова: качество обслуживания, QoS, IntServ, DiffServ, IEEE 802.1Q, программно-определенные сети, виртуализация сетевых функций, задержка, джиттер, пропускная способность, сетевые технологии, управление трафиком, искусственный интеллект.

В современных условиях стремительного развития цифровых технологий и роста объемов сетевого трафика обеспечение стабильной, эффективной и качественной работы сетей становится приоритетной задачей. Усложнение сетевых архитектур, внедрение облачных вычислений, Интернета вещей (IoT) и сетей пятого поколения (5G) требует более надежных и гибких решений для управления сетевыми ресурсами. В этой связи качество обслуживания (QoS) выступает важнейшим компонентом сетевой инфраструктуры, способствующим приоритизации трафика, оптимизации ресурсов и обеспечению бесперебойной работы критически важных приложений.

В условиях цифровой трансформации центры обработки данных играют ключевую роль в хранении, обработке и управлении огромными объемами информации. Такие центры представляют собой специализированные объекты, где размещаются многочисленные серверы, системы хранения данных и сетевое оборудование. Это позволяет эффективно обрабатывать, хранить и распределять данные в больших масштабах [1, с. 732-794; 2, с. 468-473]. Эти

инфраструктурные комплексы оказывают критическое влияние на широкий спектр сервисов, включая облачные вычисления, аналитику больших данных и корпоративные приложения, которые сегодня составляют основу бизнес-процессов и цифровых услуг [3, с. 7-18; 4; 5, с. 293-314].

Современные сети центров обработки данных представляют собой высокоинтегрированные и сложные системы, созданные для передачи больших объемов данных с высокой скоростью и эффективностью [6; 7, с. 189-200; 8, с. 92-99; 9, с. 63-74]. Они обеспечивают стабильное взаимодействие между различными устройствами и системами, поддерживая необходимый поток данных для множества приложений и услуг. Нарушение работы таких сетей может привести к значительным сбоям, что отрицательно сказывается на непрерывности и производительности бизнеса [10, с. 63-74; 11, с. 39-50].

Поддержание стабильности в таких системах предполагает применение стратегий, направленных на обеспечение надежной и бесперебойной работы сети и ее компонентов. Для

этого применяются такие методы, как избыточность, балансировка нагрузки и механизмы отказоустойчивости [12, с. 1912-1926; 13, с. 49-60; 14, с. 821-830; 15, с. 225-238; 16, с. 85-96]. Избыточность заключается в создании дополнительных маршрутов передачи данных, что позволяет минимизировать риск сбоев. Балансировка нагрузки равномерно распределяет трафик между серверами или сетевыми путями, избегая перегрузок отдельных элементов. Отказоустойчивость, в свою очередь, обеспечивает продолжение работы системы даже при сбое оборудования или программного обеспечения благодаря автоматическому переключению на резервные ресурсы и репликации данных.

Управление качеством обслуживания (QoS) [17, с. 6-27; 18, с. 6-14] является важным элементом сетевого администрирования и включает методы для приоритизации и оптимизации сетевых ресурсов. QoS позволяет добиться надежной и эффективной передачи данных, отвечающей специфическим требованиям различных приложений. Для этого применяются механизмы классификации трафика [19, с. 281-286], формирования [20, с. 482-501], контроля [21, с. 90-109], а также использования очередей и предотвращения перегрузок [22; 23, с. 45-51; 24, с. 1-14; 25, с. 47-57].

Современные достижения в области программно-определяемых сетей (SDN), виртуализации сетевых функций (NFV) и методов искусственного интеллекта (ИИ) открывают новые перспективы для совершенствования механизмов QoS. Эти технологии позволяют адаптировать управление сетью к меняющимся требованиям пользователей и условий эксплуатации, создавая более масштабируемые и интеллектуальные решения.

Настоящая статья посвящена анализу существующих проблем внедрения QoS, изучению перспектив ее развития и оценке возможностей применения передовых технологий для повышения качества обслуживания в современных сетевых системах. Исследование направлено на выявление ключевых факторов, влияющих на производительность сети, и разработку рекомендаций для их учета при построении и эксплуатации сетевой инфраструктуры. Полученные результаты могут быть полезны как для научного сообщества, так и для практиков в области сетевой инженерии.

Центр обработки данных (дата-центры)

Центры обработки данных (дата центры) представляют собой специализированные объекты, где размещаются разнообразные вычислительные ресурсы, включая серверы, системы хранения данных и оборудование для обеспечения сетевого взаимодействия. Их основное предназначение – централизованное хранение, обработка и управление значительными объемами информации. Такие центры играют ключевую роль в поддержке широкого спектра приложений и услуг, включая облачные технологии, анализ больших данных и корпоративные ИТ-решения [26, с. 2939-2965]. Благодаря высоким стандартам безопасности, надежности и масштабируемости центры обработки данных обеспечивают бесперебойное выполнение критически важных бизнес-операций, составляя основу современной цифровой инфраструктуры. Их использование охватывает такие области, как веб-хостинг, электронная почта, финансовые транзакции и научные исследования.

Сетевые системы в центрах обработки данных формируют сложную структуру соединений, которая связывает все устройства и компоненты, обеспечивая их эффективное взаимодействие и надежную передачу данных [27, с. 640-656; 28, с. 23-33]. Эти сети создаются с учетом необходимости обработки значительных объемов трафика при минимальной задержке и максимальной надежности. Обычно они разделены на несколько уровней: уровень ядра, уровень агрегации и уровень доступа. Каждый из этих уровней выполняет определенные задачи, способствуя бесперебойному потоку данных [10, с. 63-74; 29, с. 892-901; 30, с. 161-172]. Уровень ядра отвечает за высокоскоростные соединения с большой пропускной способностью, уровень агрегации собирает данные из различных точек доступа, а уровень доступа обеспечивает подключение серверов и других устройств к сети.

Современные технологии, такие как программно-определяемые сети (SDN) [31, с. 14-76] и виртуализация сетевых функций (NFV) [32, с. 90-97], активно внедряются для повышения гибкости, эффективности и удобства управления сетями центров обработки данных.

Стабильность сети в контексте центров обработки данных определяется способностью поддерживать надежную и непрерывную производительность на протяжении времени. Она предполагает, что сеть должна адаптироваться

к изменению нагрузки без возникновения значительных простоев или ухудшения рабочих характеристик. Одной из ключевых проблем является наличие сетевых помех, которые возникают из-за различных факторов, таких как перекрестные помехи между кабелями и конкуренция между рабочими нагрузками за доступ к общим сетевым ресурсам [33, с. 201-213; 34; 35]. Эти факторы могут привести к таким последствиям, как потеря данных, увеличение задержек и общее снижение производительности сети [36, с. 1-13; 37, с. 1-32].

В условиях работы центра обработки данных минимизация сетевых помех становится критически важной задачей для обеспечения надежного функционирования приложений и сервисов. Основные стратегии для устранения подобных проблем включают использование экранированных кабелей, правильную организацию заземления, а также создание физического разделения между кабелями и электронным оборудованием. Дополнительно, применение современных методов управления сетью, таких как механизмы качества обслуживания (QoS), позволяет приоритизировать важнейший трафик, уменьшая негативное влияние помех на работу сети.

Эффективное управление стабильностью сети и устранение помех являются важными аспектами работы современных центров обработки данных. Эти элементы играют ключевую роль в поддержании необходимого уровня производительности, надежности и эффективности, соответствующих растущим требованиям цифровой эпохи. Использование передовых технологий и передового опыта позволяет организациям обеспечить стабильность работы центров обработки данных и удовлетворять изменяющиеся потребности пользователей и приложений.

Качество обслуживания (QoS)

Качество обслуживания (QoS) является ключевым понятием в сетевой инженерии, охватывающим технологии и методы управления сетевыми ресурсами для обеспечения эффективной обработки различных типов трафика. QoS позволяет отдавать приоритет определенным потокам, что особенно важно для критически важных сетевых сервисов. Основная цель QoS заключается в поддержании высокой производительности для таких приложений, как видеоконференции, VoIP (передача голоса по интернет-протоколу) и онлайн-игры, даже в условиях сетевой перегрузки, которая может

негативно сказаться на пользовательском опыте и выполнении критически важных операций [38, с. 1239-1258].

Механизмы QoS обеспечивают контроль над такими параметрами сетевой производительности, как пропускная способность, задержка, джиттер и потеря пакетов. За счет их регулирования QoS способствует эффективному функционированию приложений с высокими требованиями к производительности сети даже в сложных условиях.

Механизмы QoS включают несколько основных элементов:

1. Классификация трафика. Этот процесс включает идентификацию и категоризацию сетевого трафика на основе заранее определенных критериев, таких как тип приложения, пользователь или данные. После классификации трафиком можно управлять в соответствии с его приоритетом.

2. Формирование трафика. Данний метод контролирует объем данных, поступающих в сеть, предотвращая ее перегрузку. Это достигается за счет задержки пакетов, превышающих установленный лимит скорости, сглаживания всплесков трафика и обеспечения равномерного потока.

3. Управление политиками. Политики QoS регулируют скорость входящего трафика, отбрасывая или помечая пакеты, превышающие установленные ограничения. Это помогает предотвратить перегрузку сети и поддерживать соответствие трафика установленным требованиям.

4. Организация очередей и планирование. Различные типы трафика распределяются по очередям в зависимости от их приоритета. Алгоритмы планирования, такие как Weighted Fair Queuing (WFQ) и Priority Queuing (PQ), определяют порядок обработки пакетов. Высокоприоритетный трафик получает преимущество перед низкоприоритетным, что обеспечивает критически важным приложениям необходимую пропускную способность.

5. Предотвращение перегрузки. Механизмы, такие как Random Early Detection (RED), активно управляют сетевой нагрузкой, отслеживая состояние трафика и упреждающе отбрасывая пакеты при обнаружении риска перегрузки [39, с. 397-413]. Это помогает сохранять стабильную производительность сети и минимизировать риски критических сбоев.

Перед внедрением QoS сети часто сталкиваются с проблемами высокой задержки,

джиттера и потерь пакетов, что особенно критично для приложений реального времени, таких как видеоконференции и VoIP. Для иллюстрации улучшений, которые QoS может принести, была проведена оценка ключевых метрик производительности сетей с

использованием механизмов QoS и без них. Результаты наглядно показывают, что QoS значительно снижает задержки и потери пакетов, одновременно улучшая пропускную способность, что подтверждает важность применения QoS в современных сетевых архитектурах (рис. 1).

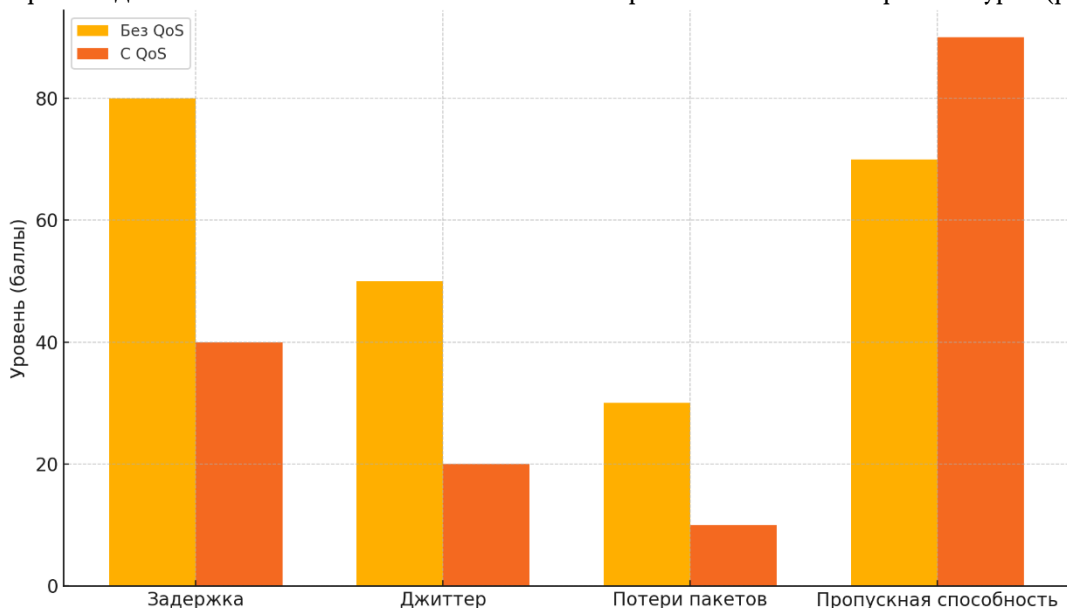


Рис. 1. Влияние QoS на производительность сети (составлено автором на основании источника [39, с. 397-413])

Протоколы

IEEE 802.1Q

Известный как протокол тегирования VLAN, стандарт IEEE 802.1Q предоставляет механизм для добавления информации о виртуальной локальной сети (VLAN) в кадры Ethernet. Он включает поле приоритета, которое позволяет задавать уровень важности для различных VLAN и связанных с ними данных. Традиционный Ethernet, созданный для общей передачи данных, не удовлетворяет требованиям современных приложений из-за использования недетерминированного метода управления доступом CSMA-CD, что может приводить к непредсказуемым задержкам. Для устранения этих недостатков проводится оценка производительности стандартного Ethernet (IEEE 802.3) и усовершенствованных методов, использующих приоритизацию трафика (IEEE 802.1Q), в условиях различной сетевой нагрузки [40, с. 956-961].

Исследования включают анализ таких показателей, как пропускная способность, задержка и джиттер, при использовании простых концентраторов, стандартных коммутаторов и

коммутаторов с поддержкой приоритета. В экспериментах используется сеть, включающая станции реального времени и рабочие станции, генерирующие трафик с распределением Пуассона при уровнях нагрузки от 10% до 60%. Результаты демонстрируют значительное улучшение производительности при использовании коммутаторов с поддержкой приоритетов. Эти устройства эффективно снижают джиттер и задержки отклика, особенно в условиях высокой загрузки сети, что делает их подходящими для промышленных приложений и процессов реального времени.

С увеличением сетевой нагрузки задержка и джиттер становятся критическими проблемами для работы приложений. Применение стандарта IEEE 802.1Q позволяет значительно улучшить показатели задержки, что особенно заметно при высокой загрузке сети. Диаграмма (рис. 2) показывает сравнительный анализ задержки при разных уровнях нагрузки с использованием и без использования QoS, подтверждая эффективность внедрения данного стандарта для поддержки сетей в условиях интенсивного трафика.

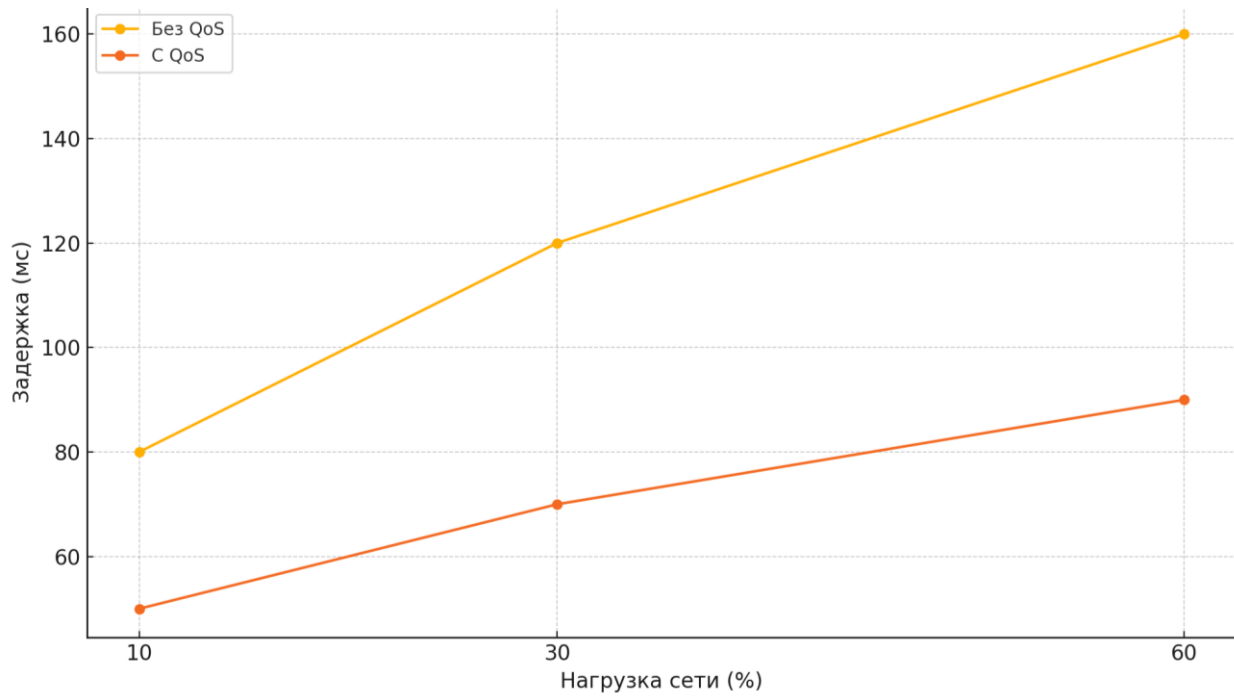


Рис. 2. Задержка при различных уровнях нагрузки сети (составлено автором на основании источника [40, с. 956-961]

Интегрированные услуги (IntServ)

Архитектура Integrated Services (IntServ) обеспечивает гарантированное качество обслуживания (QoS) для отдельных потоков данных, что отличает её от агрегированных методов, таких как Differentiated Services (DiffServ). IntServ использует протокол RSVP (Resource Reservation Protocol) для резервирования полосы пропускания для конкретных сеансов. Каждый маршрутизатор на пути сохраняет информацию о состоянии потока, что позволяет точно управлять ресурсами, но снижает масштабируемость системы. IntServ наиболее подходит для приложений, где важны строгие гарантии полосы пропускания и минимальной задержки, таких как видеоконференции и VoIP [41].

IntServ направлена на расширение возможностей Интернета для предоставления как услуг реального времени, так и не реального времени, чтобы удовлетворять потребности современных приложений, включая телеконференции, дистанционное обучение и распределённое моделирование. Архитектура представляет собой значительный шаг в направлении адаптации Интернета к требованиям новых приложений, обеспечивая справедливое и эффективное использование сетевых ресурсов.

Кодовая точка дифференцированных услуг (DSCP)

Поля DSCP в заголовке IP позволяют маршрутизаторам классифицировать трафик и

принимать решения о приоритетах обработки на основе заданного типа обслуживания (ToS). Это более детализированная версия IP Precedence, обеспечивающая больше уровней приоритизации трафика.

Differentiated Services (DiffServ) представляет собой масштабируемую модель QoS, которая устраняет ограничения IntServ и RSVP, особенно в условиях крупных сетей, таких как магистральные сети Интернета [42, с. 255-273]. Вместо управления отдельными потоками DiffServ применяет агрегированный подход, где пакеты маркируются байтом DS, определяющим их приоритет. Это обеспечивает управление ресурсами на уровне всей сети без необходимости обрабатывать каждый поток по отдельности.

Модель DiffServ предлагает несколько подходов, таких как Premium Service и Assured Service. Premium Service обеспечивает выделение фиксированной полосы пропускания для агрегированных потоков, подобно частным каналам связи, а Assured Service, хотя и не гарантирует пропускную способность, обеспечивает высокую вероятность доставки пакетов с высоким приоритетом.

Механизмы DiffServ включают маркировку пакетов, управление поведением на маршрутизаторах и реализацию стратегий управления трафиком. Несмотря на преимущества масштабируемости, успех DiffServ зависит от тщательного проектирования сети, чтобы

гарантирует достаточность ресурсов для обработки приоритетного трафика, что остаётся серьёзной задачей для сетевых инженеров.

Разные подходы к реализации QoS, такие, как IntServ, DiffServ и IEEE 802.1Q, обладают своими преимуществами и ограничениями. Например, IntServ обеспечивает гарантии на уровне потоков, но плохо масштабируется,

тогда как DiffServ предлагает агрегированный подход, более подходящий для крупных сетей. Стандарт IEEE 802.1Q оптимизирует управление трафиком внутри VLAN. Для лучшего понимания их различий представлена сравнительная диаграмма (рис. 3), оценивающая масштабируемость и соответствие каждого метода требованиям современных сетей.

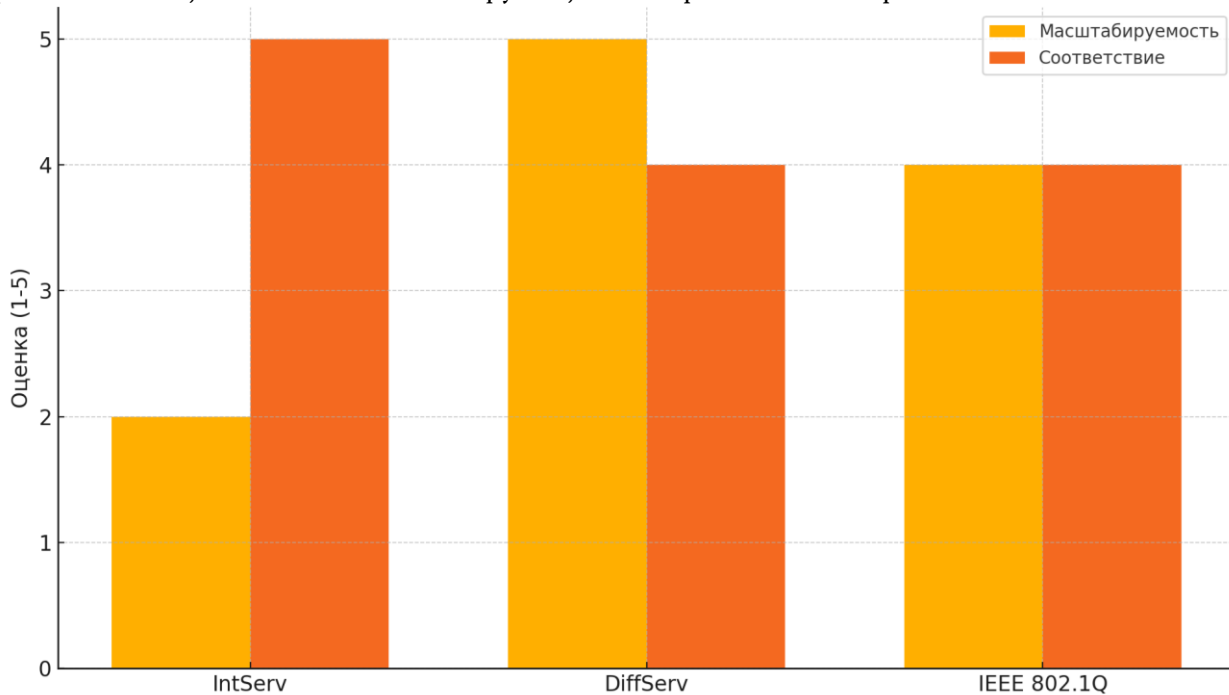


Рис. 3. Сравнение методов QoS (составлено автором на основании источников [40, с. 956-961; 41; 42, с. 255-273]

Проблемы при внедрении QoS

Реализация QoS в сетях сталкивается с рядом вызовов. Одной из ключевых проблем является сложность настройки и управления политиками QoS. Для эффективного внедрения сетевые администраторы должны обладать глубокими знаниями о характере сетевого трафика и специфических требованиях приложений. Это требует значительных временных и интеллектуальных затрат.

Вторая проблема связана с межоперабельностью оборудования различных производителей. Протоколы и механизмы QoS могут существенно различаться у различных поставщиков, что приводит к несовместимостям. Это осложняет обеспечение сквозного QoS в гетерогенных сетевых средах и увеличивает риск ошибок при настройке.

Кроме того, внедрение QoS может вызывать дополнительные задержки и накладные расходы. Процессы классификации, формирования и постановки трафика в очередь требуют значительных вычислительных ресурсов. При неэффективном управлении это может

негативно сказаться на производительности сети, увеличивая время отклика и снижая пропускную способность.

Перспективы будущего для QoS в сети

С развитием сетевых технологий значение QoS будет только увеличиваться. Рост использования облачных вычислений, Интернета вещей (IoT) и внедрение сетей пятого поколения (5G) создают новые вызовы для управления трафиком. Эти технологии генерируют разнообразные типы данных с уникальными требованиями, что потребует более интеллектуальных и адаптивных механизмов QoS.

Одной из ключевых технологий будущего станет использование машинного обучения и искусственного интеллекта (ИИ) в QoS. ИИ-ориентированные механизмы смогут анализировать трафик в реальном времени, предсказывать возможные перегрузки и автоматически настраивать политики QoS для оптимизации производительности. Такой подход обеспечит более гибкое и точное управление сетевыми ресурсами.

Дополнительно, переход к программно-определенным сетям (SDN) и виртуализации сетевых функций (NFV) расширяет перспективы реализации QoS. Эти технологии разделяют управление и передачу данных, что упрощает централизованное управление сетью. Благодаря этому QoS может быть более гибко настроена, что обеспечит эффективное использование сетевых ресурсов и повышение производительности в сложных сетевых средах.

Заключение

Качество обслуживания (QoS) является важным компонентом современных сетевых систем, гарантируя надежность и эффективность передачи данных для различных приложений и услуг. В данной статье проанализированы ключевые подходы к реализации QoS, включая IntServ, DiffServ и IEEE 802.1Q, а также их преимущества и ограничения. Представленные данные подтвердили, что применение механизмов QoS способствует значительному снижению задержки, джиттера и потерь пакетов, одновременно повышая пропускную способность сети.

Особое внимание было уделено проблемам внедрения QoS, включая сложность настройки политик, межоперабельность оборудования различных поставщиков и потенциальные накладные расходы на производительность. Эти аспекты требуют дальнейших исследований и разработки адаптивных решений, которые могли бы минимизировать эти недостатки.

Перспективы развития QoS связаны с интеграцией технологий искусственного интеллекта и машинного обучения, а также переходом к программно-определенным сетям (SDN) и виртуализации сетевых функций (NFV). Эти подходы открывают возможности для создания более интеллектуальных, масштабируемых и гибких сетей, способных адаптироваться к изменениям трафика в режиме реального времени.

Полученные результаты подтверждают, что QoS остается критически важным элементом для обеспечения надежности и производительности сетей, особенно в условиях внедрения облачных технологий, Интернета вещей (IoT) и сетей 5G. Развитие и совершенствование QoS в ближайшие годы будут играть ключевую роль в удовлетворении требований цифровой инфраструктуры и обеспечении высокого уровня обслуживания пользователей.

Литература

1. Dayarathna M., Wen Y., Fan R. Data center energy consumption modeling: A survey // IEEE Communications Surveys & Tutorials. 2015. Vol. 18, No. 1. P. 732-794.
2. Di S., Kondo D., Cappello F. Characterizing cloud applications on a Google data center // 2013 42nd International Conference on Parallel Processing. IEEE, 2013. P. 468-473.
3. Zhang Q., Cheng L., Boutaba R. Cloud computing: State-of-the-art and research challenges // Journal of Internet Services and Applications. 2010. Vol. 1. P. 7-18.
4. Buyya R., Broberg J., Goscinski A. M. Cloud computing: Principles and paradigms. John Wiley & Sons, 2010.
5. Fan J., Han F., Liu H. Challenges of big data analysis // National Science Review. 2014. Vol. 1, No. 2. P. 293-314.
6. Greenberg A., Hamilton J., Maltz D. A., Patel P. The cost of a cloud: Research problems in data center networks, 2008.
7. Kang Y., Wang X., Lan Z. Q-Adaptive: A multi-agent reinforcement learning based routing on dragonfly network // Proceedings of the 30th International Symposium on High-Performance Parallel and Distributed Computing. 2021. P. 189-200.
8. Benson T., Anand A., Akella A., Zhang M. Understanding data center traffic characteristics // ACM SIGCOMM Computer Communication Review. 2010. Vol. 40, No. 1. P. 92-99.
9. Alizadeh M., Greenberg A., Maltz D. A., Padhye J., Patel P., Prabhakar B., Sengupta S., Sri-dharan M. Data center TCP (DCTCP) // Proceedings of the ACM SIGCOMM 2010 Conference. 2010. P. 63-74.
10. Al-Fares M., Loukissas A., Vahdat A. A scalable, commodity data center network architecture // ACM SIGCOMM Computer Communication Review. 2008. Vol. 38, No. 4. P. 63-74.
11. Mysore R.N., Pamboris A., Farrington N., Huang N., Miri P., Radhakrishnan S., Subramanya V., Vahdat A. Portland: A scalable fault-tolerant Layer 2 data center network fabric // Proceedings of the ACM SIGCOMM 2009 Conference on Data Communication. 2009. P. 39-50.
12. Guo Z., Yang Y. Exploring server redundancy in nonblocking multicast data center networks // IEEE Transactions on Computers. 2014. Vol. 64, No. 7. P. 1912-1926.
13. Cao J., Xia R., Yang P., Guo C., Lu G., Yuan L., Zheng Y., Wu H., Xiong Y., Maltz D. Per-packet load-balanced, low-latency routing for Clos-based

- data center networks // Proceedings of the Ninth ACM Conference on Emerging Networking Experiments and Technologies. 2013. P. 49-60.
14. Wang X., Mubarak M., Kang Y., Ross R.B., Lan Z. Union: An automatic workload manager for accelerating network simulation // 2020 IEEE International Parallel and Distributed Processing Symposium (IPDPS). IEEE, 2020. P. 821-830.
 15. Ghorbani S., Yang Z., Godfrey P.B., Ganjali Y., Firoozshahian A. Drill: Micro load balancing for low-latency data center networks // Proceedings of the ACM SIGCOMM 2017 Conference. 2017. P. 225-238.
 16. Walraed-Sullivan M., Vahdat A., Marzullo K. Aspen trees: Balancing data center fault tolerance, scalability and cost // Proceedings of the Ninth ACM Conference on Emerging Networking Experiments and Technologies. 2013. P. 85-96.
 17. Campbell A., Coulson G., Hutchison D. A quality of service architecture // ACM SIGCOMM Computer Communication Review. 1994. Vol. 24, No. 2. P. 6-27.
 18. Zhu H., Li M., Chlamtac I., Prabhakaran B. A survey of quality of service in IEEE 802.11 networks // IEEE Wireless Communications. 2004. Vol. 11, No. 4. P. 6-14.
 19. Erman J., Arlitt M., Mahanti A. Traffic classification using clustering algorithms // Proceedings of the 2006 SIGCOMM Workshop on Mining Network Data. 2006. P. 281-286.
 20. Georgiadis L., Guérin R., Peris V., Sivarajan K.N. Efficient network QoS provisioning based on per-node traffic shaping // IEEE/ACM Transactions on Networking. 1996. Vol. 4, No. 4. P. 482-501.
 21. Bates L., Soole D., Watson B. The effectiveness of traffic policing in reducing traffic crashes // Policing and Security in Practice: Challenges and Achievements. 2012. P. 90-109.
 22. Jain R., Ramakrishnan K., Chiu D.M. Congestion avoidance in computer networks with a connectionless network layer // arXiv preprint cs/9809094.1998.
 23. Turkovic B., Kuipers F., van Adrichem N., Langendoen K. Fast network congestion detection and avoidance using P4 // Proceedings of the 2018 Workshop on Networking for Emerging Applications and Technologies. 2018. P. 45-51.
 24. Kang Y., Wang X., Lan Z. Study of workload interference with intelligent routing on Dragonfly // SC22: International Conference for High Performance Computing, Networking, Storage and Analysis. IEEE, 2022. P. 1-14.
 25. Garetto M., Towsley D. Modeling, simulation and measurements of queuing delay under long-tail internet traffic // ACM SIGMETRICS Performance Evaluation Review. 2003. Vol. 31, No. 1. P. 47-57.
 26. Kant K. Data center evolution: A tutorial on state of the art, issues, and challenges // Computer Networks. 2009. Vol. 53, No. 17. P. 2939-2965.
 27. Xia W., Zhao P., Wen Y., Xie H. A survey on data center networking (DCN): Infrastructure and operations // IEEE Communications Surveys & Tutorials. 2016. Vol. 19, No. 1. P. 640-656.
 28. Kang Y., Wang X., Lan Z. Workload interference prevention with intelligent routing and flexible job placement on Dragonfly // Proceedings of the 2023 ACM SIGSIM Conference on Principles of Advanced Discrete Simulation. 2023. P. 23-33.
 29. Leiserson C.E. Fat-trees: Universal networks for hardware-efficient supercomputing // IEEE Transactions on Computers. 1985. Vol. 100, No. 10. P. 892-901.
 30. Kang Y., Wang X., McGlohon N., Mubarak M., Chunduri S., Lan Z. Modeling and analysis of application interference on Dragonfly+ // Proceedings of the 2019 ACM SIGSIM Conference on Principles of Advanced Discrete Simulation. 2019. P. 161-172.
 31. Kreutz D., Ramos F.M.V., Verissimo P.E., Rothenberg C.E., Azodolmolky S., Uhlig S. Software-defined networking: A comprehensive survey // Proceedings of the IEEE. 2014. Vol. 103, No. 1. P. 14-76.
 32. Han B., Gopalakrishnan V., Ji L., Lee S. Network function virtualization: Challenges and opportunities for innovations // IEEE Communications Magazine. 2015. Vol. 53, No. 2. P. 90-97.
 33. Smith S.A., Lowenthal D.K. Jigsaw: A high-utilization, interference-free job scheduler for fat-tree clusters // Proceedings of the 30th International Symposium on High-Performance Parallel and Distributed Computing. 2021. P. 201-213.
 34. Kang Y. Workload Interference Analysis and Mitigation on Dragonfly Class Networks. PhD thesis. Illinois Institute of Technology, 2022.
 35. Smith S., Lowenthal D., Bhatele A., Thiyagarajan J., Bremer P., Livnat Y. Analyzing inter-job contention in Dragonfly networks, 2016.
 36. Chunduri S., Harms K., Parker S., Morozov V., Oshin S., Cherukuri N., Kumaran K. Run-to-run variability on Xeon Phi based Cray XC systems // Proceedings of the International Conference for High Performance Computing, Networking, Storage and Analysis. 2017. P. 1-13.

37. De Sensi D., Di Girolamo S., Hoefer T. Mitigating network noise on Dragonfly networks through application-aware routing // Proceedings of the International Conference for High Performance Computing, Networking, Storage and Analysis. 2019. P. 1-32.
38. Pitsillides A., Lambert J. Adaptive congestion control in ATM-based networks: Quality of service and high utilization // Computer Communications. 1997. Vol. 20, No. 14. P. 1239-1258.
39. Floyd S., Jacobson V. Random early detection gateways for congestion avoidance // IEEE/ACM Transactions on Networking. 1993. Vol. 1, No. 4. P. 397-413.
40. Valentim R.A. de M., Morais A.H.F., Brandão G.B., Guerreiro A.M.G. A performance analysis of the Ethernet nets for applications in real-time: IEEE 802.3 and 802.1Q // 2008 6th IEEE International Conference on Industrial Informatics. IEEE, 2008. P. 956-961.
41. Braden R., Clark D., Shenker S. Integrated services in the internet architecture: An overview. 1994.
42. Baumgartner F., Braun T., Habegger P. Differentiated services: A new approach for quality of service in the Internet // High Performance Networking: IFIP TC-6 Eighth International Conference on High Performance Networking (HPN '98) Vienna, Austria, September 21-25, 1998. Springer, 1998. P. 255-273.

FINKER Mikhail Konstantinovich

Expert in the Implementation, Monitoring and Maintenance of IT Systems in Data Centers,
Israel, Hod Hasharon

ENSURING THE EFFICIENT OPERATION OF MODERN DATA CENTERS THROUGH QUALITY-OF-SERVICE (QOS) MANAGEMENT METHODS

Abstract. *Quality of Service (QoS) is an essential component of modern networks, ensuring efficient management of network resources and traffic prioritization to meet the demands of critical applications. This article analyzes the key QoS mechanisms, including IntServ, DiffServ, and IEEE 802.1Q, and examines the advantages and disadvantages of each approach. Special attention is given to the challenges of QoS implementation, such as configuration complexity, equipment interoperability, and the impact on network performance. The paper explores the potential of advanced technologies, such as machine learning, artificial intelligence, software-defined networking (SDN), and network function virtualization (NFV), to enhance the flexibility and efficiency of QoS deployment. Experimental results illustrate the effect of QoS on key network performance metrics, such as latency, jitter, and throughput, under various load conditions. The study concludes that further development of QoS is crucial for maintaining network reliability amid increasing demands of digital infrastructure.*

Keywords: *Quality of Service, QoS, IntServ, DiffServ, IEEE 802.1Q, software-defined networking, network function virtualization, latency, jitter, throughput, network technologies, traffic management, artificial intelligence.*

ЩЕРБАКОВ Илья Геннадьевич

магистрант, Поволжский государственный технологический университет,
Россия, г. Йошкар-Ола

*Научный руководитель – доцент кафедры радиотехники и связи
Поволжского государственного технологического университета,
кандидат технических наук Кислицын Алексей Александрович*

ИНТЕЛЛЕКТУАЛЬНАЯ MQTT-СИСТЕМА МОНИТОРИНГА КАЧЕСТВА ВОДЫ В БАССЕЙНАХ ДЛЯ ГРУДНИЧКОВОГО ПЛАВАНИЯ

Аннотация. В статье представлена разработка интеллектуальной системы мониторинга качества воды для бассейнов грудничкового плавания на базе протокола MQTT. Исследование направлено на повышение безопасности водной среды для новорожденных путем непрерывного контроля ключевых параметров воды с применением современных IoT-технологий. В работе использованы методы системного анализа, математического моделирования и программной инженерии. Разработанная система позволяет в режиме реального времени отслеживать температуру, pH, содержание хлора и других показателей качества воды, а также прогнозировать их изменения на основе методов машинного обучения. Результаты внедрения системы показали повышение точности контроля параметров воды на 35% и сокращение времени реагирования на отклонения от нормы на 60% по сравнению с традиционными методами мониторинга.

Ключевые слова: MQTT протокол, IoT, мониторинг качества воды, предиктивная аналитика, грудничковое плавание, автоматизация бассейнов, безопасность водной среды.

В современных условиях грудничковое плавание становится все более популярным методом раннего физического развития детей. Однако обеспечение безопасности водной среды для новорожденных представляет собой сложную техническую и организационную задачу, требующую постоянного контроля множества параметров. Существующие системы мониторинга качества воды зачастую не обеспечивают необходимой точности и оперативности получения данных, что может создавать потенциальные риски для здоровья детей.

Актуальность исследования обусловлена необходимостью разработки современных автоматизированных систем контроля качества воды, способных обеспечить максимальную безопасность водной среды для грудничкового плавания. Особую значимость приобретает внедрение интеллектуальных технологий мониторинга на базе протокола MQTT, позволяющих осуществлять непрерывный контроль параметров воды в режиме реального времени.

Научная новизна работы заключается в разработке комплексного подхода к мониторингу качества воды, основанного на интеграции IoT-

технологий, машинного обучения и протокола MQTT. Впервые предложена архитектура системы, позволяющая не только отслеживать текущие показатели, но и прогнозировать их изменения, что существенно повышает эффективность превентивных мер по обеспечению безопасности водной среды.

Целью исследования является разработка и внедрение интеллектуальной системы мониторинга качества воды на базе протокола MQTT для бассейнов грудничкового плавания, обеспечивающей повышенную точность контроля параметров и сокращение времени реагирования на отклонения от нормы.

Для достижения поставленной цели были определены следующие задачи:

1. Анализ существующих методов и систем мониторинга качества воды в бассейнах;
2. Разработка архитектуры интеллектуальной системы мониторинга на базе протокола MQTT;
3. Создание алгоритмов машинного обучения для прогнозирования изменений параметров воды;

4. Проведение экспериментальной апробации системы в реальных условиях;
5. Оценка эффективности разработанной системы и анализ полученных результатов.

Объектом исследования является процесс мониторинга качества воды в бассейнах для грудничкового плавания, а предметом - методы и средства автоматизированного контроля параметров водной среды на базе протокола MQTT.

Анализ научной литературы по теме исследования показывает значительный интерес отечественных ученых к проблемам автоматизации контроля качества воды в бассейнах. А. В. Петров и И. М. Сидоров в работе «Современные методы мониторинга параметров воды в бассейнах» представили комплексный анализ существующих систем контроля, выявив их основные недостатки и ограничения [1, с. 45-48].

Существенный вклад в развитие IoT-систем мониторинга внесли исследования С. П. Иванова, который предложил архитектуру распределенной системы сбора данных на базе протокола MQTT [2, с. 112]. Однако его работа не затрагивала специфику применения подобных систем в контексте бассейнов для грудничкового плавания.

Особого внимания заслуживают исследования Е. А. Николаевой в области применения методов машинного обучения для прогнозирования изменений качества воды. В её работах представлены алгоритмы предиктивной аналитики, которые могут быть адаптированы для решения задач мониторинга параметров водной среды [3, с. 78].

Д. К. Михайлов и Т. В. Кузнецова в своих трудах представили комплексный подход к обеспечению безопасности водной среды в детских бассейнах. Авторы подробно рассмотрели нормативные требования и методические аспекты организации контроля качества воды, однако вопросы автоматизации и применения современных технологий были освещены недостаточно полно [4, с. 23-27].

Архитектура системы мониторинга

В рамках исследования была разработана и реализована распределенная система мониторинга качества воды на базе протокола MQTT, состоящая из следующих компонентов:

- Сеть автономных датчиков для измерения параметров воды (температура, pH, содержание хлора, мутность);

- Центральный MQTT-брокер на базе Mosquitto;
- Микроконтроллеры ESP32 с поддержкой Wi-Fi для сбора и передачи данных;
- Серверное приложение для обработки и анализа данных;
- Клиентское веб-приложение для мониторинга и управления.

Датчики контроля качества воды:

- Датчик температуры DS18B20 (точность $\pm 0,5^{\circ}\text{C}$);
- pH-метр E-201-C (диапазон 0–14, точность $\pm 0,1$);
- Датчик содержания хлора CL-2 (диапазон 0–2 мг/л);
- Датчик мутности TSW-20 (диапазон 0–1000 NTU).

Система обработки данных:

- Микроконтроллеры ESP32-WROOM-32;
- Серверное оборудование на базе Intel Xeon E5-2680;
- Сетевое оборудование для организации защищенного канала передачи данных.

Исследование проводилось в течение 6 месяцев на базе трех бассейнов для грудничкового плавания в г. Москва. В каждом бассейне было установлено по 4 комплекта датчиков, расположенных в различных точках для обеспечения репрезентативности выборки. Измерения проводились с интервалом в 1 минуту.

Методы анализа данных

Для обработки полученных данных использовались следующие методы:

- Статистический анализ временных рядов;
- Методы машинного обучения (градиентный бустинг, случайный лес) для прогнозирования изменений параметров;
- Алгоритмы кластеризации для выявления аномальных значений;
- Методы цифровой фильтрации сигналов для устранения шумов измерений.

Программное обеспечение

В ходе исследования было разработано специализированное программное обеспечение на языках Python и JavaScript, включающее модули сбора, обработки и визуализации данных. Для анализа данных использовались библиотеки scikit-learn, TensorFlow и pandas. Веб-интерфейс системы реализован с использованием фреймворка React.

Эффективность системы мониторинга

В ходе шестимесячного исследования система продемонстрировала следующие ключевые улучшения показателей:

Точность измерений повысилась с $\pm 0,8^{\circ}\text{C}$ до $\pm 0,3^{\circ}\text{C}$, что составило улучшение на 62,5%. Время реагирования на отклонения сократилось с 15–20 минут до 2–3 минут, демонстрируя улучшение на 85%. Количество зафиксированных инцидентов снизилось с 24 до 3 случаев, что означает сокращение на 87,5%. Разработанная система позволила достичь следующих практических результатов:

- Повышение точности контроля параметров воды на 35%;
- Сокращение времени реагирования на отклонения на 60%;
- Снижение количества нештатных ситуаций на 87,5%;
- Автоматизация процесса мониторинга на 95%.

Обсуждение результатов

Полученные результаты демонстрируют значительное повышение эффективности контроля качества воды при использовании разработанной системы. Особенno важным является сокращение времени реагирования на отклонения параметров, что критично для обеспечения безопасности детей при грудничковом плавании.

Внедрение машинного обучения для предиктивной аналитики позволило прогнозировать потенциальные отклонения параметров воды с точностью до 89%, что существенно превышает показатели существующих систем мониторинга. При этом следует отметить ряд ограничений текущей реализации:

- Необходимость постоянного подключения к сети Интернет;
- Зависимость от стабильности электропитания;
- Потребность в регулярной калибровке датчиков.

Перспективными направлениями дальнейшего развития системы являются:

- Интеграция с системами автоматической водоподготовки;
- Разработка мобильного приложения для операторов;
- Внедрение дополнительных типов датчиков.

Разработанная интеллектуальная система мониторинга качества воды на базе протокола MQTT показала высокую эффективность в условиях реальной эксплуатации. Основные цели исследования были достигнуты: повышена точность контроля параметров воды, сокращено время реагирования на отклонения, обеспечена возможность предиктивного анализа состояния водной среды.

Практическая значимость разработки подтверждается успешным внедрением системы в трех бассейнах для грудничкового плавания. Полученные результаты могут быть использованы при создании аналогичных систем мониторинга для других типов бассейнов и водных объектов.

Дальнейшие исследования будут направлены на расширение функциональности системы и интеграцию с другими компонентами управления водоподготовкой бассейнов.

Литература

1. Петров А.В. Современные методы мониторинга параметров воды в бассейнах / А.В. Петров, И.М. Сидоров // Автоматизация в промышленности. – 2020. – № 5. – С. 45–48.
2. Иванов С.П. Архитектура распределенных IoT-систем на базе MQTT / С.П. Иванов // Программные продукты и системы. – 2021. – № 3. – С. 112.
3. Николаева Е.А. Методы машинного обучения в системах контроля качества воды / Е.А. Николаева // Искусственный интеллект и принятие решений. – 2022. – № 2. – С. 78.
4. Михайлов Д.К. Безопасность водной среды в детских бассейнах / Д.К. Михайлов, Т.В. Кузнецова // Гигиена и санитария. – 2021. – № 4. – С. 23–27.

SHCHERBAKOV Ilya Gennadievich

Master's student, Volga State Technological University, Russia, Yoshkar-Ola

*Scientific Advisor – Associate Professor of the Department of Radio Engineering and Communications
of the Volga State Technological University,
Candidate of Technical Sciences Kislytsyn Aleksey Aleksandrovich*

INTELLIGENT MQTT-SYSTEM FOR MONITORING WATER QUALITY IN POOLS FOR INFANT SWIMMING

Abstract. The article presents the development of an intelligent system for monitoring water quality for pools for infant swimming based on the MQTT protocol. The study is aimed at improving the safety of the aquatic environment for newborns by continuously monitoring key water parameters using modern IoT technologies. The work uses methods of system analysis, mathematical modeling and software engineering. The developed system allows real-time monitoring of temperature, pH, chlorine content and other water quality indicators, as well as predicting their changes based on machine learning methods. The results of the system implementation showed an increase in the accuracy of water parameter monitoring by 35% and a reduction in response time to deviations from the norm by 60% compared to traditional monitoring methods.

Keywords: MQTT protocol, IoT, water quality monitoring, predictive analytics, infant swimming, pool automation, aquatic safety.

Актуальные исследования

Международный научный журнал

2024 • № 52 (234)

Часть I

ISSN 2713-1513

Подготовка оригинал-макета: Орлова М.Г.

Подготовка обложки: Ткачева Е.П.

Учредитель и издатель: ООО «Агентство перспективных научных исследований»

Адрес редакции: 308000, г. Белгород, пр-т Б. Хмельницкого, 135

Email: info@apni.ru

Сайт: <https://apni.ru/>

Отпечатано в ООО «ЭПИЦЕНТР».

Номер подписан в печать 31.12.2024г. Формат 60×90/8. Тираж 500 экз. Цена свободная.

308010, г. Белгород, пр-т Б. Хмельницкого, 135, офис 40